

# Formelsammlung

Mario Konrad  
Mario.Konrad@gmx.net

26. Oktober 2003



# Inhaltsverzeichnis

<b>I</b>	<b>Mathematik</b>	<b>5</b>
<b>1</b>	<b>Trigonometrie</b>	<b>7</b>
1.1	Winkelfunktionen . . . . .	8
1.2	Inverse Trigonometrische Funktionen . . . . .	8
1.3	Hyperbolische Funktionen . . . . .	9
1.4	Area-Funktionen . . . . .	9
<b>2</b>	<b>Lineare Algebra</b>	<b>11</b>
2.1	Vektoren . . . . .	12
2.2	Matrizen . . . . .	14
2.3	Kegelschnitte in achsenparalleler Lage . . . . .	19
2.4	Lineare Abbildungen . . . . .	22
2.5	Eigenwerte, Eigenvektoren . . . . .	24
2.6	Koordinatentransformationen . . . . .	25
2.7	Übergang von orthogonalen Koordinatensystemen . . . . .	25
2.8	Eulersche Winkel . . . . .	26
2.9	Hauptachsentheorem . . . . .	26
2.10	Kleinste Quadrate . . . . .	28
2.11	Simplex-Algorithmus . . . . .	29
2.12	Normen . . . . .	31
2.13	Konvergenz . . . . .	32
2.14	Konditionszahl einer Matrix . . . . .	33
<b>3</b>	<b>Analysis</b>	<b>35</b>
3.1	Allgemeines . . . . .	36
3.2	Grenzwerte . . . . .	36
3.3	Folgen . . . . .	37
3.4	Differenziation . . . . .	37
3.5	Implizites Differenzieren . . . . .	39
3.6	Logarithmus . . . . .	39
3.7	Integration . . . . .	39
3.8	Kurvendiskussion . . . . .	44
3.9	Harmonische Bewegung . . . . .	45
3.10	Kegelschnitte . . . . .	45
3.11	Hessesche Normalform: Abstand Punkt-Gerade . . . . .	45
3.12	Polarkoordinaten . . . . .	45
3.13	Flächeninhalt in Polarkoordinaten . . . . .	46
3.14	Parametrische Kurven . . . . .	46
3.15	Axiom der kleinsten/grössten Schranke . . . . .	47
3.16	Bogenlänge . . . . .	47
3.17	Folgen . . . . .	47
3.18	Reihen . . . . .	48
3.19	Konvergenzradius . . . . .	52
3.20	Binomialreihen . . . . .	52
3.21	Krümmungskreis . . . . .	52
3.22	Funktionen mehrerer Variablen . . . . .	53
3.23	Partielle Ableitungen . . . . .	53
3.24	Gradient . . . . .	54

3.25	Richtungsableitung . . . . .	54
3.26	Ableitung entlang einer Kurve . . . . .	54
3.27	Maxima und Minima . . . . .	55
3.28	Lagrange-Funktion . . . . .	55
3.29	Differentiale . . . . .	55
3.30	Integrale . . . . .	55
3.31	Differentialgleichungen (DGL) . . . . .	58
3.32	Laplace-Transformation . . . . .	61
3.33	Fourier-Reihen . . . . .	64
3.34	Statistik . . . . .	69
<b>4</b>	<b>Diskrete Mathematik</b>	<b>81</b>
4.1	Begriffe . . . . .	82
4.2	Beweis-Strategien . . . . .	83
4.3	Entscheidungsverfahren . . . . .	83
4.4	Normalformen . . . . .	83
4.5	Ableitungen . . . . .	84
4.6	Boolsche Algebra . . . . .	84
4.7	Mengen . . . . .	85
4.8	Wahrscheinlichkeitstheorie . . . . .	87
4.9	Kombinatorik . . . . .	87
4.10	Rekursionen . . . . .	88
4.11	Erzeugende Funktionen . . . . .	88
4.12	Differenzgleichungen . . . . .	88
4.13	Z-Transformation . . . . .	90
4.14	Numerik . . . . .	91
4.15	Newton-Verfahren . . . . .	92
4.16	Apriori Fehlerabschätzung . . . . .	93
4.17	Newton-Cotes-Regeln . . . . .	93
4.18	Gauss-Quadratur . . . . .	93
4.19	Orthogonal-Polynome . . . . .	94
<b>II</b>	<b>Physik</b>	<b>95</b>
<b>5</b>	<b>Mechanik</b>	<b>97</b>
5.1	Kinematik . . . . .	98
5.2	Dynamik . . . . .	101
<b>6</b>	<b>Hydromechanik</b>	<b>113</b>
6.1	Definitionen . . . . .	114
6.2	Druck . . . . .	114
6.3	Widerstand . . . . .	116
<b>7</b>	<b>Wärmelehre</b>	<b>119</b>
7.1	Definitionen . . . . .	120
7.2	Kinetische Gastheorie . . . . .	122
7.3	Thermodynamik . . . . .	124
7.4	Wärmeleitung . . . . .	126
<b>8</b>	<b>Wellenlehre</b>	<b>127</b>
8.1	Schwingung . . . . .	128
8.2	Wellen . . . . .	129
8.3	Reflexion und Brechungsgesetz . . . . .	131
8.4	Interferenz . . . . .	132
8.5	Ergänzungen . . . . .	133

<b>9</b>	<b>Elektro</b>	<b>135</b>
9.1	Felder . . . . .	136
9.2	Elektrische Spannung . . . . .	138
9.3	Elektrostatik . . . . .	138
9.4	Stromstärke . . . . .	140
9.5	Ohm'sches Gesetz . . . . .	140
9.6	Zeitkonstante $\tau$ . . . . .	140
9.7	Kirchhoff . . . . .	140
<b>10</b>	<b>Magnetismus</b>	<b>141</b>
10.1	Ausdrücke . . . . .	142
10.2	Lorentzkraft . . . . .	142
10.3	Gesetz von Biot-Savart . . . . .	142
10.4	Gesetz von Ampère . . . . .	142
10.5	Bahnkurve eines geladenen Teilchens . . . . .	143
10.6	Spezifische Ladung $\frac{e}{m}$ des Elektrons . . . . .	143
10.7	Kraft im hom. Magnetfeld . . . . .	143
10.8	Induktivität . . . . .	145
10.9	RCL-Kreis . . . . .	147
<b>11</b>	<b>Relativität</b>	<b>149</b>
11.1	Lichtgeschwindigkeit $c$ . . . . .	150
11.2	Galilei-Transformation (GT) . . . . .	150
11.3	Lorentz-Transformation . . . . .	150
11.4	Geschwindigkeitsaddition . . . . .	151
11.5	Dopplereffekt . . . . .	151
11.6	Längenkontraktion . . . . .	151
11.7	Zeitdilatation . . . . .	151
11.8	$\mu$ -Meson . . . . .	152
<b>III</b>	<b>Elektrotechnik</b>	<b>153</b>
11.9	Konstanten . . . . .	155
11.10	Grundlagen . . . . .	155
11.11	Halbleiter . . . . .	157
11.12	Netzwerke . . . . .	158
11.13	Messtechnik . . . . .	160
11.14	Kapazität . . . . .	161
11.15	Induktivität . . . . .	163
11.16	Wechselstromtheorie . . . . .	167
11.17	Transformator . . . . .	169
11.18	Verstärkertechnik . . . . .	170



**Teil I**

**Mathematik**





# **Kapitel 1**

# **Trigonometrie**

## 1.1 Winkelfunktionen

$\alpha$	0	$\frac{\pi}{6}$	$\frac{\pi}{4}$	$\frac{\pi}{3}$	$\frac{\pi}{2}$
$\sin \alpha$	0	$\frac{1}{2}$	$\frac{\sqrt{2}}{2}$	$\frac{\sqrt{3}}{2}$	1
$\cos \alpha$	1	$\frac{\sqrt{3}}{2}$	$\frac{\sqrt{2}}{2}$	$\frac{1}{2}$	0
$\tan \alpha$	0	$\frac{\sqrt{3}}{3}$	1	$\sqrt{3}$	<i>inf</i>

$$\sin^2 \alpha + \cos^2 \alpha \equiv 1 \quad (1.1)$$

Für  $\cos \alpha \neq 0$ :

$$\tan \alpha \equiv \frac{\sin \alpha}{\cos \alpha} \quad (1.2)$$

$$\frac{1}{\cos^2 \alpha} \equiv 1 + \tan^2 \alpha \quad (1.3)$$

### 1.1.1 Cosinussatz

$$c^2 = a^2 + b^2 - 2 \cdot a \cdot b \cdot \cos \gamma \quad (1.4)$$

$$a^2 = b^2 + c^2 - 2 \cdot b \cdot c \cdot \cos \alpha \quad (1.5)$$

$$b^2 = a^2 + c^2 - 2 \cdot a \cdot c \cdot \cos \beta \quad (1.6)$$

### 1.1.2 Sinussatz

$$\frac{a}{\sin \alpha} = \frac{b}{\sin \beta} = \frac{c}{\sin \gamma} = 2 \cdot r \quad (1.7)$$

$r$  : Radius des Umkreises

## 1.2 Inverse Trigonometrische Funktionen

$$\sin \arcsin x = x \quad (1.8)$$

$$\cos \arcsin x = \sqrt{1 - x^2} \quad (1.9)$$

$$\tan \arcsin x = \frac{x}{\sqrt{1 - x^2}} \quad (1.10)$$

$$\cot \arcsin x = \frac{\sqrt{1 - x^2}}{x} \quad (1.11)$$

$$\arctan \tan x = x \quad (1.12)$$

$$\tan \arctan x = x \quad (1.13)$$

$$\sin \arctan x = \frac{x}{\sqrt{1 + x^2}} \quad (1.14)$$

$$\cos \arctan x = \frac{1}{\sqrt{1 + x^2}} \quad (1.15)$$

$$\cot \arctan x = \frac{1}{x} \quad (1.16)$$

### 1.3 Hyperbolische Funktionen

$$\sinh x = \frac{1}{2} (\exp^x - \exp^{-x}) \quad (1.17)$$

$$\cosh x = \frac{1}{2} (\exp^x + \exp^{-x}) \quad (1.18)$$

$$\tanh x = \frac{\sinh x}{\cosh x} \quad (1.19)$$

$$\coth x = \frac{\cosh x}{\sinh x} \quad (1.20)$$

$$\sinh t + s = \frac{\exp^t \cdot \exp^s - \exp^{-t} \cdot \exp^{-s}}{2} = \sinh t \cdot \cosh s + \cosh t \cdot \sinh s \quad (1.21)$$

$$\cosh t + s = \cosh t \cdot \cosh s + \sinh t \cdot \sinh s \quad (1.22)$$

### 1.4 Area-Funktionen

$$\sinh x \longrightarrow \text{ArSinh}(x) = \ln(x + \sqrt{x^2 + 1}) \quad (1.23)$$

$$\cosh x \longrightarrow \text{ArCosh}(x) = \ln(x + \sqrt{x^2 - 1}) \quad (1.24)$$

$$\tanh x \longrightarrow \text{ArTanh}(x) = \frac{1}{2} \ln\left(\frac{1+x}{1-x}\right) \quad (1.25)$$

$$\coth x \longrightarrow \text{ArCoth}(x) \quad (1.26)$$



## **Kapitel 2**

# **Lineare Algebra**

## 2.1 Vektoren

### 2.1.1 Vektor $\vec{v}$

$$\vec{v} = (v_1, v_2, \dots, v_n) \quad (2.1)$$

#### Algebraische Eigenschaften

$$\text{Kommutativitat: } \vec{a} + \vec{b} = \vec{b} + \vec{a} \quad (2.2)$$

$$\text{Assoziativitat: } (\vec{a} + \vec{b}) + \vec{c} = \vec{a} + (\vec{b} + \vec{c}) \quad (2.3)$$

$$\text{Existenz eines neutralen Elements: } \vec{a} + \vec{0} = \vec{a} \quad \forall \vec{a} \quad (2.4)$$

$$\vec{a} + (-\vec{a}) = \vec{0} \quad (2.5)$$

$$(2.6)$$

#### Multiplikation mit einem Skalar

$$(\lambda + \mu) \cdot \vec{a} = \lambda \cdot \vec{a} + \mu \cdot \vec{a} \quad (2.7)$$

$$\lambda \cdot (\vec{a} + \vec{b}) = \lambda \cdot \vec{a} + \lambda \cdot \vec{b} \quad (2.8)$$

$$(\lambda \cdot \mu) \cdot \vec{a} = \lambda \cdot (\mu \cdot \vec{a}) \quad (2.9)$$

#### Einheitsvektor

$$\vec{e} = \frac{\vec{a}}{\|\vec{a}\|} \quad \text{Vektor mit Lange 1} \quad (2.10)$$

Zerlegung eines Vektors:

$$\vec{c} = \alpha \vec{a} + \beta \vec{b} \quad (2.11)$$

$$\begin{pmatrix} c_1 \\ c_2 \end{pmatrix} = \alpha \begin{pmatrix} a_1 \\ a_2 \end{pmatrix} + \beta \begin{pmatrix} b_1 \\ b_2 \end{pmatrix} \quad (2.12)$$

wobei:

$$\alpha = \frac{\begin{vmatrix} c_1 & b_1 \\ c_2 & b_2 \end{vmatrix}}{\begin{vmatrix} a_1 & b_1 \\ a_2 & b_2 \end{vmatrix}} \quad \beta = \frac{\begin{vmatrix} a_1 & c_1 \\ a_2 & c_2 \end{vmatrix}}{\begin{vmatrix} a_1 & b_1 \\ a_2 & b_2 \end{vmatrix}} \quad (2.13)$$

### 2.1.2 Gerade

$$\vec{p} = (x \quad y \quad z) \quad (2.14)$$

$$\vec{p}_0 = (x_0 \quad y_0 \quad z_0) \quad (2.15)$$

$$\vec{r} = (r_1 \quad r_2 \quad r_3) \quad (2.16)$$

$$\Rightarrow \vec{p} = \vec{p}_0 + \lambda \vec{r} \quad (2.17)$$

$$\begin{pmatrix} x \\ y \\ z \end{pmatrix} = \begin{pmatrix} x_0 \\ y_0 \\ z_0 \end{pmatrix} + \lambda \begin{pmatrix} r_1 \\ r_2 \\ r_3 \end{pmatrix} \quad (2.18)$$

### 2.1.3 Ebene

$$\vec{p} = \vec{p}_0 + \lambda \vec{a} + \mu \vec{b} \quad (2.19)$$

Wobei  $\vec{p}$  der Ortsvektor des laufenden Punktes ist.

$$\begin{pmatrix} x \\ y \\ z \end{pmatrix} = \begin{pmatrix} x_0 \\ y_0 \\ z_0 \end{pmatrix} + \lambda \begin{pmatrix} a_1 \\ a_2 \\ a_3 \end{pmatrix} + \mu \begin{pmatrix} b_1 \\ b_2 \\ b_3 \end{pmatrix} \quad (2.20)$$

## 2.1.4 Koordinatengleichung der Ebene

$$Ax + By + Cz = D \quad (2.21)$$

$$\vec{n} = \begin{pmatrix} A & B & C \end{pmatrix} \quad \text{Normalenvektor auf die Ebene} \quad (2.22)$$

$$D = \vec{n} \circ \vec{p} \quad \vec{p}: \text{Punkt der Ebene} \quad (2.23)$$

## 2.1.5 Skalarprodukt

$$\vec{a} \circ \vec{b} = \|\vec{a}\| \cdot \|\vec{b}\| \cdot \cos \omega \quad (2.24)$$

$$\underline{a}' \cdot \underline{b} = \sum_{i=1} a_i \cdot b_i \quad (2.25)$$

$$\vec{a} \circ \vec{a} = \|\vec{a}\|^2 \quad (2.26)$$

$$\text{wenn } \omega = k \frac{\pi}{2} \quad k \in \mathbb{Z} \quad \Rightarrow \quad \vec{a} \circ \vec{b} = 0 \quad (2.27)$$

$$0 < \omega < \frac{\pi}{2} \Rightarrow \vec{a} \circ \vec{b} > 0 \quad (2.28)$$

$$\frac{\pi}{2} < \omega < \pi \Rightarrow \vec{a} \circ \vec{b} < 0 \quad (2.29)$$

$$\text{Kommutativitat: } \vec{a} \circ \vec{b} = \vec{b} \circ \vec{a} \quad (2.30)$$

$$\text{Distributivitat: } \vec{a} \circ (\vec{b} + \vec{c}) = \vec{a} \circ \vec{b} + \vec{a} \circ \vec{c} \quad (2.31)$$

$$\text{KEINE Assoziativitat } \vec{a} \cdot (\vec{b} \circ \vec{c}) \neq (\vec{a} \circ \vec{b}) \cdot \vec{c} \quad (2.32)$$

## 2.1.6 Vektorprodukt

$$\vec{v} = \vec{a} \times \vec{b} \quad \vec{v} \text{ steht senkrecht auf } \vec{a} \text{ und } \vec{b} \quad (2.33)$$

$$\|\vec{v}\| = \|\vec{a}\| \cdot \|\vec{b}\| \cdot \sin \alpha \quad (2.34)$$

$$(\vec{a} \times \vec{b}) \circ \vec{a} = 0 \quad (2.35)$$

$$(\vec{a} \times \vec{b}) \circ \vec{b} = 0 \quad (2.36)$$

$$\text{KEINE Kommutativitat } \vec{a} \times \vec{b} = -(\vec{b} \times \vec{a}) \quad (2.37)$$

$$\text{KEINE Assoziativitat } (\vec{a} \times \vec{b}) \times \vec{c} \neq \vec{a} \times (\vec{b} \times \vec{c}) \quad (2.38)$$

$$\text{Distributivitat } (\vec{a} + \vec{b}) \times \vec{c} = \vec{a} \times \vec{c} + \vec{b} \times \vec{c} \quad (2.39)$$

## 2.1.7 Spatprodukt

$$(\vec{a} \times \vec{b}) \circ \vec{c} = [\vec{a}, \vec{b}, \vec{c}] \quad (2.40)$$

$$\text{Distributivitat } [\vec{a}_1 + \vec{a}_2, \vec{b}, \vec{c}] = [\vec{a}_1, \vec{b}, \vec{c}] + [\vec{a}_2, \vec{b}, \vec{c}] \quad (2.41)$$

$$[\alpha \vec{a}, \beta \vec{b}, \gamma \vec{c}] = \alpha \beta \gamma [\vec{a}, \vec{b}, \vec{c}] \quad (2.42)$$

## 2.1.8 Cachy-Schwarz-Ungleichung

$$|\vec{a} \circ \vec{b}| \leq \|\vec{a}\| \cdot \|\vec{b}\| \quad (2.43)$$

## 2.1.9 Gleichung der Ebene: Hesse'sche Normalform

$$\frac{ax + by + cz - d}{\sqrt{a^2 + b^2 + c^2}} = 0 \quad (2.44)$$

Der Abstand eines Punktes P von einer Ebene E wird erhalten, indem die Koordinaten des laufenden Punktes der Ebene in der Hesse'schen Normalform durch die Koordinaten von P ersetzt werden:

$$\frac{\underline{n}' \cdot (\underline{p} - \underline{p}_0)}{\|\underline{n}'\|} = \text{Abstand mit Vorzeichen} \quad (2.45)$$

### 2.1.10 Projektion eines Vektors auf einen andern

$$\vec{a}_b = \frac{(\vec{a} \circ \vec{b})}{\|\vec{b}\|^2} \cdot \vec{b} \quad (2.46)$$

### 2.1.11 Linearkombination

$$\vec{v} = \alpha \vec{a} + \beta \vec{b} + \gamma \vec{c} \quad (2.47)$$

$$\alpha = \frac{[\vec{v}, \vec{b}, \vec{c}]}{[\vec{a}, \vec{b}, \vec{c}]} \quad (2.48)$$

$$\alpha = \frac{[\vec{a}, \vec{v}, \vec{c}]}{[\vec{a}, \vec{b}, \vec{c}]} \quad (2.49)$$

$$\alpha = \frac{[\vec{a}, \vec{b}, \vec{v}]}{[\vec{a}, \vec{b}, \vec{c}]} \quad (2.50)$$

$$(2.51)$$

### 2.1.12 Lineare Abhängigkeit

**Lineare Abhängigkeit:** Vektor kann als Linearkombination anderer Vektoren dargestellt werden.

**Lineare Unabhängigkeit:** Vektoren  $\{\vec{a}_1, \vec{a}_2, \dots, \vec{a}_n\}$  sind linear unabhängig, wenn der Nullvektor **nur** die triviale Darstellung zulässt, d.h. wenn aus

$$\begin{aligned} \vec{0} &= \alpha_1 \vec{a}_1 + \alpha_2 \vec{a}_2 + \dots + \alpha_n \vec{a}_n \\ \alpha_1 &= \alpha_2 = \alpha_3 = \dots = \alpha_n = 0 \end{aligned}$$

folgt.

## 2.2 Matrizen

### 2.2.1 Basis eines Vektorraumes

Vektoren  $\{\vec{a}_1 \dots \vec{a}_n\}$  bilden eine Basis für einen Vektorraum, wenn:

- $\{\vec{a}_1 \dots \vec{a}_n\}$  linear unabhängig sind.
- $\{\vec{a}_1 \dots \vec{a}_n\}$  den gesamten Raum aufspannen.

### 2.2.2 Gleichungssysteme

Lineare Gleichung mit einer unbekanntem. Form:  $a \cdot x = b$ . Drei mögliche Fälle:

1.  $a \neq 0 \implies$  genau eine Lösung.
2.  $a = 0$  und  $b \neq 0 \implies$  keine Lösung.
3.  $a = 0$  und  $b = 0 \implies$  unendlich viele Lösungen (jede Zahl  $x \in \mathbb{R}$  ist Lösung).

Lineares Gleichungssystem mit zwei Unbekannten. Form:

$$\begin{aligned} a_{11} \cdot x_1 + a_{12} \cdot x_2 &= b_1 \\ a_{21} \cdot x_1 + a_{22} \cdot x_2 &= b_2 \end{aligned}$$

wobei  $a_{ik}$  und  $b_i$  bekannt sind. Dies kann als Koordinatenpaar des Schnittpunktes interpretiert werden:

$$\begin{pmatrix} b_1 \\ b_2 \end{pmatrix} = x_1 \begin{pmatrix} a_{11} \\ a_{21} \end{pmatrix} + x_2 \begin{pmatrix} a_{12} \\ a_{22} \end{pmatrix}$$
$$A = \begin{pmatrix} a_{11} & a_{12} \\ a_{21} & a_{22} \end{pmatrix}$$



Keine Lösung falls Determinante 0 gibt:

$$a_{11} \cdot a_{22} - a_{21} \cdot a_{12} = 0$$

Ein lineares Gleichungssystem heisst **homogen** wenn  $\underline{b} = \underline{0}$  ist.

$$A \cdot \underline{x} = \underline{b} = \underline{0}$$

- homogenes, lineares Gleichungssystem hat minimum eine Lösung (die Triviale)
- homogenes, lineares Gleichungssystem hat nur die triviale Lösung wenn
  - A ist regulär ( $A^{-1}$  existiert)
  - Austauschverfahren bricht nicht vorzeitig ab
  - Zeilen-/Spaltenvektoren sind linear unabhängig
- $\underline{x}^{(1)}, \underline{x}^{(2)}$  sind Lösungen des homogenen, linearen Gleichungssystems  $A \underline{x} = \underline{0}$ , dann ist auch jede Linearkombination von  $\underline{x}^{(1)}$  und  $\underline{x}^{(2)}$  Lösung des Systems.

Die Lösungsmenge des Systems  $A \cdot \underline{x} = \underline{0}$  ist ein Vektorraum der Dimension  $n - r$  wobei  $r = \text{Rang}(A)$

Ein lineares Gleichungssystem heisst **inhomogen** wenn  $\underline{b} \neq \underline{0}$

$$A \cdot \underline{x} = \underline{b} \neq \underline{0}$$

- inhomogenes, lineares Gleichungssystem  $A \cdot \underline{x} = \underline{b}$  ist genau dann eindeutig lösbar, wenn
  - A ist regulär, d.h.  $\det A \neq 0, \exists A^{-1}$
  - Austauschverfahren bricht nicht vorzeitig ab
  - $\underline{b}$  lässt sich genau auf eine Art als Linearkombination der Spalten von A darstellen.

### 2.2.3 Determinanten

$$A = \begin{pmatrix} a_{11} & a_{12} \\ a_{21} & a_{22} \end{pmatrix} \quad (2.52)$$

$$\det A = a_{11} \cdot a_{22} - a_{21} \cdot a_{12} \quad (2.53)$$

$$B = \begin{pmatrix} b_{11} & b_{12} & b_{13} \\ b_{21} & b_{22} & b_{23} \\ b_{31} & b_{23} & b_{33} \end{pmatrix} \quad (2.54)$$

Determinante ist rekursiv definiert:

$$\det B = b_{11} \begin{vmatrix} b_{22} & b_{23} \\ b_{32} & b_{33} \end{vmatrix} - b_{12} \begin{vmatrix} b_{21} & b_{23} \\ b_{31} & b_{33} \end{vmatrix} + b_{13} \begin{vmatrix} b_{21} & b_{22} \\ b_{31} & b_{32} \end{vmatrix} \quad (2.55)$$

$$\det B = \sum_{j=1}^3 (-1)^{1+j} \cdot a_{1j} \cdot UD_{1j} \quad (2.56)$$

Allgemein:

$$\det A = \sum_{j=1}^n (-1)^{1+j} \cdot a_{1j} \cdot UD_{1j} \det A = \det A A^T \quad (2.57)$$

- Werden in einer Determinanten zwei Zeilen (Spalten) vertauscht, so ändert sich das Vorzeichen.
- Wenn in einer Determinanten sämtliche Elemente einer Zeile (Spalte) 0 sind, so ist die Determinante gleich 0.
- Wenn in einer Determinanten zwei Zeilen (Spalten) gleich sind, dann hat die Determinante einen Wert von 0.
- Multipliziert man alle Elemente mit einer Zahl  $\lambda$ , so ist der Wert der Determinante gleich dem  $\lambda$ -fachen.

Dreiecksformen:

$$\begin{vmatrix} a_{11} & a_{12} & a_{13} \\ 0 & a_{22} & a_{23} \\ 0 & 0 & a_{33} \end{vmatrix} = a_{11} \cdot a_{22} \cdot a_{33} \quad (2.58)$$

$$\begin{vmatrix} a_{11} & 0 & 0 \\ a_{21} & a_{22} & 0 \\ a_{31} & a_{32} & a_{33} \end{vmatrix} = a_{11} \cdot a_{22} \cdot a_{33} \quad (2.59)$$

## 2.2.4 Cramer'sche Regel

Gleichungssystem (regulär):

$$\begin{bmatrix} a_{11} & \cdots & a_{1n} \\ \vdots & \ddots & \vdots \\ a_{n1} & \cdots & a_{nn} \end{bmatrix} \begin{bmatrix} x_1 \\ \vdots \\ x_n \end{bmatrix} = \begin{bmatrix} b_1 \\ \vdots \\ b_n \end{bmatrix} \quad (2.60)$$

$$D = \begin{vmatrix} a_{11} & \cdots & a_{1n} \\ \vdots & \ddots & \vdots \\ a_{n1} & \cdots & a_{nn} \end{vmatrix} \quad (2.61)$$

regulär  $\implies D \neq 0$

$$D_1 = \begin{vmatrix} b_1 & a_{12} & \cdots & a_{1n} \\ \vdots & \vdots & \ddots & \vdots \\ b_n & a_{n2} & \cdots & a_{nn} \end{vmatrix} \quad (2.62)$$

$$\text{falls } D \neq 0 \implies x_1 \cdot D = D_1 \implies x_1 = \frac{D_1}{D} \quad (2.63)$$

**Bemerkung:** die formale Lösung ist nicht anzuwenden für grössere Gleichungssysteme.

## 2.2.5 Allgemeines

$$A_{n \times n} = \begin{bmatrix} a_{11} & \cdots & a_{1n} \\ \vdots & \ddots & \vdots \\ a_{n1} & \cdots & a_{nn} \end{bmatrix} \quad (2.64)$$

$$A_{1 \times n} = [a_1 \quad \cdots \quad a_n] \quad (2.65)$$

$$A_{n \times 1} = \begin{bmatrix} a_1 \\ \vdots \\ a_n \end{bmatrix} \quad (2.66)$$

mit

$$a_{ij} \in \mathbb{C}$$

$$a_{ij} \in \mathbb{R}$$

Transponierte Matrix:

$$A_{m \times n} \implies A'_{n \times m} = A^T_{n \times m} \quad (2.67)$$

Spalten und Zeilen werden vertauscht.

### Addition

$$A_{m \times n} + B_{m \times n} = \begin{bmatrix} a_{11} + b_{11} & a_{12} + b_{12} & \cdots \\ a_{21} + b_{21} & a_{22} + b_{22} & \cdots \\ a_{31} + b_{31} & a_{32} + b_{32} & \cdots \\ \vdots & \vdots & \ddots \end{bmatrix} \quad (2.68)$$

$$s_{ij} = a_{ij} + b_{ij} \quad (2.69)$$

### Differenz

$$s_{ij} = a_{ij} - b_{ij} \quad (2.70)$$

## Algebraische Eigenschaften

$$\text{Kommutativitat: } A + B = B + A \quad (2.71)$$

$$\text{Assoziativitat: } (A + B) + C = A + (B + C) \quad (2.72)$$

$$\text{neutrales Element: } A + 0 = A \quad \forall A \quad 0 = \begin{bmatrix} 0 & 0 & \dots \\ 0 & 0 & \dots \\ \vdots & \vdots & \ddots \end{bmatrix} \quad (2.73)$$

$$\forall A \quad \exists \tilde{A} \quad \text{mit } A + \tilde{A} = 0 \quad \implies \tilde{a}_{ij} = -a_{ij} \quad (2.74)$$

## Multiplikation mit Skalar

$$\begin{matrix} A & \cdot & x & = & b \\ n \times m & & m \times 1 & & n \times 1 \end{matrix} \quad (2.75)$$

$$b_i = \sum_{j=1}^m a_{ij} \cdot x_j \quad (2.76)$$

## Lineare Abbildungen

$$\sqrt{\frac{3}{2}}x_1 - \frac{1}{2}x_2 = y_1 \quad (2.77)$$

$$\frac{1}{2}x_1 - \sqrt{\frac{3}{2}}x_2 = y_2 \quad (2.78)$$

$$\begin{pmatrix} \sqrt{\frac{3}{2}} & -\frac{1}{2} \\ \frac{1}{2} & \sqrt{\frac{3}{2}} \end{pmatrix} \begin{pmatrix} x_1 \\ x_2 \end{pmatrix} = \begin{pmatrix} y_1 \\ y_2 \end{pmatrix} \quad (2.79)$$

## 2.2.6 Matrixmultiplikation

$$\begin{matrix} A & \cdot & B & = & C \\ m \times n & & n \times k & & m \times k \end{matrix} \quad (2.80)$$

$$c_{ij} = \sum_{l=1}^m a_{il} \cdot b_{lj} \quad (2.81)$$

Rechenregeln:

$$\text{Assoziativitat: } (A \cdot B) \cdot C = A \cdot (B \cdot C) \quad (2.82)$$

$$\text{Distributivitat von links: } B \cdot (C + D) = B \cdot C + B \cdot D \quad (2.83)$$

$$\text{Distributivitat von rechts: } (C + D) \cdot E = C \cdot E + D \cdot E \quad (2.84)$$

$$\text{KEINE Kommutativitat: } A \cdot B \neq B \cdot A \quad (2.85)$$

$$(A \cdot B)^T = B^T \cdot A^T \quad (2.86)$$

$$\det A \cdot B = \det A \cdot \det B \quad (2.87)$$

## 2.2.7 Inverse oder Kehrmatrix

Nur regulare ( $\det A \neq 0$ ) Matrizen haben eine Inverse.

$$A^{-1} \cdot A = I = A \cdot A^{-1} \quad (2.88)$$

$$A^{-1} = \frac{1}{\det A} \begin{pmatrix} d & -b \\ -c & a \end{pmatrix} \quad \text{gilt nur fur } 2 \times 2 \text{ Matrizen} \quad (2.89)$$

Eigenschaften:

1.  $A^{-1} \cdot A = I = A \cdot A^{-1}$

2. Die Inverse zu A ist **eindeutig**.

$$3. \det A^{-1} = \frac{1}{\det A}$$

$$4. (A^{-1})^T = (A^T)^{-1}$$

$$5. A \text{ und } B \text{ seien reguläre Matrizen: } (A \cdot B)^{-1} = B^{-1} \cdot A^{-1}$$

Austauschverfahren zu Berechnung von $A^{-1}$ :	$y_1$	$x_1$	$x_2$	Rechenregeln:
		$a_{11}$	$a_{12}$	
	$y_2$	$a_{21}$	$a_{22}$	

1. Das Pivot geht in reziproken Wert über:

$$a_{11}^* = \frac{1}{a_{11}} \quad \text{mit } a_{11} \neq 0$$

2. Die Elemente in der Pivot-Spalte sind durch das Pivot zu dividieren:

$$a_{21}^* = \frac{a_{21}}{a_{11}}$$

3. Die Elemente in der Pivot-Zeile sind durch das Pivot zu dividieren und das Vorzeichen ist zu wechseln:

$$a_{12}^* = -\frac{a_{12}}{a_{11}}$$

4. Restliche Elemente werden berechnet, indem man das Produkt aus dem Element der Pivot-Spalte und dem neuen Element in der Pivot-Zeile addiert:

$$\begin{aligned} a_{22}^* &= a_{22} + a_{21} \cdot a_{12}^* \\ &= a_{22} + a_{21} \cdot \left(-\frac{a_{12}}{a_{11}}\right) \\ &= a_{22} - a_{21} \cdot \frac{a_{12}}{a_{11}} \end{aligned}$$

**Bemerkung:** es ist verboten ein Pivot zu wählen, welches 0 ist.

## 2.2.8 Rang einer Matrix

Der Rang einer Matrix  $A$  ist gleich der maximalen Anzahl linear unabhängiger Zeilen- oder Spaltenvektoren.

$$\text{Rang} \left( \begin{matrix} A \\ n \times m \end{matrix} \right) \leq \min(n, m) \tag{2.90}$$

Der Rang einer Matrix  $A$  ist gleich der Ordnung der grössten von Null verschiedenen Unterdeterminanten von  $A$ .

$$\text{Rang} \left( \begin{matrix} A \cdot B \\ n \times m \quad m \times k \end{matrix} \right) \leq \min(\text{Rang}(A), \text{Rang}(B)) \tag{2.91}$$

$$\text{Rang}(A) \leq \min(n, m) \tag{2.92}$$

$$\text{Rang}(B) \leq \min(m, k) \tag{2.93}$$

$$\text{Rang}(A \cdot B) \leq \min(n, k) \tag{2.94}$$

## 2.2.9 Vektorräume

Ein Tripel  $(V, \oplus, \odot)$  bestehend aus einer Menge  $V$  und zwei Operatoren  $\oplus, \odot$  heisst Vektorraum, falls  $V$  abgeschlossen gegenüber den Operatoren  $\oplus, \odot$  und falls sie folgende Axiome erfüllen (8):

1. Assoziativität von  $\oplus$

$$(x \oplus y) \oplus z = x \oplus (y \oplus z) \quad \forall x, y, z \in V \tag{2.95}$$

2. Kommutativität von  $\oplus$

$$x \oplus y = y \oplus x \quad \forall x, y \in V \tag{2.96}$$

3. Existenz des neutralen Elements für  $\oplus$

$$\exists e \in V \quad \text{so dass} \quad e \oplus x = x \quad \forall x \in V \tag{2.97}$$

4. Existenz des inversen Elements für  $\oplus$

$$\forall x \in V \quad \exists \tilde{x} \in V \quad \text{mit} \quad x \oplus \tilde{x} = e \quad \forall x, \tilde{x} \in V \quad (2.98)$$

5. Multiplikation mit Skalar

$$\lambda \odot (\mu \odot x) = (\lambda \cdot \mu) \odot x \quad \forall \lambda, \mu \in \mathbb{R} \quad \text{und} \quad \forall x \in V \quad (2.99)$$

6. Existenz des neutralen Elements für  $\odot$

$$1 \odot x = x \quad \forall x \in V \quad (2.100)$$

7. Distributivität für  $\odot$

$$\lambda \odot (x \oplus y) = (\lambda \odot x) \oplus (\lambda \odot y) \quad \forall x, y \in V \quad (2.101)$$

8. Distributivität

$$(\lambda + \mu) \odot x = (\lambda \odot x) \oplus (\mu \odot x) \quad \forall x \in V \quad (2.102)$$

## 2.2.10 LU-Zerlegung einer Matrix

$$A = L \cdot U \quad (2.103)$$

$$A = \begin{pmatrix} 1 & 0 & 0 & \cdots \\ a_{21} & 1 & 0 & \cdots \\ a_{31} & a_{32} & 1 & \cdots \\ \vdots & \vdots & \vdots & \ddots \end{pmatrix} \cdot \begin{pmatrix} a_{11} & a_{12} & a_{13} & \cdots \\ 0 & a_{22} & a_{23} & \cdots \\ 0 & 0 & a_{33} & \cdots \\ \vdots & \vdots & \vdots & \ddots \end{pmatrix} \quad (2.104)$$

$$A \cdot \underline{x} = \underline{b} \quad \underline{x} \text{ unbekannt, } \underline{b} \text{ bekannt} \quad (2.105)$$

$$L \cdot U \cdot \underline{z} = \underline{b} \quad (2.106)$$

$$L \cdot \underline{z} = \underline{b} \quad \text{mit} \quad \underline{z} = U \cdot \underline{x} \quad (2.107)$$

Das System wird für  $\underline{z}$  gelöst. Wenn dann  $\underline{z}$  bekannt ist, wird das System  $U\underline{x} = \underline{z}$  für  $\underline{x}$  gelöst.

Die k-ten Zeile von U enthält die Elemente der Pivot-Zeile des k-ten Austauschschrittes.

Die k-ten Spalte von L enthält unterhalb der Diagonalen die Elemente der Pivot-Spalte des k-ten Austauschschrittes. Die Diagonale von L enthält 1.

## 2.3 Kegelschnitte in achsenparalleler Lage

$$A \cdot x_1^2 + C \cdot x_2^2 + 2 \cdot D \cdot x_1 + 2 \cdot E \cdot x_2 + F = 0 \quad (2.108)$$

$$\begin{pmatrix} x_1 & x_2 & 1 \end{pmatrix} \begin{pmatrix} A & 0 & D \\ 0 & C & E \\ D & E & F \end{pmatrix} \begin{pmatrix} x_1 \\ x_2 \\ 1 \end{pmatrix} = 0 \quad (2.109)$$

$$\underline{x}' \cdot \Delta \cdot \underline{x} = 0 \quad (2.110)$$

$$\text{spur}(\Delta) = A + C + F \hat{=} \sum \text{Diagonalelemente} \quad (2.111)$$

Kreis:

$$M = (m_1, m_2) \quad \text{Mittelpunkt}$$

$$P = (x_1, x_2) \quad \text{beliebiger Punkt auf Kreis}$$

$$R = M - P \quad \text{Abstand zwischen M und P}$$

$$R^2 = (x_1 - m_1)^2 + (x_2 - m_2)^2 \quad (2.112)$$

$$R^2 = x_1^2 - 2 \cdot m_1 \cdot x_1 + m_1^2 + x_2^2 - 2 \cdot m_2 \cdot x_2 + m_2^2 \quad (2.113)$$

$$A \cdot x_1^2 + A \cdot x_2^2 + 2 \cdot D \cdot x_1 + 2 \cdot E \cdot x_2 + F = 0 \quad (2.114)$$

$$\begin{pmatrix} x_1 & x_2 & 1 \end{pmatrix} \begin{pmatrix} A & 0 & D \\ 0 & A & E \\ D & E & F \end{pmatrix} \begin{pmatrix} x_1 \\ x_2 \\ 1 \end{pmatrix} = 0 \quad (2.115)$$

Bedingungen für Kreischarakter:

- $\det \rho = A^2 > 0$
- $\text{koeff}(x_1^2) = \text{koeff}(x_2^2)$
- keine gemischte Terme der Form  $x_1 \cdot x_2$

Tangente an Kreis:

$$(x_1 - m_1)(p_1 - m_1) + (x_2 - m_2)(p_2 - m_2) = R^2 \quad (2.116)$$

Steigung der Geraden durch M und P:

$$\frac{p_2 - m_2}{p_1 - m_1} \quad (2.117)$$

Steigung der Tangenten durch P:

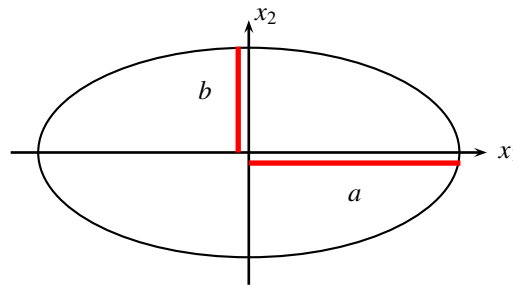
$$-\frac{p_1 - m_1}{p_2 - m_2} \quad (2.118)$$

Gleichung der Tangente

$$\frac{x_2 - p_2}{x_1 - p_1} = -\frac{p_1 - m_1}{p_2 - m_2} \quad (2.119)$$

### 2.3.1 Ellipse in der Ebene

**Definition:** Die Ellipse ist der geometrische Ort der Punkte der Ebene, für welche die Summe der Abstände zu zwei festen Punkten  $F_1, F_2$  (Brennpunkte) konstant ist.



$$\frac{x_1^2}{a^2} + \frac{x_2^2}{b^2} = 1 \quad \text{mit } a, b \text{ als Achsenabschnitte} \quad (2.120)$$

Parameter-Gleichung:

$$\begin{aligned} x_1 &= m_1 + a \cdot \cos t \\ x_2 &= m_2 + b \cdot \sin t \end{aligned}$$

Gleichung der Tangente durch elliptischen Punkt P:

$$\frac{(x_1 - m_1)(p_1 - m_1)}{a^2} + \frac{(x_2 - m_2)(p_2 - m_2)}{b^2} = 1 \quad (2.121)$$

### 2.3.2 Hyperbel in der Ebene

**Definition:** Die Hyperbel ist der geometrische Ort der Punkte der Ebene für welche die Differenz der Abstände zu zwei festen Punkten (Brennpunkte), dem Betrag nach konstant ist.

$$\frac{x_1^2}{a^2} - \frac{x_2^2}{b^2} = 1 \quad (2.122)$$

Brennache parallel der  $x_1$ -Achse:  $+\frac{x_1^2}{a^2} - \frac{x_2^2}{b^2} = 1$

Brennache parallel der  $x_2$ -Achse:  $-\frac{x_1^2}{a^2} + \frac{x_2^2}{b^2} = 1$

Hyperbeläste:

$$x_2 = +\frac{b}{a} \sqrt{x_1^2 - a^2}$$

$$x_2 = -\frac{b}{a} \sqrt{x_1^2 - a^2}$$

$$x_2 = +\frac{b}{a} \sqrt{a^2 + x_1^2}$$

$$x_2 = -\frac{b}{a} \sqrt{a^2 + x_1^2}$$

Mögliche Parametrgleichung der Hyperbel:

$$\cosh: x \mapsto \frac{\exp^x + \exp^{-x}}{2} \tag{2.123}$$

$$\sinh: x \mapsto \frac{\exp^x - \exp^{-x}}{2} \tag{2.124}$$

$$\cosh^2 x - \sinh^2 x \equiv 1 \tag{2.125}$$

$$x_1 = a \cdot \cosh t, x_2 = b \cdot \sinh t$$

$$x_1 = a \cdot \sinh t, x_2 = b \cdot \cosh t$$

$$x_1 = -a \cdot \cosh t, x_2 = b \cdot \sinh t$$

**Satz:** Jede Hyperbel besitzt ein paar Asymptoten, die sich im Mittelpunkt der Hyperbel schneiden und symmetrisch sind zu den Hyperbelachsen.

$$A \cdot x_1^2 + 2 \cdot B \cdot x_1 \cdot x_2 + C \cdot x_2^2 + 2 \cdot D \cdot x_1 + 2 \cdot E \cdot x_2 + F = 0 \tag{2.126}$$

### 2.3.3 Parabel in achsenparalleler Lage

**Definition:** Die Parabel ist der geometrische Ort der Punkte, für welche das Verhältnis des Abstandes zu einem festen Punkt F (Brennpunkt) und zu einer festen Geraden d (Leitlinie) gleich ist.

$$x_2^2 = 2 \cdot \exp \cdot x_1 \tag{2.127}$$

Verschiebung der Parabel parallel zu Achsen:

$$(x_2 - a_2)^2 = 2 \cdot \exp \cdot (x_1 - a_1) \tag{2.128}$$

$$A \cdot x_2^2 + 2 \cdot D \cdot x_1 + 2 \cdot E \cdot x_2 + F = 0 \tag{2.129}$$

Allgemeine Form:

$$\begin{pmatrix} x_1 & x_2 & 1 \end{pmatrix} \begin{pmatrix} 0 & 0 & D \\ 0 & A & E \\ D & E & F \end{pmatrix} \begin{pmatrix} x_1 \\ x_2 \\ 1 \end{pmatrix} = 0 \tag{2.130}$$

$$\det \rho = 0 \tag{2.131}$$

$$\det \delta = D \cdot (-A \cdot D) \tag{2.132}$$

Gleichung der Tangente:

$$\frac{x_2 - p_2}{x_1 - p_1} = \frac{\exp}{p_2} \tag{2.133}$$

$$x_2 = \frac{\exp}{p_2} (x_1 - p_1) + p_2 \tag{2.134}$$

Schnittpunkt der Tangente mit  $x_2$ -Achse:

$$x_2 = \frac{\exp}{p_2}(x_1 - p_1) + p_2 \quad (2.135)$$

$$x_1 = 0 \quad (2.136)$$

$$x_2 = -\frac{\exp \cdot p_1}{p_2} + p_2 \quad (2.137)$$

$$x_1 = 0 \quad (2.138)$$

$$\Rightarrow x_2 = \frac{p_2}{2} \quad (2.139)$$

## 2.4 Lineare Abbildungen

**Definition:** Eine Abbildung ist linear, wenn für alle  $\underline{x}, \underline{y} \in V, \lambda \in \mathbb{R}$  oder  $\mathbb{C}$  folgendes gilt:

$$f(\underline{x} + \underline{y}) = f(\underline{x}) \oplus f(\underline{y}) \quad (2.140)$$

$$f(\lambda \cdot \underline{x}) = \lambda \odot f(\underline{x}) \quad (2.141)$$

**Definition des Kerns:** Der Kern von  $f$  ist die Menge der Vektoren  $\underline{x} \in V$ , die auf den Nullvektor abgebildet werden.

$$\text{Kern} = \{\underline{x} | \underline{x} \in V, f(\underline{x}) = \underline{0}\} \quad (2.142)$$

$$f(\underline{x}) = A \cdot \underline{x} = \underline{0} \quad (2.143)$$

**Satz:** Der Kern der linearen Abbildung  $f : V \mapsto W$  ist ein Untervektorraum von  $W$ .

**Definition:** Die Menge der Bildvektoren von  $V$  in  $W$  heisst Bild von  $f$ :

$$\text{Bild}(f) = \{\underline{p} \in W, \underline{p} = f(\underline{x}) \text{ mit } \underline{x} \in V\} \quad (2.144)$$

Statt Bild auch: image( $f$ ),  $f(V)$

**Satz:** Das Bild von  $f(W)$  ist ein Untervektorraum von  $W$ .

**Definition:** Sei  $f$  eine lineare Abbildung von  $V$  in  $W$ . Ist  $f(V)$  endlich dimensional, dann heisst die Dimension von  $f(V)$  der Rang der Abbildung  $f$ .

$$\text{Rang}(f) = \text{Dimension von } f(V) \quad (2.145)$$

### 2.4.1 Abbildung als Matrix

$$V \mapsto W \quad (2.146)$$

$$f(\underline{x}) = \underline{x}^* \quad (2.147)$$

$$A \cdot \underline{x} = \underline{x}^* \quad (2.148)$$

$$A = \begin{pmatrix} a_{11} & a_{12} & \cdots & a_{1n} \\ a_{21} & \ddots & & \vdots \\ \vdots & & & \vdots \\ a_{m1} & a_{m2} & \cdots & a_{mn} \end{pmatrix} \quad (2.149)$$

Die Spaltenvektoren sind die Bilder der Basisvektoren.

### 2.4.2 Lineare Abbildungen von $\mathbb{R}^n$ nach $\mathbb{R}^m$

Die Elemente der (Kolonnen) Spalten der Abbildungsmatrix sind die Komponenten der Bilder der Grundvektoren.

$$A \cdot \underline{x} = f(\underline{x}) \quad (2.150)$$

**Satz:** Eine lineare Abbildung ist dann und nur dann Umkehrbar, wenn diese Abbildungsdeterminante von Null verschieden ist.

Ist  $A$  die Matrix der Abbildung  $f$ , so ist  $A^{-1}$  die Matrix der Abbildung  $f^{-1}$ .

Lineare abbildungen mit **positiver** Determinante sind Orientierungserhaltend. Abbildungen mit **negativer** Determinante kehren die Orientierung um.



### 2.4.3 Zusammengesetzte Abbildungen

Seien  $g_1, g_2$  lineare Abbildungen. Das Produkt  $g_2 \circ g_1(x)$  von linearen Abbildungen ist wieder eine lineare Abbildung, deren Matrix dem Produkt der zugehörigen Matrizen  $A_2 \cdot A_1$  in der gleichen Reihenfolge entspricht.

### 2.4.4 Allgemeine Eigenschaften

- Das Bild einer Geraden ist wieder eine Gerade.
- Das Bild einer Geraden durch den Nullpunkt ist wieder eine Gerade durch den Nullpunkt.
- Lineare Abbildungen bewahren die parallele Lage von Geraden.

### 2.4.5 Bild eines Gitters

Das Verhältnis der Inhalte der schraffierten Flächen ist durch den Betrag der Abbildungsdeterminante gegeben.

$$\det A = \frac{\|\underline{e}'_1 \times \underline{e}'_2\|}{\|\underline{e}_1 \times \underline{e}_2\|} \quad (2.151)$$

**Satz:** Betragsmässig ist der Wert der Determinante einer Abbildungsmatrix gleich dem Verhältnis zugeordnete Volumen im  $\mathbb{R}^n$ .

### 2.4.6 Spezielle Abbildungen

Abbildungen welche das Skalarprodukt invariant lassen:

$$\underline{x}' \cdot \underline{y}' = \underline{x} \cdot \underline{y} \quad (2.152)$$

- Falls  $f$  das Skalarprodukt invariant lässt, dann ist  $f$  Längentreu.
- Die Beträge der Winkel bleiben erhalten. Winkeltreu bis auf das Vorzeichen.

### 2.4.7 Längentreue Abbildungen

$$A^T \cdot A = I \quad (2.153)$$

$A$  ist orthonormiert, d.h. die Spaltenvektoren sind orthogonal und haben die Länge 1.

Die Längentreuen Abbildungen sind durch orthonormierte Abbildungsmatrizen gekennzeichnet.

$$A^T \cdot A = I = A \cdot A^T \quad (2.154)$$

$$\implies \det A = +1 \quad \text{oder} \quad -1 \quad (2.155)$$

$$\implies A^{-1} = A^T \quad (2.156)$$

### 2.4.8 Spiegelung an beliebiger Ebene durch 0

$$f : \underline{x} \mapsto \underline{x} - 2 \cdot (\underline{x}' \cdot \underline{n}) \cdot \underline{n} \quad (2.157)$$

$$\implies A = \begin{pmatrix} 1 - 2n_1^2 & -2n_1n_2 & -2n_1n_3 \\ -2n_1n_2 & 1 - 2n_2^2 & -2n_2n_3 \\ -2n_1n_3 & -2n_2n_3 & 1 - 2n_3^2 \end{pmatrix} \quad (2.158)$$

### 2.4.9 Drehung um eine beliebige Achse mit Winkel $\omega$

$$\|\underline{a}\| = \tan \frac{\omega}{2} \underline{v}^* = \frac{1}{1 + \|\underline{a}\|^2} \cdot \left[ (1 - \|\underline{a}\|^2) \cdot \underline{v} + 2 \cdot (\underline{a}' \cdot \underline{v}) \cdot \underline{a} + 2 \cdot (\underline{a} \times \underline{v}) \right] \quad (2.159)$$

$$\implies A = \frac{1}{1 + \|\underline{a}\|^2} \cdot \begin{pmatrix} 1 + a_1^2 - a_2^2 - a_3^2 & 2(a_1 \cdot a_2 - a_3) & 2(a_1 \cdot a_3 - a_2) \\ 2(a_1 \cdot a_2 + a_3) & 1 - a_1^2 + a_2^2 - a_3^2 & 2(a_2 \cdot a_3 - a_1) \\ 2(a_1 \cdot a_3 - a_2) & 2(a_2 \cdot a_3 + a_1) & 1 - a_1^2 - a_2^2 + a_3^2 \end{pmatrix} \quad (2.160)$$

## 2.4.10 Drehungen

Drehung um die X-Achse im  $\mathbb{R}^3$

$$A = \begin{pmatrix} 1 & 0 & 0 \\ 0 & \cos & -\sin \\ 0 & \sin & \cos \end{pmatrix} \quad (2.161)$$

Drehung um die Y-Achse im  $\mathbb{R}^3$

$$A = \begin{pmatrix} \cos & 0 & \sin \\ 0 & 1 & 0 \\ -\sin & 0 & \cos \end{pmatrix} \quad (2.162)$$

Drehung um die Z-Achse im  $\mathbb{R}^3$

$$A = \begin{pmatrix} \cos & -\sin & 0 \\ \sin & \cos & 0 \\ 0 & 0 & 1 \end{pmatrix} \quad (2.163)$$

**Satz:** Jede orthonormierte Matrix  $A$  mit  $\det A = 1$  stellt eine Drehung dar. Der Drehwinkel  $\omega$  ist gegeben durch:

$$\cos \omega = \frac{\text{Spur}(A) - 1}{2} \quad (2.164)$$

wobei

$$\text{Spur}(A) = \sum_{i=1}^n a_{ii} \quad (2.165)$$

$$\cos \omega = \frac{1 - \|a\|^2}{1 + \|a\|^2} \quad (2.166)$$

## 2.4.11 Perspektivische Affinität

Die Abbildung

$$f: \underline{x} \mapsto \underline{x} - (\underline{x}' \cdot \underline{n}) \cdot \underline{r} \quad (2.167)$$

ist linear.

## 2.5 Eigenwerte, Eigenvektoren

Ein Vektor ( $\underline{x} \neq \underline{0}$ ), welcher bei einer linearen Abbildung  $f$  seine Richtung (nichtnotwendigerweise seine Länge) beibehält, heisst Eigenvektor von  $f$ .

Sie sind durch folgende Gleichung gekennzeichnet:

$$f(\vec{x}) = \lambda \cdot \vec{x} \quad \text{mit } \underline{x} \neq \underline{0} \quad (2.168)$$

Ist  $A$  die Abbildungsmatrix.  $\underline{x}$  ist Eigenvektor der Matrix  $A$  zum Eigenwert  $\lambda$ , wenn folgendes gilt:

$$A \cdot \underline{x} = \lambda \cdot \underline{x} \quad \underline{x} \neq \underline{0} \quad (2.169)$$

$$\begin{pmatrix} A & -\lambda \cdot I \\ n \times n & n \times n \end{pmatrix} \cdot \underline{x} = \underline{0} \quad (2.170)$$

**Satz:**

1. Jede  $n \times n$  reelle **symmetrische** Matrix  $A$  hat  $n$  reelle Eigenwerte.
2. Die Eigenvektoren zu verschiedenen Eigenwerten sind zueinander orthogonal.
3. Es ist immer möglich Eigenvektoren, welche zu mehrfachen Eigenwerten gehören, so zu wählen, dass sie orthogonal zueinander sind.

**Satz:** Jede reelle symmetrische Matrix  $A$  lässt sich wie folgt zerlegen:

$$A = \Gamma \Lambda \Gamma^{-1} \quad (2.171)$$

mit  $\Gamma$  orthonormiert (d.h.:  $\Gamma^{-1} = \Gamma^T$ ) und  $\Lambda$  diagonal.

$\Gamma$  ist die Matrix der orthonormierten Eigenvektoren von  $A$ .  $\Lambda$  ist die Matrix der Eigenwerte von  $A$ .  $\underline{g}^{(i)}$  ist Eigenvektor zum Eigenwert  $\lambda_i$ .

$$A \cdot \begin{pmatrix} \vdots & \vdots & & \vdots \\ \underline{g}^{(1)} & \underline{g}^{(2)} & \cdots & \underline{g}^{(n)} \\ \vdots & \vdots & & \vdots \end{pmatrix} = \begin{pmatrix} \vdots & \vdots & & \vdots \\ \underline{g}^{(1)} & \underline{g}^{(2)} & \cdots & \underline{g}^{(n)} \\ \vdots & \vdots & & \vdots \end{pmatrix} \begin{pmatrix} \lambda_1 & 0 & \cdots & 0 \\ 0 & \lambda_2 & & 0 \\ & & \ddots & \\ 0 & 0 & 0 & \lambda_n \end{pmatrix} \quad (2.172)$$

$$\implies A = \Gamma \cdot \Lambda \cdot \Gamma^{-1} \quad (2.173)$$

Bei orthogonalen Transformationen bleiben Spur und Determinante von quadratischen Matrizen invariant.

Bei orthogonalen Transformationen mit Transformationsmatrix  $S$  geht eine Matrix  $A$  in die Matrix  $S \cdot A \cdot S^T$  über.

$$\text{Spur}(S \cdot A \cdot S^T) = \text{Spur}(A) \quad (2.174)$$

$$\det S \cdot A \cdot S^T = \det A \quad (2.175)$$

$$S = \begin{pmatrix} s_{11} & s_{12} \\ s_{21} & s_{22} \end{pmatrix} \quad \text{Transformationsmatrix} \quad (2.176)$$

$$S^{-1} = \frac{1}{\det S} \begin{pmatrix} s_{22} & -s_{12} \\ -s_{21} & s_{11} \end{pmatrix} \quad (2.177)$$

$$\vec{E}_j = \sum_{i=1}^2 s_{ji} \cdot \vec{e}_j \quad (2.178)$$

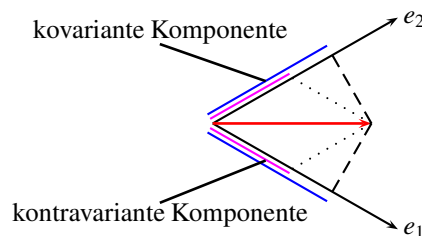
$$\underline{x} = S^T \cdot \underline{X} \quad (2.179)$$

$$\underline{X} = (S^{-1})^T \cdot \underline{x} \quad (2.180)$$

Die Komponenten transformieren sich **nicht** wie die Grundvektoren. Sie heissen **kontravariante** Komponenten.

## 2.6 Koordinatentransformationen

Die **kovarianten** Komponenten transformieren sich wie die Grundvektoren.



## 2.7 Übergang von orthogonalen Koordinatensystemen

Der Übergang zwischen zwei cartesischen Koordinatensystemen mit dem gleichem Ursprung ist durch eine orthonormierte Transformationsmatrix gekennzeichnet.

$$S = \begin{pmatrix} s_{11} & s_{12} & s_{13} \\ s_{21} & s_{22} & s_{23} \\ s_{31} & s_{32} & s_{33} \end{pmatrix} \quad (2.181)$$

$$s_{ij} = \vec{E}_i \odot \vec{e}_j \quad (2.182)$$

Die Determinante einer orthogonalen Koordinatentransformation hat immer den Wert  $\pm 1$ ,  $+1$  wenn die Orientierung der beiden Systeme gleich sind, sonst  $-1$ .

$$\det S = \pm 1 \quad (2.183)$$

## 2.7.1 Inverse Transformation

$$S^{-1} = S^T \quad S \text{ ist orthogonal} \quad (2.184)$$

Eine quadratische Matrix, welche nach Zeilen orthogonal ist, ist von selbst nach Spalten orthogonal.

$$\underline{X} = S \cdot \underline{x} \quad (2.185)$$

$$\underline{X} = (S^{-1})^T \cdot \underline{x} \quad (2.186)$$

Bei einer orthogonalen Koordinatentransformation sind die neuen Vektorkomponenten bzw. Punktkoordinaten Linearformen der alten (homogene lineare Funktion), wobei die Matrix der Koeffizienten mit der Transformationsmatrix  $S$  übereinstimmen.

## 2.8 Eulersche Winkel

Die relative Lage von zwei cartesischen Koordinatensystemen mit dem gleichen Ursprung lässt sich mit Hilfe von 3 Drehwinkeln vollständig beschreiben.

$\psi$  Winkel zwischen  $\vec{e}_1$  und der Schnittgerade  $s$  der  $\vec{e}_1 - \vec{e}_2$  - Ebene mit der  $\vec{E}_1 - \vec{E}_2$  - Ebene.

$\phi$  Winkel zwischen  $s$  und  $\vec{E}_1$

$\theta$  Winkel zwischen  $\vec{e}_3$  und  $\vec{E}_3$

**Satz von Euler:** Die allgemeine Auslenkung eines starren Körpers von dem ein Punkt festgehalten wird, ist eine Drehung um eine Achse um diesen Punkt.

## 2.9 Hauptachsentheorem

Quadratische Form in zwei Variablen:

$$Q_{(x_1, x_2)} = a_{11} \cdot x_1^2 + 2 \cdot a_{12} \cdot x_1 \cdot x_2 + a_{22} \cdot x_2^2 \quad (2.187)$$

$$\underline{x}^T \cdot A \cdot \underline{x} \quad \text{mit} \quad A = \begin{pmatrix} a_{11} & a_{12} \\ a_{12} & a_{22} \end{pmatrix} \quad \text{symmetrisch!} \quad (2.188)$$

$$A \cdot \underline{x} = \begin{pmatrix} a_{11} \cdot x_1 + a_{12} \cdot x_2 \\ a_{12} \cdot x_1 + a_{22} \cdot x_2 \end{pmatrix} \quad (2.189)$$

Eine Gleichung der Form  $Q_{(x)} = C$  mit  $C$  fest, ist eine Gleichung eines Kegelschnittes mit Mittelpunkt im Ursprung des Koordinatensystems, falls der Mittelpunkt existiert.

Ein cartesisches Koordinatensystem in welchem eine quadratische Form  $Q$  kein gemischtes Glied aufweist wird als Hauptachsensystem bezeichnet.

Bezüglich diesem System hat die quadratische Form folgende Gestalt:

$$\lambda_1 \cdot x_1^2 + \lambda_2 \cdot x_2^2 \quad (2.190)$$

Der Kegelschnitt mit der Gleichung

$$a_{11} \cdot x_1^2 + a_{22} \cdot x_2^2 + 2 \cdot a_{12} \cdot x_1 \cdot x_2 \quad (2.191)$$

kann aufgrund der Eigenwerte der Koeffizienzmatrix klassifiziert werden.

$$\delta = \begin{pmatrix} a_{11} & a_{12} \\ a_{21} & a_{22} \end{pmatrix} \quad \tan 2\alpha = \frac{2a_{12}}{a_{11} - a_{22}} \quad (2.192)$$

$\alpha \hat{=}$  Drehwinkel der Transformationsmatrix  $\Rightarrow$  Hauptachsen

$$\det \delta > 0 \Rightarrow \text{Ellipse} \quad (2.193)$$

$$\det \delta = 0 \Rightarrow \text{Parabel} \quad (2.194)$$

$$\det \delta < 0 \Rightarrow \text{Hyperbel} \quad (2.195)$$

## 2.9.1 Kegelschnitte in allgemeiner Lage

Der geometrische Ort aller Punkte deren Koordinaten bezüglich eines bestimmten Koordinatensystems folgende Gleichung zweiten Grades erfüllen, wird Kurve zweiter Ordnung genannt.

$$a_{11} \cdot x_1^2 + 2 \cdot a_{22} \cdot x_1 \cdot x_2 + a_{22} \cdot x_2^2 + 2 \cdot b_1 \cdot x_1 + 2 \cdot b_2 \cdot x_2 + C = 0 \quad (2.196)$$

Matrizenscheibweise:  $\underline{x}^T \cdot \Delta \underline{x} = 0$

$$\begin{pmatrix} x_1 & x_2 & 1 \end{pmatrix} \begin{pmatrix} a_{11} & a_{12} & b_1 \\ a_{21} & a_{22} & b_2 \\ b_1 & b_2 & C \end{pmatrix} \begin{pmatrix} x_1 \\ x_2 \\ 1 \end{pmatrix} = 0 \quad (2.197)$$

mit  $a_{12} = a_{21}$  und  $\Delta$  ist symmetrisch.

Ist die Gleichung einer Kurve 2. Ordnung mit dem Ursprung  $O = (0,0)$  frei von linearen Gliedern, so ist der Punkt  $O$  ein Mittelpunkt der Kurve. Ist ein Mittelpunkt vorhanden, dann gibt es zu jedem Punkt  $(x_1, x_2)$  einen symmetrischen Punkt  $(-x_1, -x_2)$  auf der Kurve. Die Koordinaten  $(m_1, m_2)$  des Mittelpunkts einer Kurve 2. Ordnung  $F(x_1, x_2) + C = 0$  sind die Lösungen des Systems:

$$\frac{\partial F}{\partial x_1}(x_1, x_2) = 0 \quad a_{11} \cdot x_1 + a_{12} \cdot x_2 + b_1 = 0 \quad (2.198)$$

$$\frac{\partial F}{\partial x_2}(x_1, x_2) = 0 \quad a_{12} \cdot x_1 + a_{22} \cdot x_2 + b_2 = 0 \quad (2.199)$$

Die Kurve besitzt also nur dann einen Mittelpunkt, wenn das obige Gleichungssystem lösbar ist, d.h.

$$\det \delta \neq 0 \quad \text{mit} \quad \delta = \begin{pmatrix} a_{11} & a_{12} \\ a_{12} & a_{22} \end{pmatrix} \quad (2.200)$$

Der Typ der Kurve kann mit Hilfe von  $\delta$  bezogen auf das ursprüngliche System bestimmt werden. Insbesondere die Lage der Kurve (Eigenvektoren von  $\delta$ ) und die Längen der Halbachsen.

$$c \rightsquigarrow \tilde{c} = \frac{\det \Delta}{\det \delta} \quad (2.201)$$

$$\tilde{c} = F(m_1, m_2) + C \quad (2.202)$$

$$\tilde{c} = \frac{1}{2} L(m_1, m_2) + C \quad (2.203)$$

mit  $L(m_1, m_2) = 2 \cdot b_1 \cdot m_1 + 2 \cdot b_2 \cdot m_2$  (lineare Form).

$$(x_1, x_2) \rightsquigarrow (\tilde{x}_1, \tilde{x}_2) \quad \det \Delta \text{ und } \det \delta \text{ bleiben invariant} \quad (2.204)$$

$$(\tilde{x}_1, \tilde{x}_2) \rightsquigarrow (x_1, x_2) \quad \det \delta, \tilde{c} \text{ und } \det \Delta \text{ bleiben invariant} \quad (2.205)$$

$$\Delta = \begin{pmatrix} a_{11} & a_{12} & b_1 \\ a_{12} & a_{22} & b_2 \\ b_1 & b_2 & C \end{pmatrix} \quad (2.206)$$

$$\delta = \begin{pmatrix} a_{11} & a_{12} \\ a_{12} & a_{22} \end{pmatrix} \quad (2.207)$$

$$\sigma = \text{Spur}(\delta) \quad (2.208)$$

	$\det \Delta \neq 0$	$\det \Delta = 0$
$\det \delta > 0$	$\frac{\sigma \cdot \det \Delta < 0}{\sigma \cdot \det \Delta > 0}$   reelle Ellipse imaginäre Ellipse	2 imaginäre Geraden oder 1 Punkt
$\det \delta < 0$	Hyperbel	ein Paar sich schneidende Geraden
$\det \delta = 0$	Parabel	ein Paar parallele Geraden reell oder imaginär

## 2.10 Kleinste Quadrate

Modell:  $y_i = a_0 + a_1 \cdot x_i + r_i$

linear in den Parametern  $a_0, a_1$

Messdaten:  $(x_i, y_i)$  mit  $x_i$  Fehlerfrei und  $y_i$  mit zufälligem Fehler. Fehler, Residuum:  $r_i$

$$\sum_{i=1}^n r_i^2 = \sum_{i=1}^n [y_i - (a_0 + a_1 \cdot x_i)]^2 \quad (2.209)$$

Beispiele von Modellen:

$$y_i = a_0 + a_1 \cdot x_i + a_2 \cdot x_i^2 + r_i \quad (2.210)$$

$$y_i = a_1 + a_2 \cdot \exp^{-x_i} + r_i \quad (2.211)$$

$$\implies \ln x_i = \ln a_i - x_i \cdot a_2 + \ln r_i \quad (2.212)$$

$$\implies z_i = b_1 - x_i \cdot b_2 + \tilde{r}_i \quad \text{Substituierty}_i = a_1 \cdot \sin x_i + r_i \quad (2.213)$$

### 2.10.1 Matrizen Schreibweise des linearen Modells

$$\underline{y} = X \cdot \underline{a} + \underline{r} \quad (2.214)$$

mit  $\underline{y}$  Vektor der Messwerte (bekannt)  
 $X$  Designmatrix (bekannt)  
 $\underline{a}$  Vektor der Parameter (unbekannt)  
 $\underline{r}$  Vektor der Residuen (unbekannt)

$$\begin{pmatrix} y_1 \\ \vdots \\ y_n \end{pmatrix} = \begin{pmatrix} x_1 & 1 \\ \vdots & \vdots \\ x_n & 1 \end{pmatrix} \begin{pmatrix} a_1 \\ a_0 \end{pmatrix} + \begin{pmatrix} r_1 \\ \vdots \\ r_n \end{pmatrix} \quad (2.215)$$

$$\|\underline{y} - X\underline{a}\|^2 = \|\underline{y}\|^2 + \underline{a}^T X^T X \underline{a} - 2 \cdot \underline{y}^T X \underline{a} \quad (2.216)$$

### 2.10.2 Fehlergleichung

$$y_i = a_0 + a_1 \cdot x_i + r_i \quad (2.217)$$

$$\underline{y} = X \cdot \underline{a} + \underline{r} \quad (2.218)$$

### 2.10.3 Spezialfall: Parameter einer Ausgleichsgeraden

Modell:  $y_i = a_0 + a_1 \cdot x_i + r_i$

$$n \cdot a_0 + a_1 \sum x_i = \sum y_i \quad (2.219)$$

$$a_0 \cdot \sum x_i + a_1 \sum x_i^2 = \sum x_i \cdot y_i \quad (2.220)$$

Normalgleichungssystem

$$\hat{a}_1 = \frac{\begin{vmatrix} 1 & \bar{y} \\ n\bar{x} & \sum x_i \cdot y_i \end{vmatrix}}{\begin{vmatrix} 1 & \bar{x} \\ n\bar{x} & \sum x_i^2 \end{vmatrix}} = \frac{\sum x_i y_i - n \cdot \bar{x} \cdot \bar{y}}{\sum x_i^2 - n\bar{x}^2} \quad (2.221)$$

$$\hat{a}_1 = \frac{\sum (x_i - \bar{x})(y_i - \bar{y})}{\sum (x_i - \bar{x})^2} \quad (2.222)$$

Die erste Variante ist numerisch sehr schlecht. Besser ist die zweite Variante. Obige Formeln sind analog für  $a_0$  anzuwenden.

### 2.10.4 Normalgleichungssystem

Matrizenschreibweise:

$$(X^T X) \underline{a} = X^T \underline{y} \quad (2.223)$$

Formale Lösung, numerisch **sehr** schlecht, funktioniert aber für alle linearen Modelle!

$$\hat{\underline{a}} = (X^T X)^{-1} X^T \underline{y} \quad (2.224)$$

## 2.10.5 Formale bestimmung der Parameter

$$t = \underline{a}^T \underline{y} \quad (2.225)$$

$$\frac{\partial t}{\partial \underline{a}} = \begin{pmatrix} \frac{\partial t}{\partial a_1} \\ \vdots \\ \frac{\partial t}{\partial a_n} \end{pmatrix} = \begin{pmatrix} y_1 \\ \vdots \\ y_n \end{pmatrix} \quad \frac{\partial}{\partial \underline{a}} \underline{a}^T \underline{y} = \underline{y} \quad (2.226)$$

$$Q = \underline{a}^T S \underline{a} \quad (2.227)$$

$$\frac{\partial Q}{\partial \underline{a}} \Rightarrow \frac{\partial}{\partial \underline{a}} \underline{a}^T S \underline{a} = 2 \cdot S \underline{a} \quad (2.228)$$

$$\|\underline{r}\|^2 = \|\underline{y} - X\underline{a}\|^2 = \|\underline{y}\|^2 - 2\underline{a}^T X^T \underline{y} + \underline{a}^T S \underline{a} \quad \text{mit } S = X^T X \quad (2.229)$$

Ableitung von  $\|\underline{r}\|^2$  nach  $\underline{a}$ :

$$\frac{\partial}{\partial \underline{a}} \|\underline{r}\|^2 = \frac{\partial}{\partial \underline{a}} (\|\underline{y}\|^2 - 2\underline{a}^T X^T \underline{y} + \underline{a}^T S \underline{a}) \quad (2.230)$$

$$\Rightarrow X^T X \underline{a} = X^T \underline{y} \quad (2.231)$$

## 2.11 Simplex-Algorithmus

Eine lineare Ungleichung zerlegt den n-Dimensionalen Raum in zwei Halbräume. In einem Halbraum ist die Gleichung erfüllt, im andern nicht.

Eine lineare Funktion, welche auf einer abgeschlossenen konvexen Menge definiert ist, nimmt ihren Maximalwert und ihr Minimalwert auf dem Rand der Menge an.

### 2.11.1 Idee

Von einer bekannten Ecke des zulässigen Gebietes aus, schreitet man auf dem Rande von Ecke zu Ecke jeweils in einer Richtung fort in welcher die Zielfunktion zunimmt.

Jede Ecke des Polygons am Rande des zulässigen Gebietes ist dadurch charakterisiert, dass mindestens zwei der beteiligten Variablen 0 sind, während die übrigen einem nicht negativen Wert haben.

### 2.11.2 Beispiel

Lineares Ungleichungssystem:

$$10x_1 + 20x_2 \leq 1100 \quad (2.232)$$

$$x_1 + 4x_2 \leq 160 \quad (2.233)$$

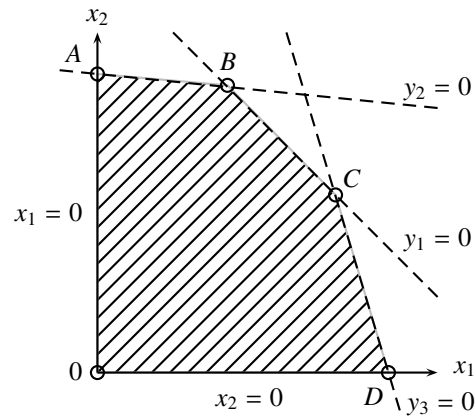
$$x_1 + x_2 \leq 100 \quad (2.234)$$

$$x_1 \geq 0 \quad (2.235)$$

$$x_2 \geq 0 \quad (2.236)$$

$$(2.237)$$

Zielfunktion:  $40x_1 + 120x_2$  muss maximiert werden.



Organisation: einführen von Schlupfvariablen

$$y_1 = -110x_1 - 20x_2 + 1100 \quad (2.238)$$

$$y_2 = -x_1 - 4x_2 + 160 \quad (2.239)$$

$$y_3 = -x_1 - x_2 + 100 \quad (2.240)$$

wobei

$$y_i \geq 0 \quad i = 1 \dots 3 \quad (2.241)$$

$$x_i \geq 0 \quad i = 1 \dots 2 \quad (2.242)$$

Zielfunktion:  $z = 40x_1 + 120x_2$

Schema für Ecke 0 ( $x_1 = 0, x_2 = 0$ ):

	$x_1$	$x_2$	1
$y_1 =$	-10	-20	1100
$y_2 =$	-1	-4	160
$y_3 =$	-1	-1	100
$z =$	40	120	0

Schema für Ecke A ( $x_1 = 0, y_2 = 0$ ):

	$x_1$	$y_2$	1
$y_1 =$	-5	5	300
$x_2 =$	$-\frac{1}{4}$	$-\frac{1}{4}$	40
$y_3 =$	$-\frac{3}{4}$	$\frac{1}{4}$	60
$z =$	10	-30	4800

Der Punkt ist zulässig, denn alle nicht-Basisvariablen sind in diesem Punkt nicht negativ.

Von Schema 0 zu Schema A gelangt man, indem man per Austauschverfahren die Variablen  $x_2$  und  $y_2$  vertauscht. Das Pivot war  $-4$ . usw. ...

Das Optimum ist in Punkt B erreicht, denn alle Elemente der Zielfunktion (ausser ihrem Wert) sind negativ.

Der Weg längs des Randes des Polytops ist wie folgt zu wählen:

	$x_1$	...	$x_q$	...	$x_n$	1
$y_1 =$			$a_{1q}$			$b_1$
$\vdots$						
$y_i =$			$a_{iq}$			$b_i$
$\vdots$						
$y_m =$			$a_{mq}$			$b_m$
$z =$	$c_1$	...	$c_q$	...	$c_n$	$d$

1. In der neuen Ecke sollte der Wert  $d'$  der Zielfunktion grösser als  $d$  werden.



2. Die neue Ecke soll auf dem Rande des zulässigen Gebietes liegen  $\implies b'_i \geq 0 \forall i$

$$d' \geq d$$

$$b'_i \geq 0 \forall i \quad \text{insbesondere: } b'_p \geq 0$$

- Die Pivot-Kolonne ist so zu wählen, dass ihr Element  $c_q$  in der Zeile der Zielfunktion positiv allenfalls 0 ist.
- In der gewählten Pivotkolonne muss das Element  $a_{pq}$  negativ sein. Die Pivot-Zeile ist bestimmt durch den absolut kleinsten Quotienten  $\frac{b_i}{|a_{iq}|}$ , welche mit dem negativen Elementen  $a_{iq}$  der Pivotkolonne gebildet werden.

Das Verfahren kann auf folgende Arten abbrechen:

1. Alle Elemente der Zielfunktion sind negativ. Das gesuchte Optimum wurde erreicht, denn die Zielfunktion kann nicht mehr zunehmen.
2. Es gibt zwar positive Elemente in der Zielfunktionszeile, aber in der dazugehörigen Spalte sind alle Elemente grösser 0, d.h. die Zielfunktion kann beliebig gross gemacht werden.

### 2.11.3 Zusammenfassung

Optimum ist erreicht	Alle $b_i \geq 0$ und alle $c_i \leq 0$
Zielfunktion ist unbeschränkt	$\exists k$ mit $c_k > 0$ und alle $a_{ik} \geq 0 \forall i$ in Spalte $k$
das lineare Programm hat keine Lösung	$\exists i$ mit $b_i < 0$ und $a_{ik} \leq 0 \forall k$ in Zeile $i$

## 2.12 Normen

### 2.12.1 Normen von Vektoren

Unter der Norm  $\|\underline{x}\|$  eines Vektors  $\underline{x}$  versteht man eine reelle Funktion von  $\underline{x}$  mit dem folgenden Eigenschaften:

1.  $\|\underline{x}\| \geq 0 \quad \|\underline{x}\| = 0 \Leftrightarrow \underline{x} = \underline{0}$
2.  $\|\lambda \underline{x}\| = |\lambda| \cdot \|\underline{x}\| \quad \lambda \text{ ein Skalar}$
3.  $\|\underline{x} + \underline{y}\| \leq \|\underline{x}\| + \|\underline{y}\|$  Dreiecksungleichung

#### Beispiele von Normen

$$\|\underline{x}\|_1 = \sum_{i=1}^n |x_i| \quad l_1 - \text{Norm} \quad (2.243)$$

$$\|\underline{x}\|_2 = \sqrt{\sum_{i=1}^n |x_i|^2} \quad l_2 - \text{Norm, euklidische Norm} \quad (2.244)$$

$$\|\underline{x}\|_p = \sqrt[p]{\sum_{i=1}^n |x_i|^p} \quad \text{mit } 1 \leq p < \infty \quad l_p - \text{Norm, Hölder-Norm} \quad (2.245)$$

$$\|\underline{x}\|_\infty = \max_i |x_i| \quad l_\infty - \text{Norm, maximum-Norm} \quad (2.246)$$

$$(2.247)$$

Es gilt:

$$\frac{1}{n} \|\underline{x}\|_1 \leq \|\underline{x}\|_\infty \leq \|\underline{x}\|_1 \leq n \cdot \|\underline{x}\|_\infty \quad (2.248)$$

## 2.12.2 Normen von Matrizen

Unter der Norm einer Matrix  $A$  versteht man eine Funktion  $A \mapsto \|A\|$  mit folgenden Eigenschaften:

1.  $\|A\| \geq 0 \quad \|A\| = 0 \Leftrightarrow A = 0$
2.  $\|\alpha \cdot A\| = |\alpha| \cdot \|A\| \quad \forall \alpha \in \mathbb{C}$
3.  $\|A + B\| \leq \|A\| + \|B\|$
4.  $\|A \cdot B\| \leq \|A\| \cdot \|B\|$

### Beispiele von Normen

$$\|A\|_\infty = \max_i \sum_k |a_{ik}| \quad \text{Summe der Spalten} \quad (2.249)$$

$$\|A\|_E = \sqrt{\sum_i \sum_k |a_{ik}|^2} \quad \text{Frobenius} \quad (2.250)$$

$$\|A\|_1 = \max_j \sum_i |a_{ij}| \quad \text{Summe der Zeilen} \quad (2.251)$$

$$\|A\| = \lambda_{\max}^{\frac{1}{2}} \quad (2.252)$$

$\lambda_{\max}$  als grösster Eigenwert der Matrix  $A^T A$ .

## 2.13 Konvergenz

### 2.13.1 Konvergenz einer Vektorfolge

Eine Vektorfolge  $\{\underline{x}^{(k)}\}_{k \in \mathbb{N}}$  konvergiert gegen einen Vektor  $\underline{x}$  falls jede Komponente der Folge gegen die entsprechende Komponente von  $\underline{x}$  konvergiert.

Damit eine unendliche Vektorfolge gegen  $\underline{x}$  konvergiert, ist es notwendig und hinreichend, dass für eine beliebige Vektornorm folgendes gilt:

$$\lim_{k \rightarrow \infty} \|\underline{x}^{(k)} - \underline{x}\| = 0 \quad (2.253)$$

### 2.13.2 Konvergenz einer Matrixfolge

Eine Matrixfolge  $A^{(k)}$  konvergiert gegen eine Matrix  $A$  falls jedes einzelne Element der Matrix  $A^{(k)}$  konvergiert.

Notwendig und hinreichend für die Konvergenz für eine Matrixfolge  $A^{(k)}$  gegen  $A$ :

$$\lim_{k \rightarrow \infty} \|A^{(k)} - A\| = 0 \quad (2.254)$$

In den meisten Konvergenzbetrachtungen werden sowohl Matrizen als auch Vektoren auftreten. Die Norm der Matrizen und Vektoren müssen verträglich sein:

$\ A\ _\infty$	ist durch	$\ \underline{x}\ _\infty$	induziert
$\ A\ _1$	ist durch	$\ \underline{x}\ _1$	induziert
$\ A\ _2$	ist durch	$\ \underline{x}\ _2$	induziert
$\vdots$		$\vdots$	

$\|A\|_E$  ist von keiner Vektornorm induziert.

Jede Matrixnorm, welche durch eine Vektornorm induziert wird, stellt eine obere Schranke für die Beträge ihrer Eigenwerte.

Sei  $A$  eine Matrix.

Sei  $\underline{x}$   $n \times n$  Eigenvektor von  $A$  zu  $\lambda$ .

$$A\underline{x} = \lambda\underline{x} \implies \frac{\|A\underline{x}\|}{\|\underline{x}\|} = |\lambda| \quad (2.255)$$

$$\max_{\|\underline{x}\| \neq 0} \frac{\|A\underline{x}\|}{\|\underline{x}\|} \geq |\lambda| \quad (2.256)$$

$$\|A\| \geq |\lambda| \quad \forall \lambda \quad (2.257)$$

$$\|A\| \geq \max |\lambda| \quad (2.258)$$

## 2.14 Konditionszahl einer Matrix

Die Konditionszahl ist ein Mass für die Singularität der Matrix.

Geometrische Definition:

$$\text{sei } M = \max_{\underline{x} \neq 0} \frac{\|A\underline{x}\|_2}{\|\underline{x}\|_2} \quad (2.259)$$

$$\text{sei } m = \min_{\underline{x} \neq 0} \frac{\|A\underline{x}\|_2}{\|\underline{x}\|_2} \quad (2.260)$$

$$\kappa = \frac{M}{m} \quad \text{je grösser, je gefährlicher numerisch} \quad (2.261)$$

Falls  $A$  regulär:  $\kappa = \|A\|_2 \cdot \|A^{-1}\|_2$

$$A = \underset{n \times m}{U} \cdot \underset{n \times m}{\cdot} \cdot \underset{m \times m}{V^T} \quad (2.262)$$

mit

$$U^T U = I \quad \text{Spalten sind orthonormiert} \quad (2.263)$$

$$V^T V = I \quad (2.264)$$

$$S = \begin{pmatrix} s_1 & 0 & 0 \\ 0 & \ddots & 0 \\ 0 & 0 & s_m \end{pmatrix} \quad \text{mit } s_i \geq 0 \quad (2.265)$$

$$\kappa = \frac{\max s_i}{\min s_i} = \frac{\lambda_{\max}^{\frac{1}{2}}}{\lambda_{\min}^{\frac{1}{2}}} = \sqrt{\frac{\lambda_{\max}}{\lambda_{\min}}} \quad (2.266)$$

wobei

$$1 \leq \kappa \leq \infty \quad (2.267)$$

Faustregel beim Lösen eines linearen Gleichungssystems  $A\underline{x} = \underline{b}$ :

Bei einer  $d$ -stelligen dezimalen Gleitkommarechnung können die relativen Fehler der Ausgangsdaten von folgender Grössenordnung sein:

$$\frac{\|\Delta A\|}{\|A\|} \approx 5 \cdot 10^{-d} \quad (2.268)$$

Ist die Konditionszahl  $\kappa(A) \approx 10^\alpha$ , so gilt:

$$\frac{\|\Delta x\|}{\|x + \Delta x\|} \leq \kappa(A) \cdot \frac{\|\Delta A\|}{\|A\|} \quad (2.269)$$

$$\frac{\|\Delta x\|}{\|\Delta x\|} \leq \kappa(A) \cdot \frac{\|\Delta b\|}{\|b\|} \quad (2.270)$$

Wird ein lineares Gleichungssystem  $A\underline{x} = \underline{b}$  mit  $d$ -stelligem, dezimalen Float gelöst und die Konditionszahl  $\approx 10^\alpha$ , so sind Aufgrund der unvermeidlichen Eingangsfehler nur  $d - \alpha - 1$  Dezimalstellen in der Lösung  $\underline{x}$  sicher.



# **Kapitel 3**

## **Analysis**

## 3.1 Allgemeines

### 3.1.1 Quadratische Gleichung

$$x_{1,2} = -\frac{p}{2} \pm \sqrt{\left(\frac{p}{2}\right)^2 - q} \quad (3.1)$$

$$x_{1,2} = \frac{-b \pm \sqrt{b^2 - 4ac}}{2a} \quad (3.2)$$

### 3.1.2 Funktionsgleichung

$$y = m \cdot x + q \quad \text{mit } m: \text{Steigung, } q: \text{Achenabschnitt} \quad (3.3)$$

### 3.1.3 Achsenabschnittsgleichung

$$\frac{x}{p} + \frac{y}{q} = 1 \quad (3.4)$$

### 3.1.4 Koordinatengleichung

$$Ax + By + C = 0 \quad (3.5)$$

### 3.1.5 Satz von Vieta

$$x_1 + x_2 = -p \quad (3.6)$$

$$x_1 \cdot x_2 = q \quad (3.7)$$

### 3.1.6 Binominalkoeffizienten

$$\binom{n}{k} = \frac{n!}{k! \cdot (n-k)!} \quad (3.8)$$

## 3.2 Grenzwerte

$$\lim_{x \rightarrow c} f(x) = l \quad (3.9)$$

Sind die einseitigen Grenzwerte nicht gleich, so existiert kein Grenzwert:

$$\text{wenn } \lim_{x \rightarrow c^-} f(x) \neq \lim_{x \rightarrow c^+} f(x) \Rightarrow \nexists \lim_{x \rightarrow c} f(x) \quad (3.10)$$

Standardgrenzwerte:

$$\left(1 + \frac{1}{n}\right)^n = e \quad (3.11)$$

$$\left(1 - \frac{1}{n}\right)^n = \frac{1}{e} \quad (3.12)$$

$$\lim_{x \rightarrow c} \sin x = \sin c \quad (3.13)$$

$$\lim_{x \rightarrow c} \cos x = \cos c \quad (3.14)$$

$$\lim_{x \rightarrow 0} \frac{\sin x}{x} = 1 \quad (3.15)$$

$$\lim_{x \rightarrow 0} \frac{1 - \cos x}{x} = 0 \quad (3.16)$$

$$\lim_{n \rightarrow \infty} x^{\frac{1}{n}} = 0 \quad \text{sofern } x > 0 \quad (3.17)$$

$$\lim_{n \rightarrow \infty} x^n = 0 \quad \text{sofern } |x| > 0 \quad (3.18)$$

$$\lim_{n \rightarrow \infty} \frac{x^n}{n!} = 0 \quad \text{mit } x \in \mathbb{R} \quad (3.19)$$

$$\lim_{n \rightarrow \infty} \frac{1}{n^\alpha} = 0 \quad \text{für } \alpha > 0 \quad (3.20)$$

$$\lim_{n \rightarrow \infty} \frac{\ln n}{n} = 0 \quad (3.21)$$

$$\lim_{n \rightarrow \infty} \left(1 + \frac{x}{n}\right)^n = e^x \quad \text{mit } x \in \mathbb{R} \quad (3.22)$$

### 3.3 Folgen

Monotonie:

$$a_n < a_{n+1} \quad \text{Streng monoton wachsend} \quad (3.23)$$

$$a_n \leq a_{n+1} \quad \text{Monoton wachsend} \quad (3.24)$$

$$a_n > a_{n+1} \quad \text{Streng monoton fallend} \quad (3.25)$$

$$a_n \geq a_{n+1} \quad \text{Monoton fallend} \quad (3.26)$$

$$(3.27)$$

Divergenz: Folge ohne Grenzwert; unbeschränkte Folge

Konvergenz: Folge mit Grenzwert; beschränkte Folge

### 3.4 Differentiation

#### 3.4.1 Regeln

Potenzregel

$$(x^n)' = n \cdot x^{n-1} \quad (3.28)$$

Produktregel

$$(f(x) \cdot g(x))' = f(x) \cdot g'(x) + f'(x) \cdot g(x) \quad (3.29)$$

Summenregel

$$(f(x) + g(x))' = f'(x) + g'(x) \quad (3.30)$$

Skalar

$$(\alpha \cdot f(x))' = \alpha \cdot f'(x) \quad (3.31)$$

## Reziprokregel

$$\left(\frac{1}{g(x)}\right)' = -\frac{g'(x)}{g^2(x)} \quad (3.32)$$

## Quotientenregel

$$\left(\frac{f(x)}{g(x)}\right)' = \frac{f'(x) \cdot g(x) - f(x) \cdot g'(x)}{g^2(x)} \quad (3.33)$$

## Kettenregel

Äussere Ableitung mal innere Ableitung.

$$(f(g(x)))' = \frac{\partial y}{\partial g} \cdot \frac{\partial g}{\partial x} \quad (3.34)$$

## Sontiges

$$f(f^{-1}(x)) = x \quad (3.35)$$

$$f'(f^{-1}(x)) \cdot (f^{-1}(x))' = 1 \quad (3.36)$$

$$(f^{-1}(x))' = \frac{1}{f'(f^{-1}(x))} \quad (3.37)$$

## Winkelfunktionen

$$\sin' \Rightarrow \cos \quad (3.38)$$

$$\cos' \Rightarrow -\sin \quad (3.39)$$

$$\tan' \Rightarrow \frac{1}{\cos^2} = 1 + \tan^2 \quad (3.40)$$

$$\cot' \Rightarrow -\frac{1}{\sin^2} = -(1 + \cot^2) \quad (3.41)$$

$$\arcsin' \Rightarrow \frac{1}{\sqrt{1-x^2}} \quad (3.42)$$

$$\arccos' \Rightarrow -\frac{1}{\sqrt{1-x^2}} \quad (3.43)$$

$$\arctan' \Rightarrow \frac{1}{\sqrt{1+x^2}} \quad (3.44)$$

$$(\cot^{-1})' \Rightarrow -\frac{1}{\sqrt{1+x^2}} \quad (3.45)$$

## Hyperbolische Funktionen

$$\frac{\partial}{\partial x} \sinh x = \cosh x \quad (3.46)$$

$$\frac{\partial}{\partial x} \cosh x = \sinh x \quad (3.47)$$

$$\frac{\partial}{\partial x} \tanh x = \frac{1}{\cosh^2 x} \quad (3.48)$$

$$\frac{\partial}{\partial x} = \frac{-1}{\sinh^2 x} \quad (3.49)$$

$$(3.50)$$

## 3.4.2 Differential

$$\partial f = f'(x) \cdot \partial x \quad (3.51)$$



### 3.4.3 Newton-Raphson

$$x_{n+1} = x_n - \frac{f(x_n)}{f'(x_n)} \quad (3.52)$$

### 3.5 Implizites Differenzieren

$$\begin{aligned} \frac{\partial}{\partial x} (3x^3y - 4y - 2x + 1) &= 0 \\ 9x^2y + 3x^3y' - 4y' - 2 + 0 &= 0 \\ \implies y' &= \frac{2 - 9x^2y}{3x^3 - 4} \end{aligned}$$

### 3.6 Logarithmus

$$b = \log_a(x) \quad \hat{=} \quad \text{Exponent} \quad (3.53)$$

$$a^b = a^{\log_a(x)} = x \quad (3.54)$$

$$\log_a(u \cdot v) = \log_a(u) + \log_a(v) \quad (3.55)$$

$$\log_a\left(\frac{u}{v}\right) = \log_a(u) - \log_a(v) \quad (3.56)$$

$$\log_a(u^n) = n \cdot \log_a(u) \quad (3.57)$$

$$\log_b(x) = \frac{\log_a(x)}{\log_a(b)} \quad (3.58)$$

$$(\ln(x))' = \frac{\partial}{\partial x} \ln(x) = \frac{1}{x} \quad (3.59)$$

$$\frac{\partial}{\partial x} \exp^x = \exp^x \quad (3.60)$$

$$\frac{\partial}{\partial x} \exp^y = \exp^y \cdot y' \quad (3.61)$$

$$\frac{\partial}{\partial x} \log_a(x) = \frac{1}{\ln(a) \cdot x} \quad (3.62)$$

### 3.7 Integration

$$\int_a^b f(x) dx = \lim_{n \rightarrow \infty} \sum_{i=0}^{n-1} f(x_i^*) \cdot \Delta x_i \quad (3.63)$$

mit:

- x: fiktive Variable
- a: untere Grenze
- b: obere Grenze

**Definition:** Ein Integral ist der Grenzwert einer Summe.

Bezeichnungen:

$$F(x) = \int_a^b x dx = \frac{x^2}{2} + c$$

mit:

- |        |                       |
|--------|-----------------------|
| $F(x)$ | Stammfunktion         |
| $a$    | untere Grenze         |
| $b$    | obere Grenze          |
| $x$    | Integrand             |
| $dx$   | Differenzial          |
| $c$    | Integrationskonstante |

Unbestimmtes Integral:

$$\int_a^x f(t) dt = F(t) \hat{=} \text{Funktion in } t \quad (3.64)$$

Kurzschreibweise:

$$\int f(t) dt = F(t) \quad (3.65)$$

Bestimmtes Integral:

$$\int_a^b f(x) dx \hat{=} \text{Zahl} \quad (3.66)$$

Berechnung:

$$\int_a^b f(x) dx = F(b) - F(a) = F(x)|_a^b \quad (3.67)$$

### 3.7.1 Linearität des Integrals

$$\int_a^b (f(x) + g(x)) dx = \int_a^b f(x) dx + \int_a^b g(x) dx \quad (3.68)$$

$$\int_a^b \alpha \cdot f(x) dx = \alpha \cdot \int_a^b f(x) dx \quad (3.69)$$

### 3.7.2 Standardsubstitution für Integrale mit Winkelfunktionen

$$u = \tan \frac{x}{2} \quad (3.70)$$

### 3.7.3 Grundintegrale

$$\int x^n dx = \frac{x^{n+1}}{n+1} + c \quad (3.71)$$

$$\int \frac{1}{x} dx = \ln(|x|) + c \quad (3.72)$$

$$\int \frac{1}{\cos^2 x} dx = \tan(x) + c \quad (3.73)$$

$$\int \cos x dx = \sin x + c \quad (3.74)$$

$$\int \sin x dx = -\cos x + c \quad (3.75)$$

$$\int a^x dx = \frac{a^x}{\ln(a)} + c \quad (3.76)$$

$$\int (\lambda + x^2) dx = \lambda \cdot x + \frac{1}{3} \cdot x^3 + c \quad (3.77)$$

### 3.7.4 Integration Trigonometrischer Funktionen

$$\int \cos x \, dx = \sin x + c \quad (3.78)$$

$$\int \sin x \, dx = -\cos x + c \quad (3.79)$$

$$\int \cos^2 x \, dx = \frac{1}{2}x + \frac{1}{4} \sin 2x + c \quad (3.80)$$

$$\int \sin^2 x \, dx = \frac{1}{2}x - \frac{1}{4} \sin 2x + c \quad (3.81)$$

$$\int \tan x \, dx = \ln \left| \frac{1}{\cos x} \right| + c = -\ln |\cos x| + c \quad (3.82)$$

$$\int \cot x \, dx = \ln |\sin x| + c \quad (3.83)$$

$$\int \arcsin x \, dx = x \cdot \arcsin x + \sqrt{1-x^2} + c \quad (3.84)$$

$$\int \frac{1}{\sqrt{a^2-x^2}} \, dx = \int \frac{1}{a \sqrt{1-\left(\frac{x}{a}\right)^2}} \, dx = \arcsin\left(\frac{x}{a}\right) + c \quad (3.85)$$

$$\int \frac{1}{a^2+x^2} \, dx = \frac{1}{a} \cdot \arctan\left(\frac{x}{a}\right) + c \quad (3.86)$$

$$\int \arctan x \, dx = x \cdot \arctan x - \frac{1}{2} \ln(1+x^2) + c \quad (3.87)$$

### 3.7.5 Integration hyperbolischer Funktionen

$$\int \sinh x \, dx = \cosh x + c \quad (3.88)$$

$$\int \cosh x \, dx = \sinh x + c \quad (3.89)$$

### 3.7.6 Integrationsmethoden

#### Partielle Integration

$$\int u \cdot v' = u \cdot v - \int u' \cdot v \quad (3.90)$$

#### Substitution

$$\int_{g_u}^{g_o} \sin(2x) \, dx$$

Substitution durch:

$$u = 2x$$

$$du = 2$$

$$g'_u = 2(g_u)$$

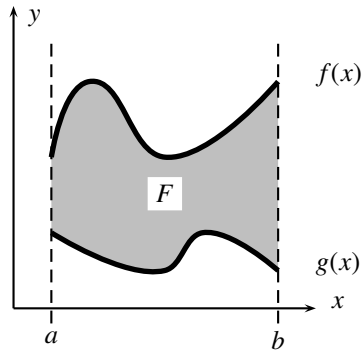
$$g'_o = 2(g_o)$$

$$\Rightarrow \int_{g'_u}^{g'_o} \sin(u) \, du \quad (3.91)$$

#### Partialbruchzerlegung

$$\int \frac{1}{x^2+x} \, dx \quad (3.92)$$

### 3.7.7 Fläche unter einer Kurve

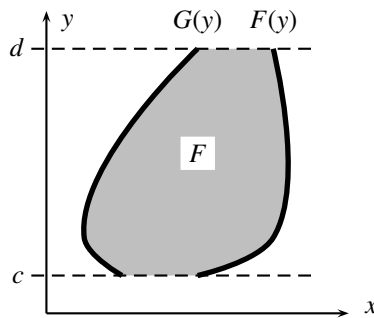


$$F = \int_a^b f(x) dx - \int_a^b g(x) dx = \int_a^b [f(x) - g(x)] dx \quad (3.93)$$

Allgemein:

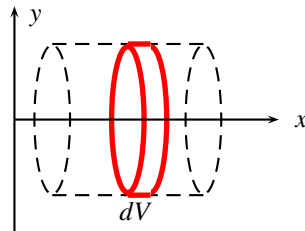
$$F = \int_a^b |f(x) - g(x)| dx \quad (3.94)$$

Analog dazu:



$$F = \int_c^d |F(y) - G(y)| dy$$

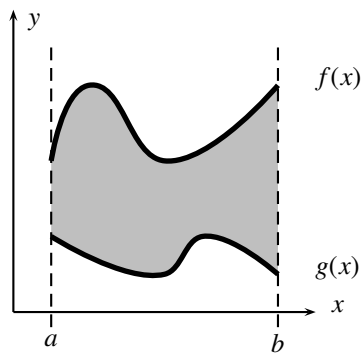
### 3.7.8 Volumenberechnung



$$dV = Q \cdot dx \quad \Rightarrow \quad V = \int_a^b Q(x) dx \quad (3.95)$$

$Q$  : Querschnittsfläche an der Stelle  $x$ . Kann eine Funktion von  $x$  sein.

Rotationskörper:



Rotation um die  $x$ -Achse.

$$V = \pi \int_a^b [f^2(x) - g^2(x)] dx \quad (3.96)$$

### 3.7.9 Geometrischer Mittelpunkt: Schwerpunkt

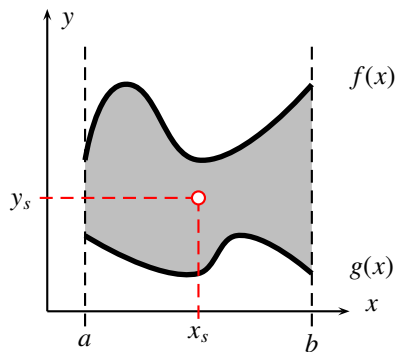
$$x_s = \frac{\int_a^b f(x) \cdot x dx}{\int_a^b f(x) dx} = \frac{\int_a^b x dF}{\int_a^b dF} \quad (3.97)$$

$$y_s = \frac{\frac{1}{2} \int_a^b f^2(x) dx}{\int_a^b f(x) dx} = \frac{\int_a^b y dF}{\int_a^b dF} \quad (3.98)$$

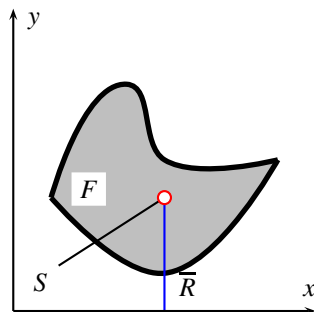
$$x_s \cdot A = \int_a^b [f(x) - g(x)] \cdot x dx \quad (3.99)$$

$$y_s \cdot A = \frac{1}{2} \cdot \int_a^b [f^2(x) - g^2(x)] dx \quad (3.100)$$

Illustration:



### 3.7.10 Volumensatz von Pappos

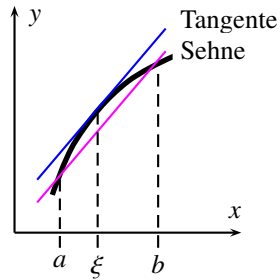


$$V = F \cdot 2 \cdot \pi \cdot \bar{R} \quad \bar{R} \hat{=} \text{Mittlerer Radius} \quad (3.101)$$

### 3.7.11 Arbeit

$$dE, dA = \vec{F} \cdot d\vec{s} = \|\vec{F}\| \cdot \cos(\phi) \cdot ds \Rightarrow E = \oint_{\text{weg}} \vec{F} d\vec{s} \quad (3.102)$$

### 3.7.12 Mittelwertsatz



$$\exists \xi \in (a, b) \text{ mit } f'(\xi) = \frac{f(b) - f(a)}{b - a} \hat{=} \text{ mittlere Steigung} \quad (3.103)$$

## 3.8 Kurvendiskussion

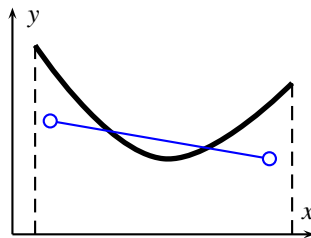
Notwendigkeit für lokales Extrem:

1. Ableitung verschwindet:  $f'(x) = 0$
2. Ableitung existiert nicht (z.B. am Rand)

kleinstes lokales Minimum = globales Minimum  
grösstes lokales maximum = globales Maximum

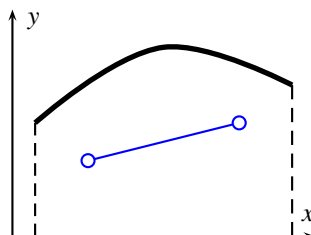
**Konkav**, wenn

- $f'' > 0$
- $f'$  von neg. nach pos. übergeht



**Konvex**, wenn

- $f'' < 0$
- $f'$  von pos. nach neg. übergeht



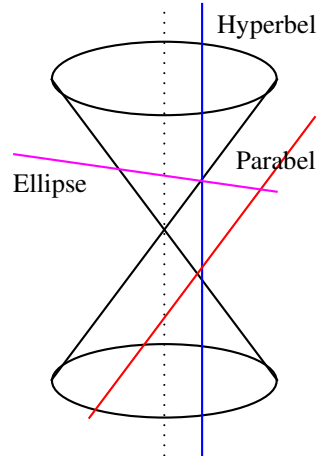
**Wendepunkt**, wenn  $f'' = 0$ .

### 3.9 Harmonische Bewegung

$$\ddot{x} + \omega^2 \cdot x = 0 \quad (3.104)$$

$$x_t = A \cdot \cos(B \cdot t) + C \cdot \sin(D \cdot t) \quad (3.105)$$

### 3.10 Kegelschnitte



$$\frac{x^2}{a^2} + \frac{y^2}{b^2} = 1 \quad \Rightarrow \quad \text{Ellipse} \quad (3.106)$$

$$-\frac{x^2}{a^2} + \frac{y^2}{b^2} = 1 \quad \Rightarrow \quad \text{Hyperbel} \quad (3.107)$$

$$x^2 + y^2 = 1 \quad \Rightarrow \quad \text{Kreis} \quad (3.108)$$

### 3.11 Hessesche Normalform: Abstand Punkt-Gerade

Hessesche Normalform:

$$Ax + By + C = 0 \quad (3.109)$$

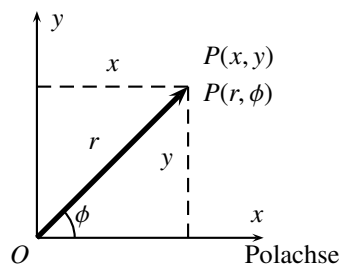
Abstand:

$$\left| \frac{A \cdot x_p + B \cdot y_p + C}{\sqrt{A^2 + B^2}} \right| \quad (3.110)$$

### 3.12 Polarkoordinaten

Darstellung ist eindeutig wenn:

$$r \geq 0 \quad \text{und} \quad \phi \in [0, 2\pi) \quad (3.111)$$



### 3.12.1 Transformationsgleichungen

$$x = r \cdot \cos \phi \quad (3.112)$$

$$y = r \cdot \sin \phi \quad (3.113)$$

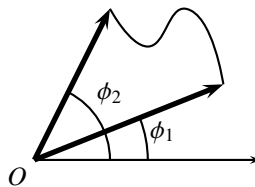
$$r = \sqrt{x^2 + y^2} \quad (3.114)$$

$$\phi = \arctan \frac{y}{x} \quad \text{nicht eindeutig bestimmt!} \quad (3.115)$$

### 3.12.2 Beispiele von Kurven

- Kreis um Ursprung:  $r$  ist konstant
- Gerade durch Ursprung:  $\phi$  ist konstant
- beliebige Gerade:  $y = m \cdot x + q \Rightarrow r \cdot \sin \phi = m \cdot r \cdot \cos \phi + q$

### 3.13 Flächeninhalt in Polarkoordinaten



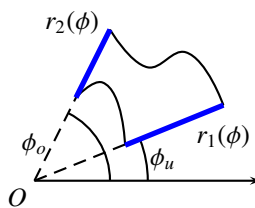
$\partial F$  mit einem Kresissektor approximiert:

$$\partial F = \frac{r_\phi + r_{\phi+\partial\phi}}{2} \cdot (r \cdot \phi) \frac{1}{2} \quad (3.116)$$

$$\Rightarrow \partial F = \left( \frac{r_\phi + r_{\phi+\partial\phi}}{2} \right)^2 \frac{1}{2} \partial\phi \quad (3.117)$$

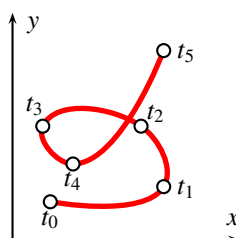
$$\Rightarrow F = \frac{1}{2} \int_{\phi_u}^{\phi_o} r_\phi^2 \partial\phi \quad (3.118)$$

### 3.13.1 Verallgemeinerung



$$F = \frac{1}{2} \int_{\phi_u}^{\phi_o} (r_1^2 - r_2^2) \partial\phi \quad (3.119)$$

### 3.14 Parametrische Kurven





Zwei von  $t$  abhängige Kurven  $\implies$  Parameter eliminieren. Illustration:

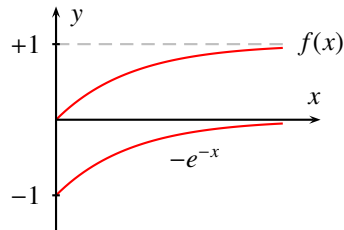
$$\begin{aligned}x &= \cos t \\y &= \sin t \\x^2 + y^2 &= \cos^2 t + \sin^2 t = 1\end{aligned}$$

### 3.14.1 Tangente

$$m_t = \frac{\dot{y}_t}{\dot{x}_t} \tag{3.120}$$

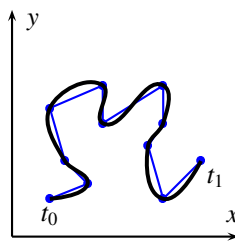
### 3.15 Axiom der kleinsten/grössten Schranke

$$f(x) = 1 - e^{-x} \quad \text{für } x > 0 \tag{3.121}$$



$f(x)$  schmiegt sich um  $y = 1$  bleibt aber **immer** darunter ( $y < 1$ ). 1 ist die kleinste obere Schranke für  $f(x)$ .

### 3.16 Bogenlänge



Approximation des Streckenzugs zwischen  $t_0$  und  $t_1$ .

Grenzübergang  $\Delta t \rightarrow \partial t$

$$\implies L = \int_{t_0}^{t_1} \sqrt{(\dot{x})^2 + (\dot{y})^2} dt \tag{3.122}$$

$$\implies L = \int_{x_0}^{x_1} \sqrt{1 + (f'(x))^2} dx \tag{3.123}$$

#### 3.16.1 Polarkoordinaten

$$x = r(\phi) \cdot \cos \phi \tag{3.124}$$

$$y = r(\phi) \cdot \sin \phi \tag{3.125}$$

$$\implies L = \int_{\phi_0}^{\phi_1} \sqrt{(r')^2 + r^2} d\phi \quad \text{wobei } r' = \frac{\partial r}{\partial \phi} \tag{3.126}$$

### 3.17 Folgen

$$\{a_k\} \hat{=} a_1, a_2, a_3, \dots, a_n \tag{3.127}$$

$$\{a_k\} \hat{=} a_1, a_2, \dots, a_n, \dots \tag{3.128}$$

Beispiele:  $a_k = \frac{1}{k}, a_k = \sqrt{k}$

### 3.17.1 Einzwangungssatz für Folgen:

$$a_k < b_k < c_k \quad (3.129)$$

mit

$$\lim_{k \rightarrow \infty} a_k = a \quad \text{und} \quad a = c \lim_{k \rightarrow \infty} c_k = c \quad (3.130)$$

$$\implies \lim_{k \rightarrow \infty} b_k = b \quad (3.131)$$

### 3.17.2 Satz:

Es sei  $\{x_k\}$  eine konvergente Folge mit  $\lim_{k \rightarrow \infty} x_k = a$  stetig in  $a$ , dann gilt:

$$\lim_{k \rightarrow \infty} f(x_k) = f(a) \quad (3.132)$$

## 3.18 Reihen

Folge  $\{a_k\} \mapsto \{S_n\}$  Reihe, Folge von Partialsummen wenn  $s_n = \sum_{k=0}^n a_k$

$$\text{konvergent:} \quad \lim_{n \rightarrow \infty} s_n < \infty \quad (3.133)$$

$$\text{divergent:} \quad \lim_{n \rightarrow \infty} s_n \pm \infty \quad (3.134)$$

### 3.18.1 Reihenentwicklung verschiedener Funktionen

$$\sin x = x - \frac{1}{x!}x^3 + \frac{1}{5!}x^5 - \frac{1}{7!}x^7 \pm \dots \quad (3.135)$$

$$\cos x = 1 - \frac{1}{2!}x^2 + \frac{1}{4!}x^4 - \frac{1}{6!}x^6 \pm \dots \quad (3.136)$$

$$\exp x = 1 + x + \frac{1}{2}x^2 + \frac{1}{6}x^3 + \frac{1}{24}x^4 + \dots \quad (3.137)$$

$$= \sum_{k=0}^{\infty} \frac{1}{k!} \cdot x^k \quad (3.138)$$

### 3.18.2 Geometrische Reihe

$$s_n = 1 + q + q^2 + \dots + q^n \quad (3.139)$$

$$- q \cdot s_n = q + q^2 + \dots + q^n + q^{n+1} \quad (3.140)$$

$$\implies s_n - q \cdot s_n = 1 - q^{n+1} \quad (3.141)$$

$$\implies s_n = \frac{1 - q^{n+1}}{1 - q} \quad (3.142)$$

Grenzwert  $n \rightarrow \infty$

$$|q| < 1 \quad \text{konvergent} \quad S = \frac{1}{1 - q} \quad (3.143)$$

$$|q| \geq 1 \quad \text{divergent} \quad (3.144)$$

$\sum a_k$  und  $\sum b_k$  konvergent, dann ist auch  $\sum(a_k + b_k)$  konvergent, und  $\sum(\alpha a_k)$  auch konvergent.

### 3.18.3 Unbestimmte Ausdrücke

Von der Form  $\frac{0}{0}$

$$\lim_{x \rightarrow x^*} \frac{f(x)}{g(x)} = \lim_{x \rightarrow x^*} \frac{f'(x)}{g'(x)} \quad (3.145)$$

wenn  $\frac{f(x)}{g(x)}$  ein unbestimmter Ausdruck der Form  $\frac{0}{0}$  ist (Regel von l'Hospital).

## Von der Form $\frac{\infty}{\infty}$

Beispiel:

$$\lim \frac{x}{\exp x}, \lim \frac{\frac{1}{x}}{\left(\frac{1}{x}\right)^2} \quad (3.146)$$

Lösung: gleiche Regel von l'Hospital

## Uneigentliche Integrale

Beispiel:

$$\int_0^{\infty} \exp -x dx \quad (3.147)$$

Uneigentliches Integral:  $I = \int_a^b f(x) dx$  für  $(a \rightarrow -\infty)$  oder  $(b \rightarrow +\infty)$  oder  $(a \rightarrow -\infty$  und  $b \rightarrow +\infty)$ .

Wenn der Grenzwert existiert, nennt man das Integral *konvergent*, sonst *divergent*. Das Verhalten ist also abhängig von  $f(x)$ .

## Integrale von Funktionen mit einer Unendlichkeitsstelle Beispiel:

$$\int_{-1}^{+1} \frac{1}{\sqrt{|x|}} dx \quad (3.148)$$

Allgemein:

$$I = \int_a^b f(x) dx \quad (3.149)$$

$$\text{mit } \lim_{x \rightarrow b^-} f(x) = \pm \infty \quad (3.150)$$

$$\text{oder } \lim_{x \rightarrow a^+} f(x) = \pm \infty \quad (3.151)$$

$$= \lim_{B \rightarrow b^-} \int_a^B f(x) dx \quad (3.152)$$

$$\text{oder } \lim_{A \rightarrow a^+} \int_A^b f(x) dx \quad (3.153)$$

## Integralkriterium

Ist eine Reihe konvergent oder divergent?

Beispiel:  $f(x) = \frac{1}{x^2}$

$$s = \sum_{i=1}^{\infty} \frac{1}{x^i} = \frac{1}{1^2} + \frac{1}{2^2} + \frac{1}{3^2} + \dots \quad (3.154)$$

$$a_k = \frac{1}{k^2} \quad (3.155)$$

Annahme:  $s < \infty$

$$s < 1 \cdot a_1 + \int_1^{\infty} f(x) dx \quad (3.156)$$

$$\int_1^{\infty} \frac{1}{x^2} = \lim_{B \rightarrow \infty} \int_1^B \frac{1}{x^2} dx = \dots = 1 \quad (3.157)$$

$\Rightarrow$  Die Reihe ist also konvergent:  $s < 2$

## Allgemein

$$s = a_1 + a_2 + a_3 + \dots + a_n + \dots \quad (3.158)$$

$s$  ist konvergent wenn  $\int_1^{\infty} f(x) dx < \infty$

$s$  ist divergent wenn  $\int_1^{\infty} f(x) dx$  divergiert mit  $f(x)$  als allgemeines Glied  $a_x$ .

## Majorantenkriterium

**Majorante:** Dominiert die gegebene Reihe  $s = \sum a_k$

Beispiel:

$$s = \sum_{k=1}^{\infty} \frac{1}{2k^3 + 1} \quad ak = \frac{1}{2k^3 + 1} \quad (3.159)$$

Majorante:  $b_k = \frac{1}{k^3}$  (dominiert  $a_k$ , es ist  $a_k < b_k \quad \forall k$ ). Konsequenz:

$$s = \sum_{k=1}^{\infty} a_k < \sum_{k=1}^{\infty} b_k \quad \text{ist konvergent} \quad (3.160)$$

$$\Rightarrow \sum_{k=1}^{\infty} a_k \quad \text{ist auch konvergent} \quad (3.161)$$

## Wurzelkriterium

Die Reihe  $\sum a_k$  ist konvergent, wenn

$$\lim_{k \rightarrow \infty} \sqrt[k]{a_k} < 1 \quad (3.162)$$

Die Reihe ist divergent, wenn

$$\lim_{k \rightarrow \infty} \sqrt[k]{a_k} > 1 \quad (3.163)$$

(mit  $a_k > 0$ ).

Wenn  $\lim_{k \rightarrow \infty} \sqrt[k]{a_k} = 1$  ist, dann kann keine Aussage gemacht werden, d.h. ein anderes Kriterium muss verwendet werden.

## Quotientenkriterium

Die Reihe ist konvergent wenn

$$\lim_{k \rightarrow \infty} \frac{a_{k+1}}{a_k} < 1 \quad (3.164)$$

und divergent wenn

$$\lim_{k \rightarrow \infty} \frac{a_{k+1}}{a_k} > 1 \quad (3.165)$$

mit  $a_k > 0 \quad \forall k$

Wenn  $\lim_{k \rightarrow \infty} \frac{a_{k+1}}{a_k} = 1$  ist, dann kann keine Aussage gemacht werden, d.h. ein anderes Kriterium muss verwendet werden.

### 3.18.4 Absolute- und bedingte Konvergenz

Absolut konvergente Reihen sind jene, für die  $\sum |a_k|$  konvergiert.

Wenn  $\sum |a_k|$  konvergent ist, ist auch  $\sum a_k$  konvergent.

Wenn  $\sum a_k$  konvergiert aber  $\sum |a_k|$  nicht konvergiert, dann ist die Reihe bedingt konvergent.

### 3.18.5 Alternierende Reihen

$(-1)^k \cdot a_k$  ergibt die alternierende Reihe

$$\sum (-1)^k a_k \quad (3.166)$$

Sie ist konvergent wenn

1.  $a_k$  monoton fallend ist.
2.  $\{a_k\}$  konvergent gegen Null ist (**Leibnizkriterium**).

### 3.18.6 Taylorpolynome und Taylorreihen in $x$

(Brook Taylor, 1685-1731)

Hat eine Funktion auf dem Intervall  $I = [0, x]$   $n + 1$  stetige Ableitungen, dann gilt:

$$f(x) = f(0) + \frac{f'(0)}{1!}x^1 + \frac{f''(0)}{2!}x^2 + \dots + \frac{f^{(n)}(0)}{n!}x^n + R_{n+1}(x) \quad (3.167)$$

$$R_{n+1}(x) = \frac{1}{n!} \int_0^x f^{(n+1)}(x-t)^n dt \quad \hat{=} \text{ Restglied} \quad (3.168)$$

$$R_{n+1}(x) = \frac{f^{(n+1)}(\xi)}{(n+1)!}x^{n+1} \quad \text{mit } \xi \in (0, x) \text{ oder } \xi \in (0, n) \quad (3.169)$$

$T_{n(x)}$ : Taylorpolynom  $n$ -ten Grades in  $x$

Kann die Taylorreihe für eine Funktion nicht um den Nullpunkt entwickelt werden, dann:

$$f(x) = \ln x \quad 0 \notin \mathbb{D}_f \quad \implies \quad \ln x + 1 \quad (3.170)$$

### 3.18.7 Taylorpolynom mehrdimensional

$$f(x,y) = f(x_0,y_0) + \begin{pmatrix} f_{x(x_0,y_0)} \\ f_{y(x_0,y_0)} \end{pmatrix} \begin{pmatrix} x - x_0 \\ y - y_0 \end{pmatrix} + \text{höhere Terme} \quad (3.171)$$

$$f(x,y) = f(x_0,y_0) + \frac{f_{x(x_0,y_0)}(x-x_0) + f_{y(x_0,y_0)}(y-y_0)}{1!} + \frac{f_{xx}(x-x_0)^2 + 2f_{xy}(x-x_0)(y-y_0) + f_{yy}(y-y_0)^2}{2!} + \dots \quad (3.172)$$

$$f(\vec{x}) = f(\vec{x}_0) + \frac{\nabla f(\vec{x}_0)}{1!}(\vec{x} - \vec{x}_0) + \dots \quad (3.173)$$

### 3.18.8 Taylorpolynom und Taylorreihe in $x - a$

Funktion  $f(x)$  an der Stelle  $a \hat{=} f(a)$ . Es wird nun eine Variablentransformation gemacht:

$$u = x - a \quad (3.174)$$

$$f(x) \mapsto g(u) \quad (3.175)$$

Taylorpolynom für  $g(u)$  um den Nullpunkt:

$$g(u) = T_{n(u)} + R_{n+1}(u) \quad (3.176)$$

Rücktransformation:

$$u = x - a \quad (3.177)$$

$$T_{n(u)} \implies T_{n(x)} \quad (3.178)$$

$$R_{n+1}(u) \implies R_{n+1}(x) \quad (3.179)$$

$$T_{n(x)} = \frac{f(a)}{0!}(x-a)^0 + \dots + \frac{f^{(n)}(a)}{n!}(x-a)^n \quad (3.180)$$

$$R_{n+1}(x) = \frac{f^{(n+1)}(\xi)}{(n+1)!}(x-a)^{n+1} \quad \text{mit } \xi \in (a, x) \text{ oder } \xi \in (x, a) \quad (3.181)$$

### 3.18.9 Potenzreihen

Vergleich: Taylorreihe vs. Potenzreihe Taylorreihe:

$$f(x_0) = \frac{f(x_0)}{0!}(x-x_0)^0 + \frac{f'(x_0)}{1!}(x-x_0)^1 + \dots \quad (3.182)$$

Potenzreihe:

$$a_0(x-x_0)^0 + a_1(x-x_0)^1 + a_2(x-x_0)^2 + \dots \quad (3.183)$$

**Satz** Ist die Potenzreihe  $\sum_{k=0}^{\infty} a_k \cdot x^k$  für ein  $x_1$  konvergent, dann ist sie für  $|x| < |x_1|$  konvergent (absolute Konvergenz).

$\Rightarrow$  Konvergenzradius

Analyse der Konvergenz mittels:

- Quotientenkriterium
- Wurzelkriterium
- Integralkriterium (Majoranten)
- Leibniz (alternierende Reihen)

**Satz** Konvergente Potenzreihen können Gliedweise differenziert und integriert werden.

Beispiel:

$$\int_0^{\infty} \frac{\sin x}{x} dx = \int_0^{\infty} \frac{\frac{x^1}{1!} - \frac{x^3}{3!} + \frac{x^5}{5!} - \dots}{x} dx \quad (3.184)$$

## 3.19 Konvergenzradius

### 3.19.1 Quotientenkriterium

Kriterium:

$$\lim_{n \rightarrow \infty} \left| \frac{b_{n+1}}{b_n} \right| < 1 \quad (3.185)$$

Konvergenzradius:

$$\rho = \lim_{n \rightarrow \infty} \left| \frac{a_n}{a_{n+1}} \right| \quad (3.186)$$

### 3.19.2 Wurzelkriterium

Kriterium:

$$\lim_{n \rightarrow \infty} \sqrt[n]{|b_n|} < 1 \quad (3.187)$$

Konvergenzradius:

$$\rho = \frac{1}{\lim_{n \rightarrow \infty} \sqrt[n]{|a_n|}} \quad (3.188)$$

**Achtung:** Analyse gilt im Intervall  $(-|x|, +|x|)$ . Analyse für die Werte  $\pm|x|$  muss separat durchgeführt werden.

## 3.20 Binominalreihen

$$(1+x)^\alpha = \binom{\alpha}{0} \cdot x^0 + \binom{\alpha}{1} \cdot x^1 + \binom{\alpha}{2} \cdot x^2 + \dots \quad (3.189)$$

$$\binom{\alpha}{k} = \frac{\alpha(\alpha-1)(\alpha-2) \dots [a-(k-1)]}{1 \cdot 2 \cdot 3 \cdot 4 \dots k} = \frac{n!}{k! \cdot (n-k)!} \quad (3.190)$$

## 3.21 Krümmungskreis

Definition:

$$\kappa = \frac{\partial \phi}{\partial s} \quad (3.191)$$

$$\kappa = \frac{y''}{[1 + (y')^2]^{\frac{3}{2}}} = \frac{\dot{x} \cdot \ddot{y} - \ddot{x} \cdot \dot{y}}{(x^2 + y^2)^{\frac{3}{2}}} \quad (3.192)$$

Der Mittelpunkt liegt auf der Senkrechten zur Berührungstangente.

Radius des Krümmungskreises:

$$\rho = \frac{1}{|\kappa|} \quad (3.193)$$

## 3.22 Funktionen mehrerer Variablen

Funktion welche mehrere Variablen als Unabhängige besitzt:

$$f(x_1, x_2, x_3) \quad (3.194)$$

$$f(x_i) \quad (3.195)$$

$$f : (x, y, z) \mapsto \dots \quad (3.196)$$

oder als Fläche 2. Ordnung:

$$\begin{pmatrix} x \\ y \\ z \end{pmatrix}^T \begin{pmatrix} A & \frac{D}{2} & \frac{E}{2} \\ \frac{D}{2} & B & \frac{F}{2} \\ \frac{E}{2} & \frac{F}{2} & C \end{pmatrix} \begin{pmatrix} x \\ y \\ z \end{pmatrix} = 0 \quad (3.197)$$

### 3.22.1 Höhenlinien, Niveauflächen

$$w = f(x, y, z) = A \cdot x + B \cdot y + C \cdot z + D \quad (3.198)$$

ist der Ort, an welchem das gleiche Niveau herrscht ( $w$  ist konstant,  $x, y, z$  variabel), und das überall.

## 3.23 Partielle Ableitungen

Schreibweise:

$$f(x, y) \quad (3.199)$$

$$\frac{\partial f}{\partial x} \hat{=} \text{partielle Ableitung nach } x \quad (3.200)$$

$$\frac{\partial f}{\partial y} \hat{=} \text{partielle Ableitung nach } y \quad (3.201)$$

$$(3.202)$$

Wird nach einer Variablen partiell differenziert, so sind die andern Variablen als konstant aufzufassen.

Partielle Ableitungen sind Grenzwerte:

$$\frac{\partial f}{\partial x} = \lim_{\Delta x \rightarrow 0} \frac{f(x + \Delta x, y) - f(x, y)}{\Delta x} \quad (3.203)$$

$$\frac{\partial f}{\partial y} = \lim_{\Delta y \rightarrow 0} \frac{f(x, y + \Delta y) - f(x, y)}{\Delta y} \quad (3.204)$$

$$(3.205)$$

### 3.23.1 Stetigkeit

Eine stetige Funktion mehrerer Variablen ist in jeder Variablen für sich stetig.

### 3.23.2 Satz

$$\frac{\partial^2 f}{\partial x \partial y} = \frac{\partial^2 f}{\partial y \partial x} \quad (3.206)$$

$$f_{xy} = f_{yx} \quad (3.207)$$

gilt wenn:

$$\frac{\partial f}{\partial x}, \frac{\partial f}{\partial y}, \frac{\partial^2 f}{\partial x \partial y}, \frac{\partial^2 f}{\partial y \partial x} \text{ stetig sind.} \quad (3.208)$$

## 3.24 Gradient

Der Gradient ist die Richtung des steilsten Anstiegs.

$$\text{sei } f : (x, y) \mapsto f(x, y) \quad (3.209)$$

$$\text{grad}(f) = \nabla f = \vec{x}' = (x', y') \quad (3.210)$$

$\nabla$  : Nabla-Operator, partielle Ableitung nach jeder Variablen.

### 3.24.1 Satz

$$\nabla(\alpha \cdot f + \beta \cdot g) = \alpha \cdot \nabla f + \beta \cdot \nabla g \quad (3.211)$$

## 3.25 Richtungsableitung

Die Richtungsableitung entspricht dem Tangens des Steigungswinkels der Tangente, deren Projektion auf den Grundriss mit der vorgegebenen Richtung  $\vec{u}$  zusammenfällt.

### 3.25.1 Satz

$$f'_{\vec{u}}(\vec{x}) = \nabla f \circ \vec{u} \quad \text{mit } \|\vec{u}\| = 1 \quad (3.212)$$

### 3.25.2 Satz

Für 2 beliebige Punkte  $A$  und  $B$  einer zusammenhängenden Menge gibt es einen verbindenden Polygonzug.

### 3.25.3 Satz

$$\nabla f = \vec{0} \quad \implies f \quad \text{konstant} \quad (3.213)$$

### 3.25.4 Satz

$$\nabla f = \nabla g \quad \implies f \quad \text{und} \quad g \quad \text{unterscheiden sich nur durch eine Konstante} \quad (3.214)$$

### 3.25.5 Zwischenwertsatz

$f$  stetig auf zusammenhängender Menge, dann wird falls  $f(\vec{a}) = a$ ,  $f(\vec{b}) = b$  jeden Wert zwischen  $a$  und  $b$  angenommen.  $c$  liegt zwischen  $a$  und  $b$ . Daraus folgt:

$$\exists \vec{c} \quad \text{so dass} \quad f(\vec{c}) = c \quad (3.215)$$

## 3.26 Ableitung entlang einer Kurve

$$\frac{\partial}{\partial t} f(\vec{r}(t)) = \nabla f(\vec{r}(t)) \circ \dot{\vec{r}}(t) \quad (3.216)$$

### 3.26.1 Satz

$$u_{(x,y)} = u(x(s,t), y(s,t)) \quad (3.217)$$

$$\frac{\partial u}{\partial s} = \frac{\partial u}{\partial x} \cdot \frac{\partial x}{\partial s} + \frac{\partial u}{\partial y} \cdot \frac{\partial y}{\partial s} \quad (3.218)$$



### 3.27 Maxima und Minima

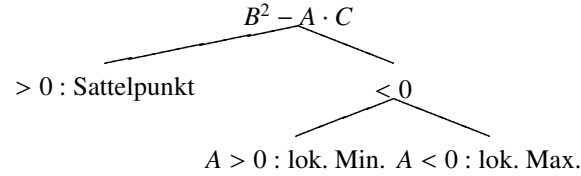
Mehrdimensional: in dem max. bzw. min. Stellen ist die Tangentialebene horizontal:

$$\nabla f \perp \text{ auf Grundriss} \iff \nabla f = \underline{0} \tag{3.219}$$

Sattel: horizontale Tangentialfläche aber keine lokales Maximum oder Minimum.

Komponentenschreibweise der Tangentialfläche:

$$Ax + By + Cz + D = 0 \tag{3.220}$$



### 3.28 Lagrange-Funktion

Extremwerte mit Nebenbedingungen.

$$\begin{array}{ll}
 g_1(x_1, \dots, x_n) = 0 & \text{1. Nebenbedingung} \\
 g_2(x_1, \dots, x_n) = 0 & \text{2. Nebenbedingung} \\
 \vdots & \\
 g_m(x_1, \dots, x_n) = 0 & \text{m. Nebenbedingung} \\
 f(x_1, \dots, x_n) & \text{zu min. oder max. Funktion}
 \end{array}$$

$$L(x_1, \dots, x_n, \lambda_1, \dots, \lambda_m) = f(x_1, \dots, x_n) + \sum_{i=1}^m \lambda_i + g_i(x_1, \dots, x_n) \tag{3.221}$$

### 3.29 Differentiale

Eindimensional:

$$df = f'(x)dx \tag{3.222}$$

Zweidimensional:

$$df = \frac{\partial f}{\partial x} dx + \frac{\partial f}{\partial y} dy \tag{3.223}$$

Dreidimensional:

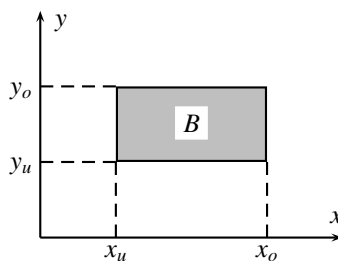
$$df = \frac{\partial f}{\partial x} dx + \frac{\partial f}{\partial y} dy + \frac{\partial f}{\partial z} dz \tag{3.224}$$

### 3.30 Integrale

#### 3.30.1 Doppelintegrale

$$I = \iint_B f(x, y) dx dy \tag{3.225}$$

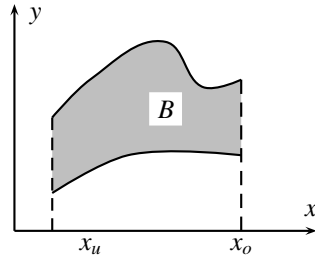
Doppelintegral über Rechteck:



$$I = \iint_{\mathbb{B}} f(x, y) dx dy \quad (3.226)$$

$$I = \int_{x=x_u}^{x_o} \left( \int_{y=y_u}^{y_o} f(x, y) dy \right) dx = \int_{y=y_u}^{y_o} \left( \int_{x=x_u}^{x_o} f(x, y) dx \right) dy \quad (3.227)$$

Doppelintegral über beliebigem Bereich:



$$I = \int_{x=x_u}^{x_o} \left( \int_{y=h(x)}^{g(x)} f(x, y) dy \right) dx \quad (3.228)$$

Die Grenzen des inneren Integrals sind Funktionen des äusseren Integrals.

Liegt ein allgemeiner Integrationsbereich vor, welcher nicht klare Grenzen in einer Achse bietet, so muss der Bereich unterteilt werden (sinnvolle Unterteilung!).

Das Koordinatensystem muss nicht unbedingt *kartesisch* sein. Polarkoordinaten erweisen sich als sehr nützlich → sie vereinfachen die Rechnung teilweise erheblich! Beispiel: Volumen eines Kreiskegels.

Anwendungen:

- Massenberechnung:  $M = \iint_{\mathbb{B}} \rho(x, y) dx dy$
- Schwerpunkt:  $x_s \cdot M = \iint_{\mathbb{B}} x \cdot \rho(x, y) dx dy$       $y_s \cdot M = \iint_{\mathbb{B}} y \cdot \rho(x, y) dx dy$

### 3.30.2 Dreifachintegrale

$$I = \iiint_{\mathbb{V}} f(x, y, z) dx dy dz \quad (3.229)$$

$$I = \int_x \left( \int_y \left( \int_z f(x, y, z) dz \right) dy \right) dx \quad (3.230)$$

Die Reihenfolge der Integrale hängt von den Integrationsgrenzen ab, sie kann aber im Prinzip frei gewählt werden. Tipp: einfachste Reihenfolge wählen, sowohl bezüglich Grenzen als auch den Integralen.

### 3.30.3 Mehrfachintegrale

Variablensubstitution

$$I = \iint_{\mathbb{B}} f(x, y) dx dy = \iint_{\mathbb{B}} f(x(u, v), y(u, v)) \cdot |D| du dv \quad (3.231)$$

$D$  ist die Funktionaldeterminante oder *Jacobi-Determinante*:

$$D = \left| \det \begin{pmatrix} x_u & x_v \\ y_u & y_v \end{pmatrix} \right|$$

### Koordinatentransformation 2D

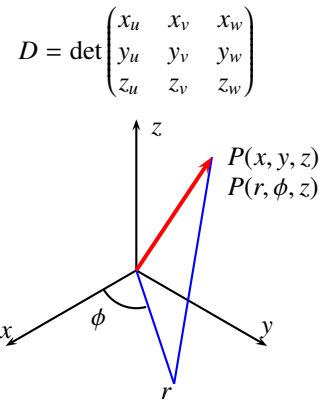
Cartesische Koordinaten:  $x, y$  → Polare Koordinaten:  $r, \phi$

$$x = r \cdot \cos(\phi)$$

$$y = r \cdot \sin(\phi)$$

$$D = r$$

Hier wird die Funktionaldeterminante entsprechend komplizierter (3x3 Matrix):



Cartesische Koordinaten:  $x, y, z \rightarrow$  Zylindrische Koordinaten:  $r, \phi, z$

$$x = r \cdot \cos(\phi)$$

$$y = r \cdot \sin(\phi)$$

$$z = z$$

$$\Rightarrow |D| = r$$

Cartesische Koordinaten:  $x, y, z \rightarrow$  Kugel- oder Sphärische Koordinaten:  $r, \phi, \rho$

$$x = r \cdot \sin(\rho) \cdot \cos(\phi)$$

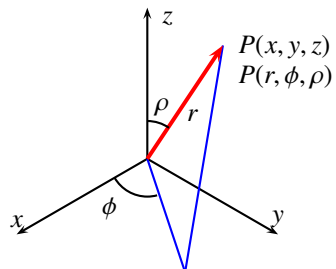
$$y = r \cdot \sin(\rho) \cdot \sin(\phi)$$

$$z = r \cdot \cos(\rho)$$

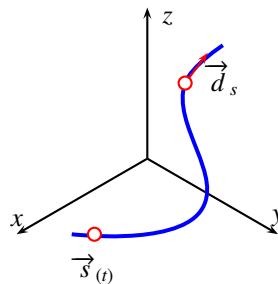
mit

$$0 \leq \rho \leq \pi \quad \text{und} \quad 0 \leq \phi \leq \pi$$

$$\Rightarrow D = -r^2 \cdot \sin(\rho)$$



### 3.30.4 Kurvenintegrale



$$\vec{ds} = \dot{\vec{s}} \cdot dt$$

(3.232)

$$E = \oint dE = \oint \vec{k} \circ \vec{ds} = \int_{t_0}^{t_1} (\vec{k}_{(\vec{s}(t))} \circ \dot{\vec{s}}(t)) dt$$

(3.233)

## Hauptsatz für Kurvenintegrale

Entspricht das Kraftfeld  $\vec{k}$  dem Gradientenfeld, dann ist das Wegintegral zwischen zwei Punkten vom Weg unabhängig.

## 3.31 Differentialgleichungen (DGL)

### 3.31.1 Definition

Gewöhnliche Differentialgleichungen (DGL):

$$F(y(x), y'(x), y''(x), \dots, y^{(n)}(x), x) = 0 \quad (3.234)$$

entspricht einer Gleichung mit einer unabhängigen Variablen. Beispiel:  $y'' + 5x = 0$

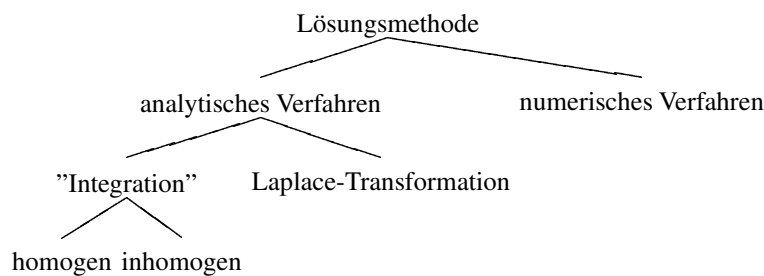
Definition: Die Ordnung der DGL entspricht der höchsten vorkommenden Ableitung.

Definition: Lineare DGL:  $y$  und deren Ableitungen treten ausschliesslich in der 1. Potenz auf.

Definition: Die Lösung der DGL ist eine Funktion welche die DGL erfüllt.

Die Konstanten sind Integrationskonstanten und werden mit Hilfe der Anfangs- und Randbedingungen bestimmt.

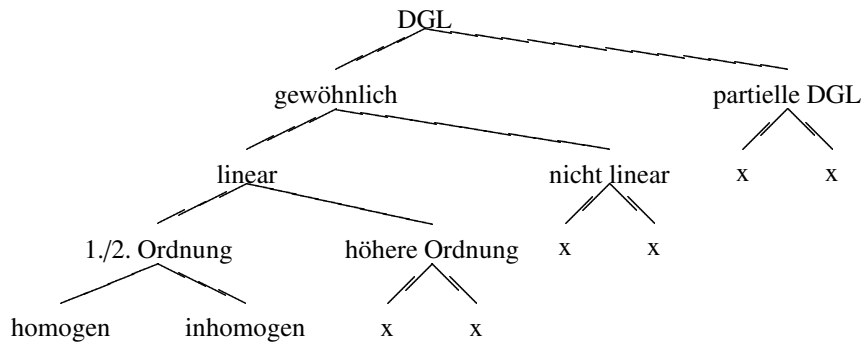
Definition: die Lösungsmethode ist ein Verfahren zur Gewinnung einer Lösung. Übersicht:



homogen: direkt, Separation, Substitution oder Ansatz

inhomogen: Ansatz, Variation der Konstanten, Reihenansatz

Lösungsmethoden sind nicht generell anwendbar, sondern vom Typ der DGL abhängig:



Dieser Baum ist symmetrisch aufgebaut, d.h. jeder mit 'x' gekennzeichnete Teilbaum hat die gleiche Struktur.

### 3.31.2 Fundamentalsatz

Die allgemeine Lösung einer linearen DGL ergibt sich durch Addition der allgemeinen Lösung, der homogenen Lösung und einer partikulären Lösung der inhomogenen DGL (spezielle oder partikuläre Lösung).

### 3.31.3 Satz:

Die homogene Lösung einer DGL  $n$ -ter Ordnung besteht aus  $n$  linear unabhängigen Komponenten.

### 3.31.4 Definition

$n$  Funktionen  $y_1(x), \dots, y_n(x)$  sind linear unabhängig, wenn es  $n$  Konstanten  $c_1, \dots, c_n$  gibt, mit  $c_1 y_1 + c_2 y_2 + \dots + c_n y_n = 0$  für mindestens ein  $x$ , wobei nicht alle  $c_i = 0$ !

### 3.31.5 Satz:

Die Funktionen  $y_1(x), \dots, y_n(x)$  seien differenzierbar. Sie sind linear unabhängig  $\iff$  Wronski-Determinante  $\neq 0$ .

### 3.31.6 Definition: Wronski-Determinante

$$W(y_1, \dots, y_n) = \det \begin{pmatrix} y_1 & \dots & y_n \\ y_1' & \dots & y_n' \\ \vdots & & \vdots \\ y_1^{(n-1)} & \dots & y_n^{(n-1)} \end{pmatrix} \quad (3.235)$$

### 3.31.7 DGL mit separierbaren Variablen

#### Definition

separierbare DGL (1. Ordnung)  $\hat{=}$   $y' = f(x) \cdot g(y)$

Allgemeine Lösung:

$$\begin{aligned} \frac{y'}{g(y)} &= f(x) \\ \implies \int \frac{dy}{g(y)} &= \int f(x) dx \\ \implies G(y) = F(x) &\longrightarrow \text{Auflösung nach } y \end{aligned}$$

Regel:

1. Trennung der Variablen, d.h.:  $G(y) dy = F(x) dx$
2. Integration
3. Auflösung nach  $y$

### 3.31.8 DGL vom Typ $y' = f(ax + by + c)$

Kann durch Substitution  $u = ax + by + c$  auf eine separierbare Form gebracht werden:

$$y' = f(ax + by + c)$$

Substitution:

$$u = ax + by + c \implies u' = a + by'$$

dann ist

$$\begin{aligned} u' &= a + b \cdot f(u) \\ \frac{du}{dx} &= a + b \cdot f(u) \\ \int \frac{du}{a + b \cdot f(u)} &= \int dx = \boxed{x + c} \end{aligned}$$

Regel:

1. Substitution  $u = ax + by + c$
2. DGL in  $u$  bzw.  $u'$  formulieren
3. DGL lösen (separierbar)
4. Substitution auflösen und  $y$  bestimmen

### 3.31.9 DGL vom Typ $y' = \frac{y}{x}$

Regel:

1. Wahl der Substitution  $u = \frac{y}{x}$
2. DGL in  $u$  bzw.  $u'$  formulieren
3. DGL lösen (separierbar)
4. Substitution auflösen und  $y$  bestimmen

### 3.31.10 Lineare DGL 1. Ordnung

Allgemein

$$y' = y \cdot g(x) + h(x)$$

1. Lösung der homogenen DGL:  $y' - y \cdot g(x) = 0$  ist separierbar  $\implies y_h = \dots$
2. Lösung der inhomogenen DGL:  $y' - y \cdot g(x) = h(x)$ 
  - (a) Variation der Konstanten
  - (b) Ansatz vom Typ der Störfunktion $\implies y_{ih} = \dots$
3.  $y = y_h + y_{ih}$   
Bestimmung der Konstanten mit Hilfe der Anfangs- oder Randbedingungen

**Variation der Konstanten**

$$y' = y + \sin(x) \quad y(0) = 1$$

homogen:

$$y_h = c \cdot e^x$$

inhomogen:

$$\begin{aligned} \text{Ansatz: } y_{ih} &= k(x) \cdot e^x \\ y' &= k' \cdot e^x + k \cdot e^x \end{aligned}$$

eingesetzt:

$$\begin{aligned} k' \cdot e^x + k \cdot e^x &= k \cdot e^x + \sin(x) \\ k' &= e^{-x} \cdot \sin(x) \\ k(x) &= \int e^{-x} \cdot \sin(x) dx \\ &= \frac{e^{-x}}{2} (-\sin(x) - \cos(x)) + c \\ \implies y_{ih} &= k(x) \cdot e^x = \frac{1}{2} [-\sin(x) - \cos(x)] + c \cdot e^x \end{aligned}$$

## Ansatz vom Typ der Störfunktion

Funktioniert wie bei den Differenzgleichungen. Ansätze für Störfunktionen:

Störfunktion	Ansatz
$\beta^t$	$A \cdot \beta^t$
$\sin(\alpha t)$	$A \cdot \cos(\alpha t) + B \cdot \sin(\alpha t)$
$\cos(\alpha t)$	$A \cdot \cos(\alpha t) + B \cdot \sin(\alpha t)$
Polynom $P_m(t)$	$A_0 \cdot t^m + A_1 \cdot t^{m-1} + \dots + A_m$
$\beta^t \cdot P_m(t)$	$\beta^t \cdot (A_0 \cdot t^m + A_1 \cdot t^{m-1} + \dots + A_m)$
$\beta^t \cdot \sin(\alpha t)$	$\beta^t \cdot (A \cdot \cos(\alpha t) + B \cdot \sin(\alpha t))$
$\beta^t \cdot \cos(\alpha t)$	$\beta^t \cdot (A \cdot \cos(\alpha t) + B \cdot \sin(\alpha t))$

### 3.31.11 DGL höherer Ordnung

Allgemeine DGL 2. Ordnung:

$$a(x) \cdot y'' + b(x) \cdot y' + c(x) \cdot y = y(x) \quad (3.236)$$

homogene DGL: **nicht separierbar!**  $\rightarrow$  charakteristisches Polynom

Ansatz:  $y_h = c \cdot e^x$ , bei doppelten Nullstellen:  $y_h = c \cdot x \cdot e^x$ , bei dreifachen Nullstellen:  $y_h = c \cdot n^2 \cdot e^x$

Beispiel:  $y'' - 8y' + 16y = 0$  (Nullstellen: 4, 4)

$$\Rightarrow y_h = c_1 \cdot e^{4x} + c_2 \cdot x \cdot e^{4x}$$

Beispiel: Nullstellen:  $-2 \pm 3j$

$$y_h = c_1 \cdot e^{-2x} \cdot e^{3j} + c_2 \cdot e^{-2x} \cdot e^{-3j}$$

$$\Rightarrow y_h = c_1 \cdot e^{-2x} \cos(3x) + c_2 \cdot e^{-2x} \cdot \sin(3x)$$

### 3.31.12 DGL-Systeme

Jede lineare DGL höherer Ordnung lässt sich auf ein DGL-System 1. Ordnung zurückführen (und umgekehrt).

Beispiel:  $y^{(4)} - 16 \cdot y = e^x$

$$z_1(x) = y(x)$$

$$z_2(x) = y'$$

$$\vdots$$

$$z_5(x) = y^{(4)}$$

$$\Rightarrow z_4' - 16 \cdot z_1 = e^x$$

$$\vec{z}' = \begin{pmatrix} z_1 \\ z_2 \\ z_3 \\ z_4 \end{pmatrix} = \begin{pmatrix} 0 & 1 & 0 & 0 \\ 0 & 0 & 1 & 0 \\ 0 & 0 & 0 & 1 \\ 16 & 0 & 0 & 0 \end{pmatrix} \begin{pmatrix} z_1 \\ z_2 \\ z_3 \\ z_4 \end{pmatrix} + \begin{pmatrix} 0 \\ 0 \\ 0 \\ e^x \end{pmatrix}$$

$$\vec{z}' = A \cdot \vec{z} + \vec{g}$$

## 3.32 Laplace-Transformation

### 3.32.1 Definition

$$f(t) \mapsto \int_0^{\infty} f(t) \cdot e^{-st} dt = F(s) \quad (3.237)$$

Laplace-Transformation oder Integral-Transformation

$f(t) \hat{=} \text{Zeitfunktion } \mathbb{D}_f = \mathbb{R}_0^+$

$F(s) \hat{=} \text{Laplace-Transformierte von } f$

Kurzschreibweise:

$$f(t) \circ \bullet F(s)$$

$$\begin{array}{c} \mathcal{L} \\ f \circ \bullet F \end{array}$$

$$F(s) = \mathcal{L}(f(t))$$

**Satz**

Jede stetige auf  $[0, \infty)$  definierte Zeitfunktion  $f(t)$ , die durch eine Exponentialfunktion begrenzt ist, kann transformiert werden.

**Satz**

$$\lim_{s \rightarrow \infty} F(s) = 0 \quad (3.238)$$

### 3.32.2 Eigenschaften

**Linearität**

$$\mathcal{L}(c_1 \cdot f_1(t) + c_2 \cdot f_2(t)) = c_1 \cdot F_1(s) + c_2 \cdot F_2(s) \quad (3.239)$$

**Variablentransformation**

$$f(t) \circ \bullet F(s) \iff f(a \cdot t) \circ \bullet \frac{1}{a} \cdot F\left(\frac{s}{a}\right) \quad \text{für } a > 0 \quad (3.240)$$

Verschiebungssatz im Bildbereich:

$$f(t) \circ \bullet F(s) \iff e^{at} \cdot f(t) \circ \bullet F(s - a) \quad (3.241)$$

Verschiebungssatz im Zeitbereich:

$$f(t) \circ \bullet F(s) \iff f(t - a) \circ \bullet e^{-sa} \cdot F(s) \quad \text{für } a > 0 \quad (3.242)$$

**Differentiation im Zeitbereich**

$$f(t) \circ \bullet F(s) \iff f'(t) \circ \bullet s \cdot F(s) - f(0) \quad (3.243)$$

$$f(t) \circ \bullet F(s) \iff f^{(n)}(t) \circ \bullet s^n \cdot F(s) - s^{n-1} \cdot f(0) - \dots - f^{(n-1)}(0) \quad (3.244)$$

**Integration im Zeitbereich**

$$f(t) \circ \bullet F(s) \iff \int_0^t f(\tau) d\tau \circ \bullet \frac{1}{s} F(s) \quad (3.245)$$

$$t^n \circ \bullet \frac{n!}{s^{n+1}} \quad (3.246)$$

**Differentiation im Bildbereich**

$$F(s) \bullet \circ f(t) \iff \frac{d^n}{ds^n} F(s) \bullet \circ (-1)^n \cdot t^n \cdot f(t) \quad (3.247)$$



## Integration im Bildbereich

$$f(t) \circ \bullet F(s) \iff \frac{1}{t} f(t) \circ \bullet \int_s^\infty F(u) du \quad (3.248)$$

## Periodische Funktionen

$f(t)$  in  $T$  periodisch.

$$f(t) \circ \bullet F(s) = \int_0^T e^{-s\tau} \cdot f(\tau) d\tau \cdot \frac{1}{1 - e^{-sT}} \quad (3.249)$$

## Grenzwerte

$$f(0) = \lim_{s \rightarrow \infty} s \cdot F(s) \quad f(\infty) = \lim_{s \rightarrow 0} s \cdot F(s) \quad (3.250)$$

## Faltung

$$f(t) * g(t) = \int_0^t f(u) \cdot g(t-u) du \quad (3.251)$$

$$f(t) * g(t) \circ \bullet F(s) \cdot G(s) \quad (3.252)$$

### 3.32.3 Rationale Bildfunktionen

$$F(s) = \frac{Q(s)}{P(s)} \quad \text{Grad Zähler } < \text{ Grad Nenner} \quad (3.253)$$

## Rücktransformation

$$\frac{Q(s)}{P(s)} = F(s) \bullet \circ f(t)$$

Annahme:  $P(s)$  hat einfache Nullstellen  $s_i$

$$\implies F(s) = \frac{Q(s)}{P(s)} = \frac{A_1}{s - s_1} + \frac{A_2}{s - s_2} + \dots + \frac{A_n}{s - s_n}$$

$$\text{mit } A_i = F(s) \cdot (s - s_i) \quad \text{mit } s = s_i$$

$$\frac{A_i}{s - s_i} \bullet \circ A_i \cdot e^{s_i t} \begin{cases} s_i \text{ ist reell} & \implies A_i \cdot e^{s_i t} \text{ ist reell} \\ s_i \text{ komplex; } s_i = x + j\beta & \end{cases}$$

Im komplexen Fall:

$$\begin{aligned} \frac{A_i}{s - s_i} + \frac{\bar{A}_i}{s - \bar{s}_i} & \bullet \circ A_i \cdot e^{s_i t} + \bar{A}_i \cdot e^{\bar{s}_i t} \\ & = c_1 \cdot e^{\alpha t} \cdot \cos(\beta \cdot t) + c_2 \cdot e^{\alpha t} \cdot \sin(\beta \cdot t) \end{aligned}$$

### 3.32.4 Lösen einer DGL

1. Laplace-Transformation der DGL in eine gewöhnliche Gleichung
2. Lösen der Gleichung
3. Rücktransformation mit Erhalt der Lösung der DGL

### 3.32.5 Lineare DGL mit variablen Koeffizienten

Allgemeine Form:

$$A(t) \cdot y^{(m)}(t) + B(t) \cdot y^{(m-1)}(t) + \dots + N(t) \cdot y(t) = g(t) \quad (3.254)$$

Herleitung allgemeiner Term:

$$f(t) \circ \bullet \rightarrow F(s)$$

Differentiation im Bildbereich:

$$(-1)^n \cdot t^n \cdot f(t) \circ \bullet \rightarrow \frac{d^n}{ds^n} F(s)$$

Differentiation im Zeitbereich:

$$f^{(k)} \circ \bullet \rightarrow s^k \cdot F(s) - s^{k-1} \cdot f(0) - s^{k-2} \cdot f'(0) - \dots - f^{(k-1)}(0)$$

$$\Rightarrow (-1)^n \cdot t^n \cdot k^{(k)}(t) \circ \bullet \rightarrow \frac{d^n}{ds^n} (s^k \cdot F(s) - s^{k-1} \cdot f(0) - \dots - f^{(k-1)}(0))$$

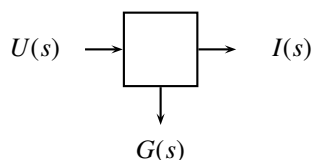
### 3.32.6 Elektrische Schwingkreise

R	$r \cdot i(t)$	$R \cdot I(s)$
C	$\frac{1}{C} \cdot \int_0^t i(\tau) d\tau$	$\frac{1}{C} \cdot \frac{I(s)}{s}$
L	$L \cdot \frac{di}{dt}$	$L \cdot (s \cdot I(s) - i(0))$
Problem	$u(t) \rightarrow \square \rightarrow i(t)$	$U(s) \rightarrow \square \rightarrow I(s)$

Definition: eine Übertragungsfunktion ist jene Funktion, die eine Anregungsfunktion  $u(t)$  in eine Antwort  $i(t)$  verwandelt.

Definition: eine Übertragung heisst **linear**, wenn im Bildbereich die Antwort aus einer Multiplikation von Anregungs- und Übertragungsfunktion (beide Laplace-Transformiert) berechnet werden kann.

Illustration:

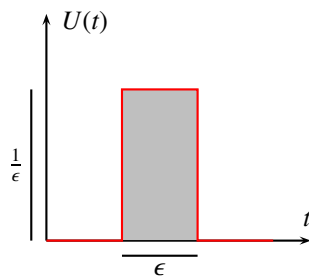


Prinzip von Duhamel:

$$i(t) = \int_0^t g_{(t-\tau)} \cdot u(\tau) d\tau \quad (3.255)$$

Behauptung:

$$\mathcal{L}^{-1}(u(s)) = \mathcal{L}^{-1}(1) \hat{=} \text{Einheitsstoss}$$



### 3.33 Fourier-Reihen

Eine beliebige periodische Funktion lässt sich aus anderen Periodischen zusammensetzen.

### 3.33.1 Fourier-Reihe

$$f \mapsto \sum_{k=0}^{\infty} [a_k \cdot \cos(\omega_k \cdot t) + b_k \cdot \sin(\omega_k \cdot t)] \quad (3.256)$$

### 3.33.2 Wavelets

$$f \mapsto \sum_{i=0}^{\infty} c_i \cdot y_i \quad (3.257)$$

### 3.33.3 Skalarprodukt zweier Funktionen

$$\vec{f} \circ \vec{g} = \int_0^{2\pi} f(t) \cdot g(t) dt \quad (3.258)$$

mit  $\vec{f} = \begin{pmatrix} f(0) \\ \vdots \\ f(2\pi) \end{pmatrix}$  und  $\vec{g} = \begin{pmatrix} g(0) \\ \vdots \\ g(2\pi) \end{pmatrix}$

### 3.33.4 Entwicklung einer $2\pi$ -per. Funktion in eine Fourier-Reihe

$f(t)$  ist  $2\pi$ -periodisch. Ansatz:

$$f(t) = \frac{a_0}{2} + \sum_{k=1}^{\infty} [a_k \cdot \cos(kt) + b_k \cdot \sin(kt)]$$

Skalarmultiplikation mit  $\cos(0 \cdot t) = 1$ :

$$\begin{aligned} \int_0^{2\pi} f(t) \cdot 1 dt &= \int_0^{2\pi} \left( \frac{a_0}{2} + \sum_{k=1}^{\infty} [a_k \cdot \cos(kt) + b_k \cdot \sin(kt)] \right) dt \\ \Rightarrow a_0 &= \frac{1}{\pi} \int_0^{2\pi} f(t) dt \\ a_k &= \frac{1}{\pi} \int_0^{2\pi} f(t) \cdot \cos(kt) dt \\ b_k &= \frac{1}{\pi} \int_0^{2\pi} f(t) \cdot \sin(kt) dt \end{aligned}$$

### 3.33.5 Entwicklung einer $t$ -per. Funktion in eine Fourier-Reihe

$$\frac{a_0}{2} + \sum_{k=1}^{\infty} \left[ a_k \cdot \cos\left(k \frac{2\pi}{T} \tau\right) + b_k \cdot \sin\left(k \frac{2\pi}{T} \tau\right) \right] \quad (3.259)$$

$$\begin{aligned} \Rightarrow a_0 &= \frac{2}{T} \int_0^T f(\tau) d\tau \\ a_k &= \frac{2}{T} \int_0^T f(\tau) \cdot \cos\left(k \frac{2\pi}{T} \tau\right) d\tau \\ b_k &= \frac{2}{T} \int_0^T f(\tau) \cdot \sin\left(k \frac{2\pi}{T} \tau\right) d\tau \end{aligned}$$

### 3.33.6 Grundfrequenz, Harmonische

$$\text{Grundfrequenz: } \omega = \frac{2\pi}{T} \quad (3.260)$$

$$\text{k-te harmonische Frequenz: } \omega_k = k \cdot \frac{2\pi}{T} = k \cdot \omega \quad (3.261)$$

$$f(t) = \frac{a_0}{2} + \sum_{k=1}^{\infty} [a_k \cdot \cos(\omega_k t) + b_k \cdot \sin(\omega_k t)]$$

mit

$$a_k = \frac{2}{T} \int_{(T)} f(t) \cdot \cos(\omega_k t) dt \quad \text{für } k = 0, 1, 2, \dots$$

$$b_k = \frac{2}{T} \int_{(T)} f(t) \cdot \sin(\omega_k t) dt \quad \text{für } k = 1, 2, \dots$$

### 3.33.7 Komplexe Fourier-Reihe

$$f(t) = e^{j\omega_k t} \frac{a_k - jb_k}{2} + e^{-j\omega_k t} \frac{a_k + jb_k}{2} \quad (3.262)$$

$$= e^{j\omega_k t} c_k + e^{-j\omega_k t} c_{-k} \quad (3.263)$$

$$c_k = \frac{1}{T} \int_{(T)} f(t) \cdot e^{j\omega_k t} dt \quad (3.264)$$

$$c_{-k} = \frac{1}{T} \int_{(T)} f(t) \cdot e^{-j\omega_k t} dt \quad (3.265)$$

$$(3.266)$$

### 3.33.8 Fourier-Transformation

$$f(t) = \frac{1}{2\pi} \int_{-\infty}^{+\infty} F(\omega) \cdot e^{j\omega t} d\omega \quad F(\omega) = \int_{-\infty}^{+\infty} f(\tau) \cdot e^{-j\omega \tau} d\tau$$

$f(t)$  : Zeitfunktion

$F(\omega)$  : Spektralfunktion

#### Variante 1

$$F(\omega) = \int_{-\infty}^{+\infty} f(t) \cdot e^{-j\omega t} dt \quad (3.267)$$

$$f(t) = \frac{1}{2\pi} \int_{-\infty}^{+\infty} F(\omega) \cdot e^{j\omega t} d\omega \quad (3.268)$$

$\omega$  : Kreisfrequenz

$f(t)$  : Zeitfunktion, Signalfunktion, Signal

$F(\omega)$  : Frequenzfunktion, Spektralfunktion

#### Variante 2

$$H(f) = \int_{-\infty}^{+\infty} h(t) \cdot e^{-2\pi j f t} dt \quad (3.269)$$

$$h(t) = \int_{-\infty}^{+\infty} H(f) \cdot e^{-2\pi j f t} df \quad (3.270)$$

### Variante 3

$$F(\omega) = \frac{1}{\sqrt{2\pi}} \int_{-\infty}^{+\infty} f(t) \cdot e^{-j\omega t} dt \quad (3.271)$$

$$f(t) = \frac{1}{\sqrt{2\pi}} \int_{-\infty}^{+\infty} F(\omega) \cdot e^{-j\omega t} d\omega \quad (3.272)$$

### 3.33.9 Fourier-Integral

$$F = \int_{-\infty}^{+\infty} f(t) \cdot e^{j\omega t} dt = \operatorname{Re}_{(F)} + j \cdot \operatorname{Im}_{(F)} = |F| \cdot e^{j\Phi} \quad (3.273)$$

$\omega \mapsto |F| \hat{=} \text{Amplitudenspektrum}$

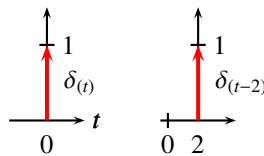
$\omega \mapsto \Phi \hat{=} \text{Phasenspektrum}$

### 3.33.10 Dirac

#### Definition

Dirac-Funktion oder auch Delta-Funktion:

$$\delta_{(t)} = \begin{cases} \infty & t = 0 \\ 0 & \text{sonst} \end{cases} \quad \text{mit} \quad \int_{-\infty}^{+\infty} \delta_{(t)} dt = 1 \quad (3.274)$$



#### Alternative Definition

$$\int_{-\infty}^{+\infty} \delta_{(t)} \cdot \phi_{(t)} dt = \phi_{(u)} \quad (3.275)$$

mit  $\phi_{(u)}$  als sog. Testfunktion  $\lim_{t \rightarrow \pm\infty} \phi_{(t)} = 0$

$$\text{es ist } \phi_{(t_0)} = \int_{-\infty}^{+\infty} \delta_{(t-t_0)} \cdot \phi_{(t)} dt$$

#### Eigenschaften

$$f_{(t)} \cdot \delta_{(t)} = f_{(0)} \cdot \delta_{(t)} \quad (3.276)$$

$$t \cdot \delta_{(t)} = 0 \quad (3.277)$$

$$\delta_{(a-t)} = \frac{1}{|a|} \delta_{(t)} \quad (3.278)$$

$$\delta_{(-t)} = \delta_{(t)} \quad (3.279)$$

## Differentiation der Dirac-Funktion

→ partielle Integration

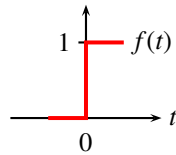
$$\delta'_{(t)} = \frac{\partial}{\partial t} \delta_{(t)} \hat{=} \text{Distributionsfunktion} \quad \text{Wirkung:} \quad \int_{-\infty}^{+\infty} \delta'_{(t)} \cdot \phi_{(t)} dt = -\phi'_{(0)}$$

$$\frac{\partial^n}{\partial t^n} \delta_{(t)} = \delta_{(t)}^{(n)} \quad \text{Wirkung:} \quad \int_{-\infty}^{+\infty} \delta_{(t)}^{(n)} \cdot \phi_{(t)} dt = (-1)^n \cdot \phi_{(0)}^{(n)}$$

## Produktregel für Diracfunktion

$$(f_{(t)} \cdot \delta_{(t)})' = f'_{(t)} \cdot \delta_{(t)} + f_{(t)} \cdot \delta'_{(t)} = -f_{(0)} \cdot \phi'_{(0)} \quad (3.280)$$

## Heavyside-Funktion



$$f_{(t)} = \begin{cases} 1 & \text{für } t > 0 \\ 0 & \text{sonst} \end{cases} \quad (3.281)$$

$$\delta_{(t)} = \frac{\partial}{\partial t} u_{(t)}$$

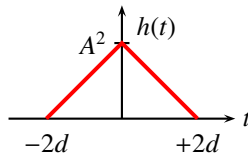
## Rechteckimpuls

$$h_{(t)} = \begin{cases} A & |t| < d \\ 0 & \text{sonst} \end{cases} \quad (3.282)$$

$$H_{(f)} = 2Ad \cdot \frac{\sin(2\pi f d)}{2\pi f d} \quad (3.283)$$

## Dreiecksimpuls

$$H_{(f)} = \frac{A^2}{2\pi^2 f^2 d} \cdot \sin(2\pi f d) \quad (3.284)$$



## 3.33.11 Eigenschaften

### Linearität

$$F(a_1 h_1(t) + a_2 h_2(t)) = a_1 \cdot F(h_1(t)) + a_2 \cdot F(h_2(t)) \quad (3.285)$$

$$a_1 h_1(t) + a_2 h_2(t) \circ \bullet a_1 H_1(f) + a_2 H_2(f) \quad (3.286)$$

### Symmetrie

$$h_{(t)} \circ \bullet H_{(f)} \implies H_{(t)} \bullet \circ h_{(-f)} \quad (3.287)$$

## Zeitskalierung

$$h_{(t)} \circ \bullet H_{(f)} \implies h_{(kt)} \circ \bullet \frac{1}{|k|} H\left(\frac{f}{k}\right) \quad (3.288)$$

## Frequenzskalierung

$$H_{(f)} \bullet \circ h_{(t)} \implies H_{(kf)} \bullet \circ \frac{1}{|k|} h\left(\frac{t}{k}\right) \quad (3.289)$$

## Zeitverschiebung

$$h_{(t)} \circ \bullet H_{(f)} \implies h_{(t-t_0)} \circ \bullet H_{(f)} \cdot e^{-2\pi j f t_0} \quad (3.290)$$

## Frequenzverschiebung

$$H_{(f)} \bullet \circ h_{(t)} \implies H_{(f-f_0)} \bullet \circ h_{(t)} \cdot e^{2\pi j f_0 t} \quad (3.291)$$

## Differentiation im Zeitbereich

$$h_{(t)} \circ \bullet H_{(f)} \implies h'_{(t)} \circ \bullet 2\pi j f \cdot H_{(f)} \quad (3.292)$$

mit  $\lim_{t \rightarrow \pm\infty} h_{(t)} = 0$

$$h_{(t)}^{(n)} \circ \bullet (2\pi j f)^n \cdot H_{(f)} \quad (3.293)$$

## Differentiation im Frequenzbereich

$$H_{(f)} \bullet \circ h_{(t)} \implies H'_{(f)} \bullet \circ (-2\pi j f) \cdot h_{(t)} \quad (3.294)$$

mit  $\lim_{f \rightarrow \pm\infty} H_{(f)} = 0$

$$H_{(f)}^{(n)} \bullet \circ (-2\pi j f)^n \cdot h_{(t)} \quad (3.295)$$

## 3.34 Statistik

### 3.34.1 Begriffe

Grundgesamtheit, Stichprobe:  $x_1, x_2, \dots, x_n$ , Merkmal  $X$

$$\text{relative Häufigkeit} = \frac{\text{absolute Häufigkeit}}{n}$$

	Diskret	Stetig
Stichprobe	emp. Häufigkeitsfunktion emp. Verteilungsfunktion	emp. Dichte emp. Verteilungsfunktion
Grundgesamtheit	Wahr.-Funktion Wahr.-Verteilung	Wahr.-Dichte Wahr.-Verteilung

### 3.34.2 Statistische Parameter

Stichprobe:  $x_1 \dots x_n$

#### Arithmetisches Mittel

$$\bar{x} = \frac{1}{n} \sum_{i=1}^n x_i \quad (3.296)$$

#### Median

$$\tilde{x}_1 \dots \tilde{x}_n \quad : \text{geordnete Stichprobe} \quad (3.297)$$

$$x_{med} = \begin{cases} \tilde{x}_{\frac{n+1}{2}} & \text{für } n \text{ ungerade} \\ \frac{\tilde{x}_{\frac{n}{2}} + \tilde{x}_{\frac{n}{2}+1}}{2} & \text{für } n \text{ gerade} \end{cases} \quad (3.298)$$

## Modus

$$x_{mod} \hat{=} \text{häufigst aufgetretene Beobachtung} \quad (3.299)$$

## Spannweite

$$x_o - x_u = (\text{max. Wert} - \text{min. Wert}) \quad (3.300)$$

## Standardabweichung

$$s_x = \sqrt{\frac{1}{n-1} \sum_{i=1}^n (\bar{x} - x_i)^2} \quad (3.301)$$

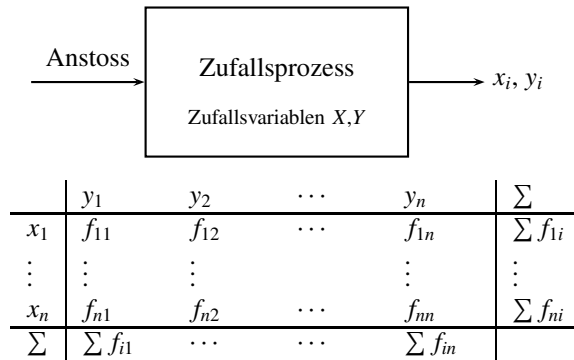
$$\text{oft auch : } s_x = \sqrt{\frac{1}{n} \sum_{i=1}^n (\bar{x} - x_i)^2} \quad (3.302)$$

## Empirische Varianz oder Stichprobenvarianz

$$s_x^2 = \frac{1}{n-1} \sum_{i=1}^n (\bar{x} - x_i)^2 \quad (3.303)$$

$$\frac{1}{n-1} \sum_{i=1}^n |\bar{x} - x_i| \quad \text{mögliche Definition} \quad (3.304)$$

### 3.34.3 Zweidimensionale Stichproben



Randverteilung für y

### 3.34.4 Robustheit von Masszahlen

Stichprobe:  $x_1 \dots x_n$

$\bar{x}$  ändert wegen einer Änderung eines einzigen  $x_i$ -Wertes.

$x_{mod}$  ändert wahrscheinlich nicht.

**Allgemein:**  $x_{mod}$  ist robuster als  $\bar{x}$

Vernachlässigung von Masswerten an den Rändern. Beispiel:

$$\bar{\bar{x}} = \frac{1}{n-20} \cdot \sum_{i=10}^{n-10} x_i \quad \text{für } n > 20$$

$\bar{\bar{x}}$  ist robuster als  $\bar{x}$

### 3.34.5 Kombinatorik

	ohne Wiederholung	mit Wiederholung
ohne Reihenfolge	$C_n^k = \binom{n}{k}$	${}^w C_n^k = \binom{n+k-1}{k}$
mit Reihenfolge	$V_n^k = \frac{n!}{(n-k)!}$	${}^w V_n^k = n^k$

Spezialfall:  $V_n^n = n! \hat{=} \text{Permutationen}$



### 3.34.6 Wahrscheinlichkeit

$$P(A) = \frac{|A|}{|\Omega|} \hat{=} \frac{\text{günstige Fälle}}{\text{mögliche Fälle}} \quad (3.305)$$

Stillschweigende Annahme: alle Fälle sind gleich Wahrscheinlich.

Beispiel: werfen von 2 Würfeln

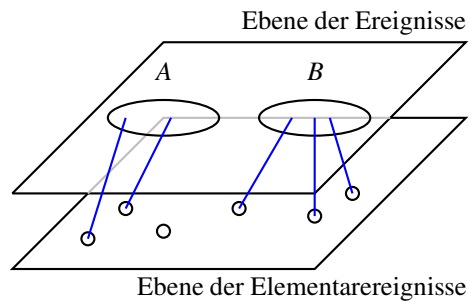
$P(\text{Augensumme} > 4) = ?$  mit  $z = \text{Augensumme}$

$z$	2	3	4	5	6	7	8	9	10	11	12
$P(z)$	$\frac{1}{36}$	$\frac{2}{36}$	$\frac{3}{36}$	$\frac{4}{36}$	$\frac{5}{36}$	$\frac{6}{36}$	$\frac{5}{36}$	$\frac{4}{36}$	$\frac{3}{36}$	$\frac{2}{36}$	$\frac{1}{36}$

	1	2	3	4	5	6	: 2. Wurf
1	2	3	4	5	6	7	
2	3	4	5	6	7	8	
3	4	5	6	7	8	9	
4	5	6	7	8	9	10	
5	6	7	8	9	10	11	
6	7	8	9	10	11	12	
1. Wurf							

$$\begin{aligned} P(\text{Augensumme} > 4) &= 1 - P(\text{Augensumme} \leq 4) \\ &= 1 - \frac{1 + 2 + 3}{36} = \frac{5}{6} \end{aligned}$$

### 3.34.7 Ereignisse



Verknüpfungen:

- $A \cup B$  : Vereinigung
- $A \cap B$  : Durchschnitt
- $A \setminus B$  : Differenz
- $\Omega$  : sicheres Ereignis
- $\emptyset$  : unmögliches Ereignis
- $\bar{A}$  : Komplementiertes Ereignis zu  $A$

### 3.34.8 Ereignisalgebra

$\Omega$  Menge,  $\sigma$ -Algebra,  $\mathcal{A}$  ist Teilmenge von  $P(\Omega)$ , Potenzmenge mit Eigenschaften:

1.  $\Omega \in \mathcal{A}$
2. wenn  $A \in \mathcal{A}$  dann  $\bar{A} \in \mathcal{A}$
3. Folge  $A_i \in \mathcal{A}$  dann  $\lim_{n \rightarrow \infty} \bigcup_{i=1}^n A_i \in \mathcal{A}$

### 3.34.9 Axiomatische Wahrscheinlichkeitstheorie

Definition:

$$P(\Omega) = 1 \quad (3.306)$$

$$P\left(\bigcup_i A_i\right) = \sum_i P(A_i) \text{ mit } A_i \cap A_j = \emptyset \quad \forall i \neq j \quad (3.307)$$

$$\implies P(\emptyset) = 0$$

$$P(A \cup B) = P(A) + P(B) \text{ sofern } A \cap B = \emptyset$$

$$P(A \cup B) = P(A) + P(B) - P(A \cap B)$$

$$P(A \cup \bar{A}) = 1$$

$$P(A) = 0 \wedge A \neq \emptyset \quad : \text{ fast unmögliches Ereignis}$$

$$P(A) = 1 \wedge A \neq \Omega \quad : \text{ fast sicheres Ereignis}$$

### 3.34.10 Bedingte Wahrscheinlichkeit

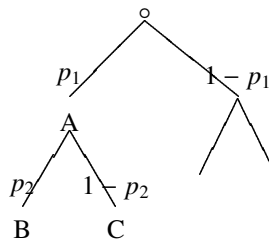
Definition:

$$P(A/B) = \frac{P(A \cap B)}{P(B)} \quad (3.308)$$

Multiplikationssatz:

$$P(A \cap B) = P(A/B) \cdot P(B) \quad (3.309)$$

### 3.34.11 Ereignisbäume



$$P(A) = p_1$$

$$P(B) = p_1 \cdot p_2$$

$$P(C) = p_1 \cdot (1 - p_2)$$

### 3.34.12 Unabhängigkeit von Ereignissen

Definition: unabhängig wenn:

$$P(A \cap B) = P(A) \cdot P(B) \quad (3.310)$$

### 3.34.13 Zufallsvariablen

Eine Zufallsvariable ist ein quantitatives Merkmal eines Zufallsprozesses.

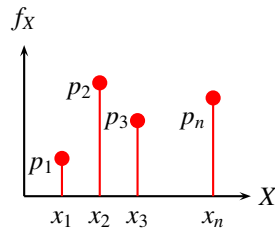
#### Diskrete Zufallsvariablen und ihre Verteilungen

Jedem Ereignis wird eine Wahrscheinlichkeit zugeordnet:

$$P(X = x_i) = p_i \quad i = 1..n \quad \text{mit} \quad \sum_i p_i = 1 \quad (3.311)$$

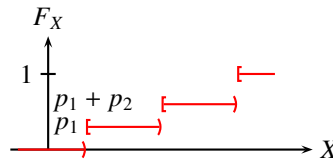
Zuordnung von Wahrscheinlichkeiten heisst *Wahrscheinlichkeitsfunktion*:

$$f_x : x_i \mapsto P(X = x_i) = p_i \quad (3.312)$$



Verteilungsfunktion (Wahrscheinlichkeitsfunktion)

$$F_X(x) = P(X \leq x) = \sum_i p_i \quad (3.313)$$



deskriptive Statistik	Wahrscheinlichkeitstheorie
empirische Dichte	Wahrscheinlichkeitsfunktion
relative Häufigkeitsfunktion	Wahrscheinlichkeitsfunktion
Stichprobenmittel	Erwartungswert
Stichprobenvarianz	Varianz
Stichprobenstandardabweichung	Standardsabweichung

### Erwartungswert

$$E(X) = \sum_{i=1}^n P(X = x_i) \cdot x_i = \mu_X \quad (3.314)$$

$$= \sum_{i=1}^n p_i \cdot x_i \quad (3.315)$$

$$Y = a \cdot x + b \quad \Rightarrow \quad E(Y) = a \cdot E(X) + b$$

### Varianz

$$VAR(X) = \sum_{(i=1)}^n P(X = x_i) \cdot (x_i - \mu_X)^2 = \sigma_X^2 \quad (3.316)$$

$$= E(X^2) - E^2(X) \quad (3.317)$$

$$Y = a \cdot x + b \quad \Rightarrow \quad VAR(Y) = a^2 \cdot VAR(X)$$

### Standardabweichung

$$\sigma_X = \sqrt{VAR(X)} \quad (3.318)$$

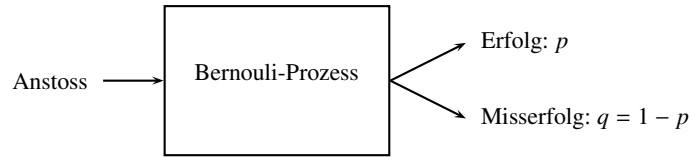
### Diskrete Gleichverteilung

Gleichverteilung:  $P(X = x_i) = \frac{1}{n} \quad i = 1..n$

$$E(X) = \bar{x}$$

$$VAR(X) = \frac{1}{n} \left[ \sum_{i=1}^n x_i^2 \right] - (\bar{x})^2$$

## Bernoulli / Zweipunktverteilung



$$E(X) = p$$
$$VAR(X) = p \cdot q = p \cdot (1 - p)$$

## Binominal-Verteilung

Binominalprozess  $\hat{=}$   $n$ -malige Wiederholung des Bernoulli-Prozess.  $X \hat{=}$  Anzahl Erfolge bei  $n$ -maliger Durchführung eines Zweipunkt-Prozesses.

$$x_i \in \{0, 1, 2, \dots, n\}$$
$$P(X = k) = \binom{n}{k} \cdot p^k \cdot (1 - p)^{n-k} = \frac{n!}{k!(n-k)!} \cdot p^k \cdot (1 - p)^{n-k}$$
$$E(X) = n \cdot p$$
$$VAR(X) = n \cdot p \cdot q = n \cdot p \cdot (1 - p)$$

Satz:

$$E(X + Y) = E(X) + E(Y) \quad (3.319)$$

$$VAR(X + Y) = VAR(X) + VAR(Y) \quad (3.320)$$

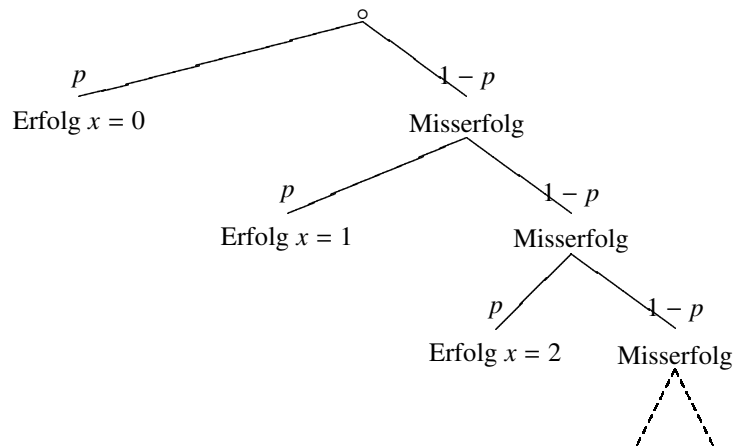
sofern  $X$  und  $Y$  unabhängig voneinander.

## Geometrische Verteilung

Folge von Bernoulli-Experimenten:

$X \hat{=}$  Anzahl Misserfolge vor dem 1. Erfolg

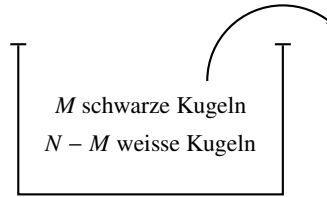
$$P(X = k) = p \cdot (1 - p)^k \quad k = 0, \dots$$



$$E(X) = \frac{q}{p} = \frac{1-p}{p} \quad VAR(X) = \frac{1-p}{p^2}$$

## Hypergeometrische Verteilung

Von Bedeutung bei der Qualitätskontrolle.



- $n$  : Kugeln, ohne Zurücklegen
- $X$  : Anzahl gezogene schwarze Kugeln
- $M$  : Anzahl schwarze Kugeln
- $N - M$  : Anzahl weiße Kugeln

$$P(X = k) = \frac{\binom{M}{k} \binom{N-M}{n-k}}{\binom{N}{n}}$$

## Poisson-Verteilung

Ankunftsprozess: Poststelle, Check-in-Schalter, etc.

$X \hat{=}$  Anzahl Ankünfte in einer gegebenen Periode

$$P(X = k) = \frac{e^{-\lambda} \cdot \lambda^k}{k!} \quad \text{mit } k = 0, 1, \dots \text{ und } \lambda : \text{Parameter}$$
$$E(X) = \lambda \quad \text{VAR}(X) = \lambda$$

## Stetige Zufallsvariablen

### Wahrscheinlichkeitsdichte (Dichtefunktion)

1.  $f_X(x) \geq 0 \quad \forall x$
2.  $\int_{-\infty}^{+\infty} f_X(x) dx = 1$
3.  $P(a \leq x \leq b) = \int_a^b f_X(\tau) d\tau = F_X(b) - F_X(a)$

### Erwartungswert

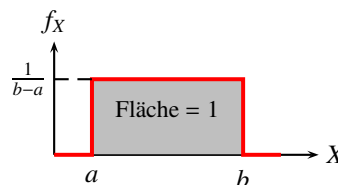
$$E(X) = \int_{-\infty}^{+\infty} x \cdot f_X(x) dx = \mu_X \quad (3.321)$$

### Varianz

$$\text{VAR}(X) = \int_{-\infty}^{+\infty} (x - \mu_X)^2 \cdot f_X(x) dx = \sigma_X^2 \quad (3.322)$$

$$= E(X^2) - \mu_X^2 \quad (3.323)$$

## Gleichverteilung



$$f_X(x) = \begin{cases} \frac{1}{b-a} & : \text{für } x \in [a, b] \\ 0 & \text{sonst} \end{cases} \quad (3.324)$$

$$E(X) = \frac{a+b}{2} \quad (3.325)$$

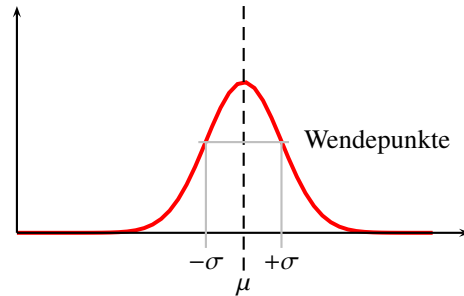
$$E(X^2) = \frac{1}{3}(b^2 + ab + a^2) \quad (3.326)$$

$$\text{VAR}(X) = \frac{(a-b)^2}{12} \quad (3.327)$$

Standardfall: random  $\hat{=}$  GL(0, 1)

**Normalverteilung** (Gauss-Verteilt)

$$f_X(x) = \frac{1}{\sigma \cdot \sqrt{2\pi}} \cdot e^{-\frac{(x-\mu)^2}{2\sigma^2}} \text{ mit } \mu, \sigma \text{ als Parameter} \quad (3.328)$$



Schreibweise:  $x \sim \mathcal{N}(\mu_X, \sigma_X^2)$

Verteilungsfunktion  $F_X$  wird mit  $\Phi$  bestimmt (siehe Tabelle).

Satz:

$$x \sim \mathcal{N}(\mu, \sigma^2) \Rightarrow Y = aX + b \sim \mathcal{N}(a \cdot \mu + b, a^2 \cdot \sigma^2) \quad (3.329)$$

**Exponentialverteilung**

$$f_X(x) = \lambda \cdot e^{-\lambda \cdot x} \cdot u(x) \quad (3.330)$$

$u$  : unit-step

Anwendung: Beschreibung der Lebensdauer von Objekten.

$$E(X) = \frac{1}{\lambda} \quad \text{VAR}(X) = \frac{1}{\lambda^2}$$

**Momente einer Verteilung**  $k$ -tes Moment einer Zufallsvariablen  $X$  :  $E(X^k)$

$k$ -tes zentriertes Moment einer Zufallsvariablen  $X$  :  $E(|x - c|^k)$

Spezialfälle:

1. Moment entspricht dem *Erwartungswert*
2. Moment zentriert bezüglich  $\mu$  entspricht der *Varianz*

Satz: (Markoff-Ungleichung)

$$P(|x - c| \geq x) \leq \frac{1}{x^k} \cdot E(|x - c|^k) \text{ sofern } E(|x - c|^k) < \infty \quad (3.331)$$

Spezialfall: Tschebyscheff-Ungleichung

$$P(|x - \mu| \geq x) \leq \frac{1}{x^2} \cdot E(|x - \mu|^2) = \frac{\sigma_x^2}{x^2} \quad (3.332)$$

**Diskret-Stetig**

**Binominal - Poisson** Wenn  $x \sim B(n, p)$  mit  $n$  gross und  $p$  klein, dann ist

$$X \sim P_0(\lambda) \text{ mit } \lambda = n \cdot p \quad (3.333)$$

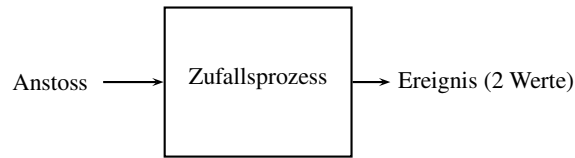
## Binominal - Normalverteilung

$$X \sim B(n, p) \text{ mit } n \cdot p \cdot q > q \quad (3.334)$$

dann

$$X \sim N(\mu, \sigma^2) \text{ mit } \mu = n \cdot p \text{ und } \sigma^2 = n \cdot p \cdot q \quad (3.335)$$

### 3.34.14 Mehrdimensionale Zufallsvariablen



#### Diskret

Zweidimensionale Wahrscheinlichkeitsfunktion  $P(X = x_i, Y = y_j)$  mit

$$\sum_{i=1}^n \sum_{j=1}^m p_{ij} = 1 \quad \text{und } p_{ij} \geq 0 \quad \forall i, j$$
$$F_{XY} = P(X \leq x, Y \leq y) = \sum_{x_i \leq x} \sum_{y_j \leq y} p_{ij} \quad (3.336)$$

#### Stetig

$$f_{XY}(x, y) \text{ mit } \iint_{\mathbb{G}} f_{XY}(x, y) dx dy = 1 \text{ und } f_{XY} \geq 0 \quad \forall x, y \quad (3.337)$$

$$F_{XY} = P(X \leq x, Y \leq y) = \int_{-\infty}^{+\infty} \int_{-\infty}^{+\infty} f_{XY}(x, y) dx dy \quad (3.338)$$

#### Zweidimensionale Normalverteilung

$$f_{XY}(x, y) = \frac{1}{2\pi \sqrt{\Delta}} \cdot e^{-\frac{1}{2\Delta} \begin{pmatrix} x - \mu_x & y - \mu_y \end{pmatrix} \begin{pmatrix} \sigma_1^2 & \sigma_{12} \\ \sigma_{12} & \sigma_2^2 \end{pmatrix}^{-1} \begin{pmatrix} x - \mu_x \\ y - \mu_y \end{pmatrix}} \quad (3.339)$$

wobei

$$\mu_x = E(X) \quad \sigma_1^2 = \text{VAR}(X) \quad \text{und} \quad \mu_y = E(Y) \quad \sigma_2^2 = \text{VAR}(Y)$$

$\sigma_{12}$  : weiterer Parameter

$$\Delta = \sigma_1^2 \cdot \sigma_2^2 - (\sigma_{12})^2 \quad (3.340)$$

#### Unabhängigkeit

Zwei Zufallsvariablen  $X$  und  $Y$  sind unabhängig, wenn

$$f_{XY} = f_X \cdot f_Y \quad (3.341)$$

diskreter Fall:

$$P(X = x_i, Y = y_j) = P(X = x_i) \cdot P(Y = y_j) \quad (3.342)$$

## Summe von Zufallsvariablen

Ist  $Z = X + Y$  mit  $X \sim F_X(x)$  und  $Y \sim F_Y(y)$  voneinander unabhängig, dann ist:

$$f_Z(z) = \int_{-\infty}^{+\infty} f_X(\tau) \cdot f_Y(z - \tau) d\tau \quad \hat{=} \text{Faltungsintegral} \quad (3.343)$$

Zur Berechnung können eine der folgenden Möglichkeiten gewählt werden:

- diskret
- Lapalce-Transformation
- Fourier-Transformation

Wenn  $X_1 \sim P_o(\lambda_1)$  und  $X_2 \sim P_u(\lambda_2)$  diskret und unabhängig sind und  $Z = X_1 + X_2$  gilt, dann ist

$$P(Z \leq z) = \frac{e^{-\lambda_1 - \lambda_2}}{z!} (\lambda_1 + \lambda_2)^z \quad (3.344)$$

Satz: Die Summe zweier unabhängiger poissonverteilten Zufallsvariablen ist wiederum poissonverteilt.

$$X_1 + X_2 \sim \mathcal{N}(\mu_1 + \mu_2, \sigma_1^2 + \sigma_2^2)$$

$$X_1 - X_2 \sim \mathcal{N}(\mu_1 - \mu_2, \sigma_1^2 + \sigma_2^2)$$

falls

$$X_1 \sim \mathcal{N}(\mu_1, \sigma_1^2) \quad \text{und} \quad X_2 \sim \mathcal{N}(\mu_2, \sigma_2^2)$$

## Produkt von Zufallsvariablen

Falls  $X$  und  $Y$  unabhängig sind:

$$E(X \cdot Y) = E(X) \cdot E(Y) \quad (3.345)$$

Falls  $X$  und  $Y$  abhängig voneinander:

$$E(X \cdot Y) \neq E(X) \cdot E(Y)$$

$$\text{VAR}(X \cdot Y) \neq \text{VAR}(X) \cdot \text{VAR}(Y)$$

## Kovarianz

$$\text{COV}(X, Y) = E(X \cdot Y) - E(X) \cdot E(Y) \quad (3.346)$$

$X$  und  $Y$  sind unabhängig voneinander

## Korelation

$$\rho(X, Y) = \frac{\text{COV}(X, Y)}{\sqrt{\text{VAR}(X) \cdot \text{VAR}(Y)}} \quad (3.347)$$

Satz:

$$|\rho| \leq 1 \quad (3.348)$$

Satz:

$$\text{COV}(X, Y) = E[(X - E(X)) \cdot (Y - E(Y))] \quad (3.349)$$

### 3.34.15 Zentraler Grenzwertsatz

Saloppe Erklärung:

$$\lim_{n \rightarrow \infty} \bar{x} = E(X) \quad (3.350)$$

formal:

$$\begin{aligned} X &= z_1 + z_2 + \dots + z_n && z_i \text{ unabhängig, identisch verteilt} \\ \implies & X \sim \mathcal{N}(\mu, \sigma^2) && (3.351) \end{aligned}$$



### 3.34.16 Markov-Ketten

#### Stochastischer Prozess

Folge von Zufallsvariablen  $U_i$  beschreibt den Zustand eines Systems hinsichtlich eines Merkmals. Dies entspricht einem *Stochastischem Prozess*.

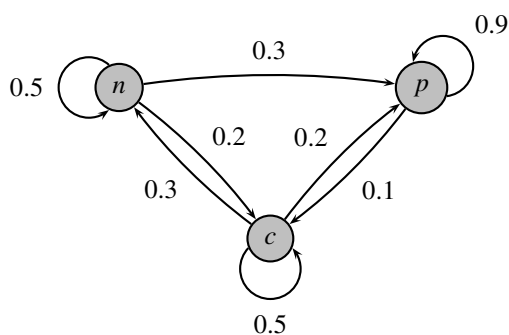
Definition: Markov-Eigenschaft  $U_i$  ist nur von  $U_{i-1}$  abhängig. Konsequenz:  $P(U_i = u)$  ist von  $U_{i-1}$  abhängig, d.h.  $P(U_i = u / U_{i-1} = w)$  ist eine *bedingte Wahrscheinlichkeit*, eine *Übergangswahrscheinlichkeit*.

Definition: Folge von  $U_i$  mit Markov-Eigenschaft heisst *Markov-Kette*. Übergangswahrscheinlichkeiten können als Matrix geschrieben werden:

$$M = \begin{pmatrix} p_{11} & \cdots & p_{1n} \\ \vdots & & \vdots \\ p_{n1} & \cdots & p_{nm} \end{pmatrix} \quad \text{mit Zeilensumme} = 1$$

Ausgangslage:  $P(U_1 = w_k) = \mu_k$

Beispiel:



	n	p	c
n	0.5	0.3	0.2
p	0.0	0.9	0.1
c	0.3	0.2	0.5

$$t = 0 : \vec{\mu} = (0.8 \quad 0.1 \quad 0.1)$$

$$\vec{v}^{(1)} = \vec{\mu} \cdot M$$

$$\vec{v}^{(n+1)} = \vec{\mu} \cdot M^n$$

Grenzwert: existiert und ist  $\vec{\pi} \implies \vec{\pi} = \vec{\pi} \cdot M$  (nur Eigenvektor zu  $\lambda = 1$ ).

### 3.34.17 $\chi^2$ -Verteilung

Stetige Zufallsvariable  $X$  mit der Dichte

$$f_X(x) = \begin{cases} 0 & \text{für } x < 0 \\ \frac{x^{\frac{n}{2}-1} \cdot e^{-\frac{x}{2}}}{2^{\frac{n}{2}} \cdot \Gamma(\frac{n}{2})} & \text{für } x \geq 0 \end{cases} \quad (3.352)$$

heisst  $\chi^2$ -Verteilung mit  $n$  Freiheitsgraden  $X \sim \chi^2(n)$  oder  $X \sim \text{Chi}^2(n)$ .

#### Gamma-Funktion

$$\Gamma(\alpha) = \int_0^{\infty} e^{-t} \cdot t^{\alpha-1} dt \quad \text{mit } \alpha > 0 \quad (3.353)$$

mit

$$\begin{aligned}\Gamma(1) &= 1 \\ \Gamma\left(\frac{1}{2}\right) &= \sqrt{\pi} \\ \Gamma(\alpha + 1) &= \alpha \Gamma(\alpha)\end{aligned}$$

$$\begin{aligned}E(X) &= n & X_1 &\sim \chi^2(n_1) \\ \text{VAR}(X) &= 2n & X_2 &\sim \chi^2(n_2)\end{aligned}$$

sind voneinander unabhängig  $\implies X_1 + X_2 \sim \chi^2(n_1 + n_2)$ .

Satz:

$$\begin{aligned}x_i &\sim \mathcal{N}(0, 1) \quad \text{mit } i = 1 \dots n, \text{ unabhängig} \\ \implies z &= x_1^2 + \dots + x_n^2 \sim \chi^2(n)\end{aligned}\tag{3.354}$$

### 3.34.18 *t*-Verteilung

Stetige Zufallsvariable  $X$  mit der Dichte

$$f_X(x) = \frac{\Gamma\left(\frac{n+1}{2}\right)}{\Gamma\left(\frac{n}{2}\right)\sqrt{n\pi}} \left(1 + \frac{x^2}{n}\right)^{-\frac{n+1}{2}} \quad x \in \mathbb{R}\tag{3.355}$$

Grenzfall:  $n \rightarrow \infty : f_X(x) \rightarrow \mathcal{N}(0, 1)$

$$\begin{aligned}E(X) &= 0 \quad (\text{wegen Symmetrie}) \\ \text{VAR}(X) &= \frac{n}{n-2} \quad \text{für } n \geq 3\end{aligned}$$

### 3.34.19 *F*-Verteilung

Eine Zufallsvariable  $X$  mit der Dichte

$$f_X(x) = \begin{cases} 0 & \text{für } x \leq 0 \\ \frac{\Gamma\left(\frac{m+n}{2}\right)\left(\frac{m}{n}\right)^{\frac{m}{2}}}{\Gamma\left(\frac{m}{2}\right)\Gamma\left(\frac{n}{2}\right)} \cdot \frac{x^{\frac{m}{2}-1}}{\left(1 + \frac{m}{n}x\right)^{\frac{m+n}{2}}} & \text{für } x > 0 \end{cases}\tag{3.356}$$

heisst *F-Verteilt* mit  $(m, n)$  Freiheitsgrade.

$$\begin{aligned}E(X) &= \frac{n}{n-2} \quad \text{für } n \geq 3 \\ \text{VAR}(X) &= \frac{2n^2(m+n-2)}{m(n-2)^2(n-4)} \quad \text{für } n \geq 5 \\ X_1 &\sim \chi^2(n_1) \quad \text{und} \quad X_2 \sim \chi^2(n_2)\end{aligned}$$

voneinander unabhängig

$$\implies \frac{X_1/n_1}{X_2/n_2} \sim F(n_1, n_2)$$

wobei

$$X \sim F(m, n) \implies \frac{1}{X} \sim F(n, m)$$

## **Kapitel 4**

# **Diskrete Mathematik**

## 4.1 Begriffe

### Aussage “ $p$ ”

Formal:  $p$   
 $\mathcal{D}$ : true/false, wahr/falsch, 1/0

### Aussage “nicht $p$ ”

Formal:  $\neg p$  (Negation)  
 $\mathcal{D}$ : false/true, falsch/wahr, 0/1

### Aussage “ $P$ und $Q$ ”

Formal:  $p \wedge q$  oder  $p \cdot q$  (Konjunktion)

$p$	$q$	$p \wedge q$
0	0	0
0	1	0
1	0	0
1	1	1

### Aussage “ $P$ oder $Q$ ”

Formal:  $p \vee q$  oder  $p + q$  (Disjunktion)

$p$	$q$	$p \vee q$
0	0	0
0	1	1
1	0	1
1	1	1

### Aussage “wenn $P$ dann $Q$ ”

Formal:  $p \rightarrow q$  (Konditional)

$p$	$q$	$p \rightarrow q$
0	0	1
0	1	1
1	0	0
1	1	1

### Aussage “ $Q$ genau dann wenn $P$ ”

Formal:  $p \leftrightarrow q$  (Bikonditional)

$p$	$q$	$p \leftrightarrow q$
0	0	1
0	1	0
1	0	0
1	1	1

### Aussage “aus $P$ folgt $Q$ ”

Formal:  $P \implies Q$  (Folgerung)

### Aussage “ $P$ ist äquivalent zu $Q$ ”

Formal:  $P \iff Q$  (Äquivalenz)

### 4.1.1 Allgemein

$W, F, P, Q, \dots$   $\hat{=}$  Atomare Bausteine, Atome, Formeln  
 $W, F$   $\hat{=}$  Wahrheitswerte

### 4.1.2 Prioritäten

	gleichbleibend →	
abnehmend ↓	$\neg$	
	$\wedge$	$\vee$
	$\rightarrow$	$\leftrightarrow$

### 4.1.3 Allgemeingültigkeit

Eine Formel ist allgemeingültig, wenn sie für jede Belegung der Wahrheitswert  $W$  ergibt.  
Auch *Tautologie* genannt.

### 4.1.4 Definitionen

Eine Formel heisst erfüllbar, wenn es min. eine Belegung gibt für die sie Wahr ist.

Eine Formel  $B$  folgt aus einer anderen Formel  $A$ , wenn für jede Belegung die  $A$  Wahr macht,  $B$  wahr wird.

Eine Formelmenge  $y$  folgt aus der Formelmenge  $x$ , wenn jede Formel aus  $y$  Wahr wird für Belegungen die  $x$  Wahr macht.

Zwei Formeln oder Formelmengen sind zueinander äquivalent, wenn sie gegenseitig auseinander Folgern.

## 4.2 Beweis-Strategien

### 4.2.1 Mögliche Strategien

- Beweis durch *Kontraposition*
- Beweis durch *Widerspruch*
- Beweis durch *Fallunterscheidung*
- *Direkter Beweis*
- *Induktionsbeweis*

### 4.2.2 Widersprüchlichkeit

Eine Formel  $A$  heisst *widersprüchlich*, wenn sowohl  $A$  als auch  $\neg A$  für gleiche Belegungen Wahr werden.

Eine Formelmenge heisst *Widersprüchlich*, wenn für min. eine Formel obiges gilt.

## 4.3 Entscheidungsverfahren

Entscheidungsverfahren für Erfüllbarkeit entspricht einem *Algorithmus*

Erfüllbarkeit, Allgemeingültigkeit und logische Folgerungen für endliche Formelmengen sind entscheidbar.

Umfang: Anzahl Zeilen der Wahrheitstabelle =  $2^{\text{Anzahl Atome}}$

## 4.4 Normalformen

Ein *Literal* ( $L$ ) entspricht einem aussagekräftigen Atom oder seiner Verneinung.



### 4.6.3 Normalformen

#### Disjunktive Normalform

*Summe von Produkten*

Siehe auch *disjunktive Normalform* in der Aussagenlogik.

#### Konjunktive Normalform

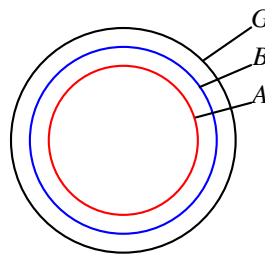
*Produkt von Summen*

Siehe auch *konjunktive Normalform* in der Aussagenlogik.

## 4.7 Mengen

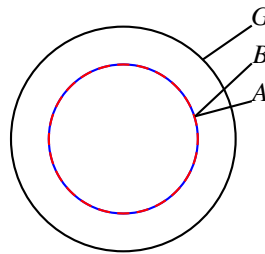
### 4.7.1 Begriffe

#### Menge und Teilmengen



$$A \subseteq B$$

(4.10)



$$A \subseteq B \quad \text{und} \quad B \subseteq A \quad \Rightarrow \quad A = B$$

(4.11)

#### Leere Menge

$$\text{Leere Menge: } \emptyset \quad \text{oder} \quad \{\}$$

(4.12)

#### Standardmengen

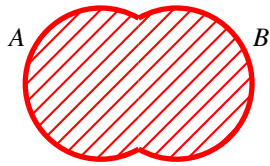
$\mathbb{N}, \mathbb{N}_0$	Natürliche Zahlen
$\mathbb{Z}^+, \mathbb{Z}_0^+, \mathbb{Z}^-, \mathbb{Z}_0^-, \mathbb{Z}$	Natürliche ganze Zahlen
$\mathbb{Q}^+, \mathbb{Q}_0^+, \mathbb{Q}^-, \mathbb{Q}_0^-, \mathbb{Q}$	
$\mathbb{R}^+, \mathbb{R}_0^+, \mathbb{R}^-, \mathbb{R}_0^-, \mathbb{R}$	reelle Zahlen
$\mathbb{C}$	komplexe Zahlen

#### Potenzmenge

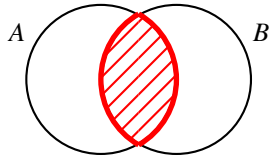
$\mathbb{P}(A)$  entspricht der Potenzmenge von  $A$ . Die Potenzmenge ist die Menge aller Teilmengen, inkl.  $\emptyset$ .

## 4.7.2 Verknüpfungen

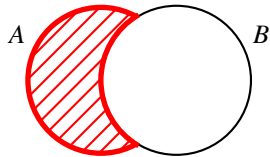
Vereinigung:  $A \cup B$



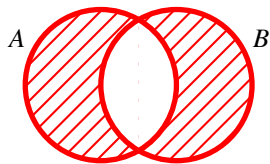
Schnittmenge:  $A \cap B$



Differenz:  $A \setminus B$



Symmetrische Differenz:  $A \Delta B$



## 4.7.3 Dualisieren

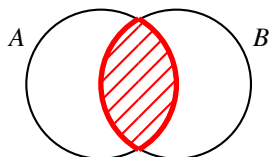
Ersetzen	durch
$\cup$	$\cap$
$\cap$	$\cup$
$\emptyset$	$G$
$G$	$\emptyset$

$$(A \cap B) \cup \emptyset = D \implies D^d = (A \cup B) \cap G$$

$$A = B \iff A^d = B^d$$

## 4.7.4 Venn-Diagramm

Grafische Veranschaulichung von Mengen. Alternative zu Venn-Diagramm: Zugehörigkeitstabelle.





### 4.7.5 Indexmenge

Zusammenfassung aller Werte, die ein Index annehmen kann.

$$\overline{\bigcup_{i \in I} A_i} = \bigcap_{i \in I} \overline{A_i} \quad \overline{\bigcap_{i \in I} A_i} = \bigcup_{i \in I} \overline{A_i} \quad (4.13)$$

### 4.7.6 Mächtigkeit

$|\mathbb{A}| \hat{=}$  Anzahl der Elemente von  $\mathbb{A}$ , sofern  $\mathbb{A}$  endlich.

$\text{card}(\mathbb{A}) \hat{=}$  Mächtigkeit der Menge  $\mathbb{A}$ .

Für endliche Mengen:  $\text{card}(\mathbb{A}) = |\mathbb{A}|$ . Für unendliche Mengen dient  $\mathbb{N}$  als Referenzmenge.

$$|\mathbb{A} \cup \mathbb{B}| = |\mathbb{A}| + |\mathbb{B}| - |\mathbb{A} \cap \mathbb{B}|$$

$$|\mathbb{A} \cup \mathbb{B} \cup \mathbb{C}| = |\mathbb{A}| + |\mathbb{B}| + |\mathbb{C}| - |\mathbb{A} \cap \mathbb{B}| - |\mathbb{A} \cap \mathbb{C}| - |\mathbb{B} \cap \mathbb{C}| + |\mathbb{A} \cap \mathbb{B} \cap \mathbb{C}|$$

## 4.8 Wahrscheinlichkeitstheorie

$$P = \frac{\text{Anzahl günstige Fälle}}{\text{Anzahl mögliche Fälle}} \quad (4.14)$$

$$P(\mathbb{A}) = p \quad \text{mit} \quad p \in [0, 1]$$

## 4.9 Kombinatorik

### 4.9.1 Permutation

Die Permutation ist die Anordnung von  $n$  Elementen *ohne Wiederholung* und *mit Reihenfolge*.

$$P_n = n! \quad (4.15)$$

### 4.9.2 Variationen

Variationen ist die Anordnung von  $k$  Elementen aus insgesamt  $n$  mit *Reihenfolge*.

$$V_n^k = \frac{n!}{(n-k)!} \quad (4.16)$$

“Anzahl Variationen von  $n$  Elementen zur  $k$ -ten Klasse”

### 4.9.3 Variationen mit Wiederholung

Es sind die Anordnung von  $k$  aus  $n$  Elementen *mit Wiederholung* und *mit Reihenfolge*.

$${}^w V_n^k = n^k \quad (4.17)$$

### 4.9.4 Kombinationen

Kombinationen sind die Anordnung von  $k$  aus  $n$  Elementen *ohne Reihenfolge* und *ohne Wiederholung*.

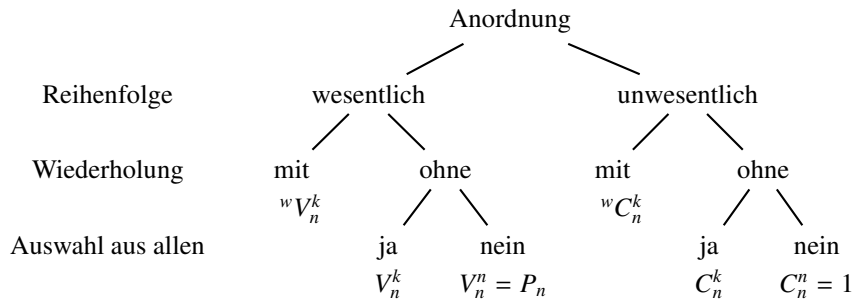
$$C_n^k = \frac{n!}{k! \cdot (n-k)!} = \binom{n}{k} \quad (4.18)$$

### 4.9.5 Kombinationen mit Wiederholungen

Es ist die Anordnung von  $k$  aus  $n$  Elementen *mit Wiederholung* und *ohne Reihenfolge*.

$${}^w C_n^k = \binom{n+k-1}{k} \quad (4.19)$$

## 4.9.6 Klassifizierung



$$P_n = n!$$

$${}^wV_n^k = n^k$$

$$V_n^k = \frac{n!}{(n-k)!}$$

$${}^wC_n^k = \binom{n+k-1}{k}$$

$$C_n^k = \frac{n!}{k! \cdot (n-k)!} = \binom{n}{k}$$

## 4.10 Rekursionen

Eine Rekursion ist eine Beziehung einer Funktion an der Stelle  $n$  zu Werten an der Stelle  $n-1, n-2, \dots, n-k$ .

Beispiel:  $f_n = f_{n-1} + f_{n-2}$

## 4.11 Erzeugende Funktionen

Entspricht einer Auflösung einer Rekursion, mit welcher direkt das  $n$ -te Glied berechnet werden kann, anstatt von Anfang bis zum  $n$ -ten Glied durchzurechnen.

Definition:  $a_0, a_1, \dots$  sei eine Folge von reellen Zahlen, dann heisst die Funktion

$$f : x \mapsto a_0 + a_1x + a_2x^2 + \dots = \sum_{k=0}^{\infty} a_k x^k$$

erzeugende Funktion für die gegebene Zahlenfolge.

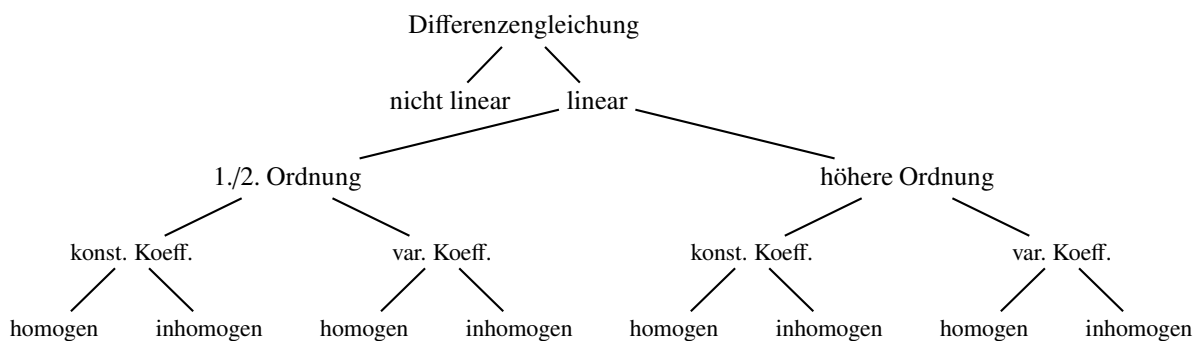
## 4.12 Differenzgleichungen

Auch Rekursionsgleichungen genannt.

### 4.12.1 Definition

Differenzgleichung  $k$ -ter Ordnung:  $F(y_t, y_{t-1}, y_{t-2}, \dots, y_{t-k})$

### 4.12.2 Klassierung



Der Typ bestimmt die Lösungsmethode. Lösungsmethoden für lineare Differenzgleichung mit konstanten Koeffizienten:

1. Z-Transformation

2. Konventionell

(a) homogen

i. mittels Ansatz

(b) inhomogen

i. mittels Ansatz vom Typ der Störfunktion

ii. erzeugende Funktion

iii. Operator-Technik

### 4.12.3 Lineare DGL, konst. Koeff, Homogen

Standardgleichung:

$$a_0 \cdot y_{t+n} + a_1 \cdot y_{t+n-1} + a_2 \cdot y_{t+n-2} + \dots + a_n \cdot y_t = 0 \quad \forall t \quad (4.20)$$

Ansatz für Lösung:  $y_t = c \cdot \lambda^t$

$$\begin{aligned} \implies y_{t+1} &= c \cdot \lambda^{t+1} \\ y_{t+2} &= c \cdot \lambda^{t+2} \\ y_{t+n} &= c \cdot \lambda^{t+n} \end{aligned}$$

eingesetzt in DGL:

$$\begin{aligned} a_0 \cdot c \cdot \lambda^{t+n} + a_1 \cdot c \cdot \lambda^{t+n-1} + \dots &= 0 \\ a_0 \cdot \lambda^{t+n} + a_1 \cdot \lambda^{t+n-1} + \dots &= 0 \end{aligned}$$

Dies ist ein Polynom  $n$ -ten Grades, d.h.  $n$  Lösungen:  $\lambda_1, \lambda_2, \dots, \lambda_n$

### 4.12.4 Ansatz vom Typ der Störfunktion

Störfunktion	Ansatz für Lösung
$\beta^t$	$A \cdot \beta^t$
$\sin(\alpha t)$	$A \cdot \cos(\alpha t) + B \cdot \sin(\alpha t)$
$\cos(\alpha t)$	$A \cdot \cos(\alpha t) + B \cdot \sin(\alpha t)$
$P_m(t)$	$A_0 \cdot t^m + A_1 \cdot t^{m-1} + \dots + A_m$
$\beta^t \cdot P_m(t)$	$\beta^t (A_0 \cdot t^m + A_1 \cdot t^{m-1} + \dots + A_m)$
$\beta^t \cdot \sin(\alpha t)$	$\beta^t \cdot (A \cdot \cos(\alpha t) + B \cdot \sin(\alpha t))$

### 4.12.5 Unabhängigkeit der Lösung

Casorati-Determinante

$$\det \begin{pmatrix} (y_k)_1 & (y_k)_2 & \dots & (y_k)_n \\ (y_{k+1})_1 & (y_{k+1})_2 & \dots & (y_{k+1})_n \\ \vdots & \vdots & \ddots & \vdots \\ (y_{k+n-1})_1 & (y_{k+n-1})_2 & \dots & (y_{k+n-1})_n \end{pmatrix} \neq 0 \quad (4.21)$$

### 4.12.6 Komplexe Nullstellen

$$e^{j\phi} = \cos(\phi) + j \sin(\phi) \quad \phi \in \mathbb{R} \quad (4.22)$$

$$\implies c_s \cdot |\lambda_s|^k \cdot \cos(\phi \cdot k) + c_{s+1} \cdot |\lambda_s|^k \cdot \cos(\phi \cdot k) + \dots \quad (4.23)$$



## Faltungssatz

$$\mathfrak{F}(y_k) \cdot \mathfrak{F}(x_k) = \mathfrak{F}(y_k * x_k) \quad (4.32)$$

## Faltung

$$y_k * x_k = \sum_{m=0}^k x_m \cdot y_{k-m} \quad (4.33)$$

## 4.14 Numerik

### 4.14.1 Definition

Maschinenzahlen sind die im Rechner *exakt* darstellbaren Zahlen.

```
DecimalToBaseB(x, a)    // 0 <= x(10) < 1
  a[0] = 0
  k = 0
  while (x != 0)
    k = k + 1
    a[k] = floor(B*x)
    x = B * x - a[k]
  end while
```

### 4.14.2 Festpunktzahlen

$$z = \sigma \cdot \sum_{i=m}^n a_i \cdot B^i \quad m, n \in \mathbb{Z} \quad (\text{typ. } m < 0 < n) \quad (4.34)$$

mit  $\sigma = \text{sign} = \pm 1$  und  $a_i \in [0, B - 1]$

#### Allgemeines

- grösste Maschinenzahl  $B^{n+1} - B^m$
- gleichmässige Verteilung
- jede im Maschinenbereich liegende Zahl lässt sich durch eine Zahl  $z^*$  approximieren mit

$$|z - z^*| \leq \frac{1}{2} B^{-m}$$

- $(a \oplus B) \oplus c = a \oplus (b \oplus c)$
- $a \odot b \neq a \cdot b$

#### Vorteile

- effiziente Arithmetik

#### Nachteile

- kleiner Zahlenbereich

### 4.14.3 Gleitpunktzahlen

$$z = \sigma \cdot m \cdot B^e \quad e \in \mathbb{Z} \text{ und } e \in [e_{\min}, e_{\max}] \quad (4.35)$$

mit  $m = \sum_{k=1}^n a_{-k} \cdot B^{-k}$  mit  $a_k \in [0, B - 1]$

## Definition

Eine Gleitpunktzahl ist normalisiert falls

$$\frac{1}{B} \leq m < 1$$

d.h. die führende Ziffer der Mantisse  $\neq 0$

## Allgemeines

- Für die Null existiert keine normalisierte Darstellung
- Lücke bei Null:  $[0, B^{e_{\min}-1}]$  enthält keine Maschinenzahl
- Anzahl normalisierte Zahlen:

$$2(B-1) \cdot B^{n-1} \cdot \Delta e = 2 \cdot B^{n-1}(B-1)(e_{\max} - e_{\min} + 1)$$

- Anzahl denormalisierte Zahlen:

$$2 \cdot B^{n-1}$$

## Definition

$$\mathbb{M} = M(B, n; e_0, e_1) = \left\{ z \left[ \sigma \left( \sum_{k=1}^n a_{-k} \cdot B^{-k} \right) \cdot B^{-k}, e \in [e_0, e_1] \right] \right\} \quad (4.36)$$

$a \in M(B, n, e_0, e_1)$  heisst Maschinenzahl, darstellbare Zahl.

Charakteristika von  $\mathbb{M} = M(B, n, e_0, e_1)$

- Grösste darstellbare Zahl:

$$(1 - B^{-1}) \cdot B^{e_1}$$

- betragsmässig kleinste

$$\text{normalisierte Zahl: } \frac{1}{B} \cdot B^{e_0} = B^{e_0-1}$$

$$\text{darstellbare Zahl grösser Null: } B^n \cdot B^{e_0} = B^{e_0+n}$$

Allgemeines:

- ungleichmässig Verteilt
- Dichte nimmt bei wachsender Zahlengrösse exponentiell ab
- Approximationsfehler bei grossen Zahlen entsprechend grösser

## 4.15 Newton-Verfahren

### 4.15.1 Lineare Gleichungssysteme

$$x_{k+1} F(x_k) = x_k - \frac{f(x)}{f'(x)} \quad (4.37)$$

### Konvergenzgeschwindigkeit

$$\lim_{x \rightarrow a} F'(x) \quad (4.38)$$

### Konvergenzfaktor

$$F'(s) \quad \text{mit } s : \text{Fixpunkt} \quad (4.39)$$

### Konvergenzordnung

linear	$F'(s) \neq 0$	und	$ F'(s)  < 1$
quadratisch	$F'(s) = 0$	und	$F''(s) \neq 0$
kubisch	$F''(s) = F'(s) = 0$	und	$F''' \neq 0$

## 4.15.2 Nichtlineare Gleichungssysteme

$$\underline{f} = \begin{pmatrix} f(x, y) \\ g(x, y) \end{pmatrix}$$

$$J_f = \begin{pmatrix} f_x & f_y \\ g_x & g_y \end{pmatrix} \quad \text{Jacobi-Matrix}$$

$$\underline{x}_{k+1} = \underline{x}_k - J_f^{(-1)} \cdot \underline{f} \quad \text{mit} \quad \underline{x}_0 = \begin{pmatrix} x_0 \\ y_0 \end{pmatrix}$$

$$\text{Vereinfachung: } \underline{h} = -J_f^{(-1)} \cdot \underline{f} \implies \underline{x}_{k+1} = \underline{x}_k + \underline{h}$$

## 4.16 Apriori Fehlerabschätzung

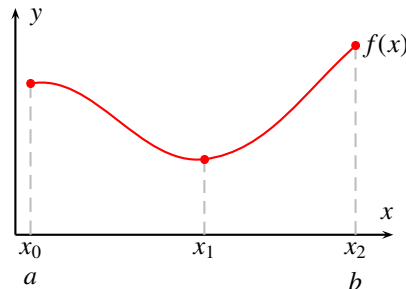
$$\|x_n - x_k\| \leq L^k < \frac{1}{1-L} \cdot \|x_1 - x_0\| \quad (4.40)$$

$$k \geq \frac{\ln(\epsilon \cdot (1-L) \cdot \|x_1 - x_0\|^{-1})}{\ln(L)} \quad (4.41)$$

## 4.17 Newton-Cotes-Regeln

Beispiel: Simpson

$$I = \frac{h}{3}(y_0 + 4y_1 + y_2) = \int_a^b f(x) dx \quad (4.42)$$



$$h = x_1 - x_0$$

## 4.18 Gauss-Quadratur

$$\int_a^b f(x) dx \approx \sum_{k=1}^n w_k \cdot f(x_k) \quad (4.43)$$

Genauigkeitsgrad:  $2n-1$

$$f \equiv 1 \quad \int_a^b dx = b - a = \sum_{k=1}^n w_k$$

$$f \equiv x \quad \int_a^b x dx = \frac{b^2}{2} - \frac{a^2}{2} = \sum_{k=1}^n w_k \cdot x_k$$

$$f \equiv x^2 \quad \int_a^b x^2 dx = \frac{b^3}{3} - \frac{a^3}{3} = \sum_{k=1}^n w_k \cdot x_k^2$$

Vandermode-Matrix

$$V \cdot \underline{w} = \underline{b} \quad \implies \quad \underline{w} = V^{-1} \cdot \underline{b} \quad \text{falls } \det(V) \neq 0 \quad (4.44)$$

## 4.19 Orthogonal-Polynome

Skalarprodukt:

$$(f, g) = \int_a^b w(x) \cdot f(x) \cdot g(x) dx$$

Orthogonalpolynome  $p_0, p_1, p_2, \dots$ , usw.

$$p_0 = 1$$

$$p_1 = x + a$$

$$p_2 = x^2 + bx + c$$

$\vdots$

usw.

Bedingung:

$$(p_0, p_1) = 0$$

$$(p_0, p_2) = 0$$

$$(p_1, p_2) = 0$$

$\vdots$

usw.

Alle Orthogonalpolynome müssen gegenseitig Skalarmultipliziert 0 ergeben  $\implies$  Gleichungssystem in  $a, b, c$ , usw.



**Teil II**  
**Physik**



# **Kapitel 5**

# **Mechanik**

## 5.1 Kinematik

### 5.1.1 Geschwindigkeit $v$

$$v = \frac{s}{t} \quad \left[ \frac{m}{s} \right] \quad (5.1)$$

$$v_{(t)} = \frac{\delta s}{\delta t} \quad \left[ \frac{m}{s} \right] \quad (5.2)$$

### 5.1.2 Beschleunigung $a$

Negative Beschleunigungen nennt man auch: **Verzögerung**.

$$a = \frac{v}{t} \quad \left[ \frac{m}{s^2} \right] \quad (5.3)$$

$$a_{(t)} = \frac{\delta v}{\delta t} \quad \left[ \frac{m}{s^2} \right] \quad (5.4)$$

Für  $a = \text{const}$  gilt:

$$s_{(t)} = \frac{a}{2}(t - t_1)^2 + v_1(t - t_1) + s_1 \quad [m] \quad (5.5)$$

$$v_{(t)} = a(t - t_1) + v_1 \quad \left[ \frac{m}{s} \right] \quad (5.6)$$

Für  $a_{(t)} = pt + q$  gilt:

$$v_{(t)} = \frac{p}{2}t^2 + q \cdot t + v_0 \quad \left[ \frac{m}{s} \right] \quad (5.7)$$

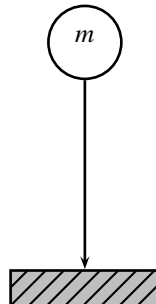
$$s_{(t)} = \frac{p}{6}t^3 + \frac{q}{2}t^2 + t \cdot v_0 + s_0 \quad [m] \quad (5.8)$$

Für  $a_{(t)} = kt^n$  gilt:

$$v_{(t)} = \frac{k}{n+1}t^{n+1} + v_0 \quad \left[ \frac{m}{s} \right] \quad (5.9)$$

$$s_{(t)} = \frac{k}{(n+1)(n+2)}t^{n+2} + t \cdot v_0 + s_0 \quad [m] \quad (5.10)$$

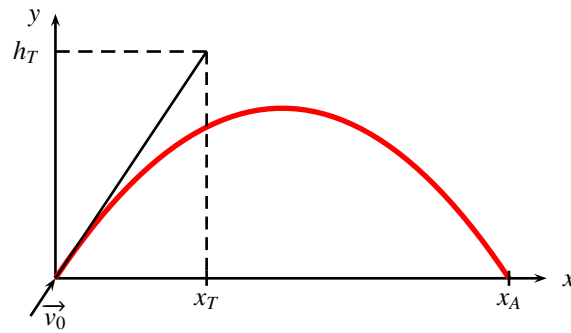
### 5.1.3 Freier Fall



$$t_{\text{end}} = \sqrt{\frac{2h}{g}} \quad [s] \quad (5.11)$$

$$v_{(t)} = g \cdot t \quad \left[ \frac{m}{s} \right] \quad (5.12)$$

### 5.1.4 Schiefer Wurf (ohne Reibung)



$$v_{x0} = \|\vec{v}_0\| \cdot \cos \alpha \quad \left[ \frac{m}{s} \right] \quad (5.13)$$

$$v_{y0} = \|\vec{v}_0\| \cdot \sin \alpha \quad \left[ \frac{m}{s} \right] \quad (5.14)$$

$$t_A = \frac{2 \cdot v_{y0}}{g} = \frac{2 \cdot v_0 \cdot \sin \alpha}{g} \quad [s] \quad (5.15)$$

$$x_A = \frac{2}{g} \cdot v_0^2 \cdot \cos \alpha \cdot \sin \alpha = v_0^2 \frac{\sin 2\alpha}{g} \quad [m] \quad (5.16)$$

$$t_T = \frac{x_T}{v_{x0}} = \frac{x_T}{v_0 \cdot \cos \alpha} \quad [s] \quad (5.17)$$

$$y_{T(x_T)} = -\frac{g}{2} \cdot \frac{x_T^2}{v_{x0}^2} + h_T \quad [m] \quad (5.18)$$

Bahnkurve:

$$y(x) = -\frac{g}{2} \cdot \frac{x^2}{v_{x0}^2} + x \cdot \frac{v_{y0}}{v_{x0}} \quad [m] \quad (5.19)$$

Für horizontalen Abschuss:

$$y(x) = -\frac{g}{2 \cdot v_{x0}^2} \cdot x^2 \quad [m] \quad (5.20)$$

### 5.1.5 Kreisbewegung $\phi(t)$

Skalar:

$$\phi(t) = \frac{b}{r} \quad [rad] \quad (5.21)$$

Vektor:

$$\vec{\phi}(t) = \frac{b}{r} \cdot \frac{\vec{e}}{\|\vec{e}\|} \quad [rad] \quad (5.22)$$

### 5.1.6 Winkelgeschwindigkeit $\omega(t)$

Skalar:

$$\omega(t) = \frac{\phi_2 - \phi_1}{t_2 - t_1} \quad \left[ \frac{rad}{s} \right] \quad (5.23)$$

Vektor:

$$\vec{\omega}(t) = \omega(t) \cdot \hat{e} = \omega(t) \cdot \frac{\vec{e}}{\|\vec{e}\|} \quad \left[ \frac{rad}{s} \right] \quad (5.24)$$

### 5.1.7 Winkelbeschleunigung $\alpha_{(t)}$

$$\alpha_{(t)} = \frac{\delta\omega}{\delta t} = \frac{\omega_2 - \omega_1}{t_2 - t_1} \quad \left[ \frac{\text{rad}}{\text{s}^2} \right] \quad (5.25)$$

$$\vec{\alpha}_{(t)} = \alpha_{(t)} \cdot \hat{e} \quad (5.26)$$

$$s = r \cdot \phi \quad [\text{m}] \quad (5.27)$$

$$v_{\text{tangential}} = r \cdot \omega \quad \left[ \frac{\text{m}}{\text{s}} \right] \quad (5.28)$$

$$a_{\text{tangential}} = r \cdot \alpha \quad \left[ \frac{\text{m}}{\text{s}^2} \right] \quad (5.29)$$

### 5.1.8 Kreisförmige Bewegung (Gleichförmig)

Zentripetalbeschleunigung  $a_p$  zeit in Richtung Kreismittelpunkt:

$$\|\vec{a}_p\| = \omega^2 r \quad (5.30)$$

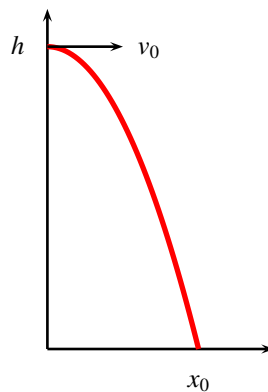
$$\vec{a}_p = -\omega^2 \vec{r} = -\frac{v^2}{r^2} \cdot \vec{r} \quad (5.31)$$

mit

$$\begin{aligned} \omega &: \text{Kreisfrequenz} \\ \nu &= \frac{\omega}{2\pi} : \text{lineare Frequenz} \\ T &= \frac{1}{\nu} : \text{Periode} \end{aligned}$$

$$a_p = \omega^2 r = \frac{v_{\text{tan}}^2}{r} \quad \implies \quad \omega = \frac{v_{\text{tan}}}{r}$$

### 5.1.9 Horizontaler Wasserstrahl



$$x_0 = \sqrt{\frac{2hv_0^2}{g}} \quad (5.32)$$

$$y = \frac{g}{2v_0^2} \cdot x^2 \quad (5.33)$$

Krümmungsradius der Parabel in  $O$

$$r = \frac{v_0^2}{g} \quad (5.34)$$

allgemein:

$$r = \frac{1}{2A} \quad \text{Scheitelkrümmungsradius der Parabel} \quad (5.35)$$

## 5.2 Dynamik

### 5.2.1 Kraft

$$\vec{F} = m \cdot \vec{a} \quad [N] \quad (5.36)$$

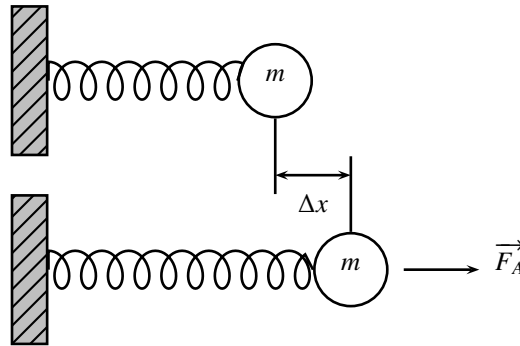
in der relativistischen Physik (wurde so von Newton formuliert):

$$\vec{F} = \frac{\Delta(m \cdot \vec{v})}{\Delta t} \quad (5.37)$$

### 5.2.2 Gravitation

$$F_s = m \cdot g \quad [N] \quad \text{mit } g = 9.81 \quad (5.38)$$

### 5.2.3 Federkraft



$$k \cdot \Delta x = F_A = -F_F \quad (5.39)$$

mit

- $k$  : Federkonstante
- $F_A$  : äussere Kraft
- $F_F$  : Federkraft

### 5.2.4 Newton

#### Trägheitsgesetz

Massepunkt, auf den keine Kräfte wirken ist in Ruhe oder auf gleichförmiger, geradliniger Bewegung.

#### Definition der Kraft

$$\vec{F} = \frac{\Delta(m \cdot \vec{v})}{\Delta t} \quad \text{mit } m(v) = \frac{m_0}{\sqrt{1 - \frac{v^2}{c^2}}} \quad (5.40)$$

### 5.2.5 Aktion / Reaktion

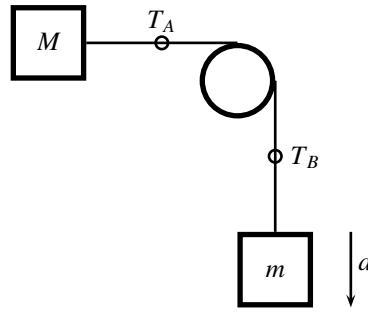
Kräfte, die zwei Körper aufeinander ausüben sind gleich:

$$F_{ij} = -F_{ji} \quad i \text{ übt Kraft auf } j \text{ aus} \quad (5.41)$$

### 5.2.6 D'Alembert'sches Gesetz

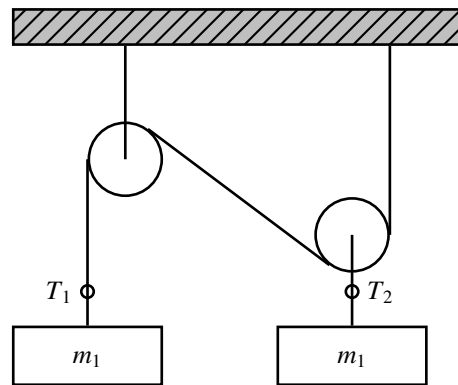
$$\sum F = 0 \quad (5.42)$$

### 5.2.7 "Freier Fall" mit Hemmung



$$a = \frac{m}{m+M} \cdot g \quad T_B = m(g-a) \quad T_A = \frac{mM}{m+M} \cdot g \quad (5.43)$$

### 5.2.8 Flaschenzug

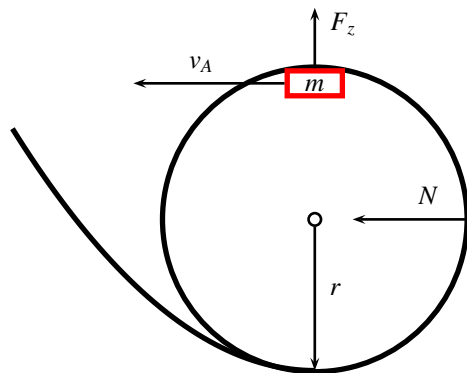


$$T_1 = m_1(g-a) \quad \text{und} \quad T_2 = m_2\left(g + \frac{a}{2}\right) \quad (5.44)$$

$$2T_1 = T_2 \quad (5.45)$$

$$a = g \cdot \frac{m_1 - \frac{m_2}{2}}{m_1 + \frac{m_2}{4}} \quad (5.46)$$

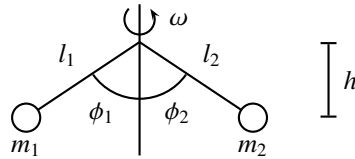
### 5.2.9 Looping



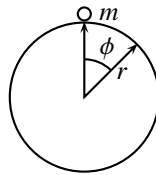
$$F_z = \frac{m \cdot v_A^2}{r} = m \cdot g + N \quad \text{und} \quad v_A \text{ kritisch } (N = 0) : v_A = \sqrt{gr} \quad (5.47)$$



## 5.2.10 Zentrifugalkraft



$$h = \frac{g}{\omega^2} \quad 1 \geq \cos(\phi_2) = \frac{g}{\omega^2 \cdot l_2} \rightarrow \omega_i \geq \sqrt{\frac{g}{l_i}} \quad (5.48)$$



$$F_p = m \cdot a_p \quad \text{mit} \quad a_p = \omega^2 \cdot r \quad \text{und} \quad \omega = \frac{\phi}{t} \quad (5.49)$$

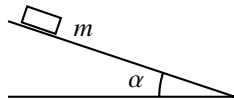
Es gilt auch:  $\vec{F}_{\text{zentripetal}} = -\vec{F}_{\text{zentrifugal}}$

## 5.2.11 Reibungskoeffizient $\mu$

**Haftreibungskoeffizient  $\mu_H$**

$$\|\vec{N}\| \cdot \mu_H = \|\vec{R}_{\text{max}}\| \quad \text{mit} \quad \vec{N} : \text{Normalkraft} \quad \vec{R} : \text{Reibungskraft} \quad (5.50)$$

$$\mu_H = \frac{\|\vec{R}_{\text{max}}\|}{\|\vec{N}\|} = \tan(\alpha_{\text{kritisch}})$$

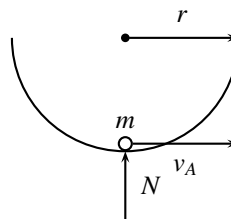


**Gleitreibungskoeffizient  $\mu_G$**

$$\mu_G < \mu_H \quad \text{nicht Geschwindigkeitsabhängig!}$$

Stahl-Stahl:  $\mu_H = 0.15$   $\mu_G = 0.12$

## 5.2.12 Kugel in Mulde



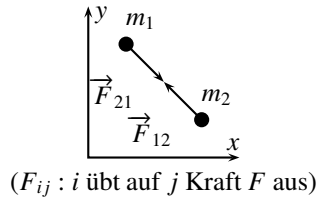
$$N = m \left( g + \frac{v_A^2}{r} \right) \quad (5.51)$$

## 5.2.13 Gravitation

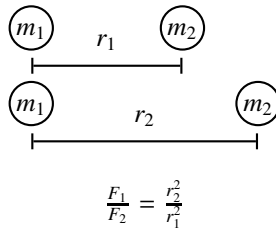
**Universelle Gravitationskonstante  $G$**

$$G = 6.67 \cdot 10^{-11} \left[ \frac{N \cdot m}{kg^2} \right] \quad (5.52)$$

### 5.2.14 Anziehung von Punktmassen



$$F = \frac{G \cdot m_1 \cdot m_2}{r^2} \quad \text{mit } r : \text{Abstand der Punkte} \quad (5.53)$$



### Punktmasse ausserhalb Kugelmasse

Zentralsymmetrische Kugelmassenverteilung  $\rho = m \cdot V^{-1}$ . Masse kann als Punkt im Zentrum angenommen werden.

### 5.2.15 Zusammenhang zwischen $g$ und $G$

$$\rho_{\text{Erde}} = \frac{3 \cdot g}{G \cdot 4 \cdot \pi \cdot r} \quad g = \frac{M \cdot G}{r^2} \quad (5.54)$$

### Umlaufzeit

$$M_{\text{Sonne}} \gg m_{\text{planet}} \quad \frac{G \cdot M_{\text{Sonne}}}{4 \cdot \pi^2} = \frac{r^3}{T^2} \quad (5.55)$$

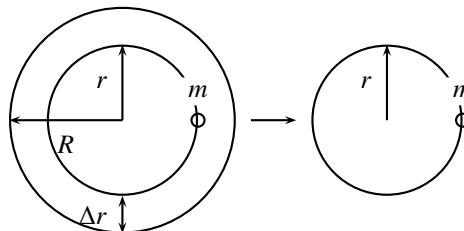
### 3. Kepler'sches Gesetz

$$\frac{T^2}{r^3} \text{ ist konstant} \quad \frac{T_1^2}{R_1^3} = \frac{T_2^2}{R_2^3} \quad (5.56)$$

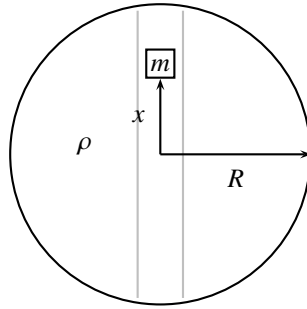
### Punktmasse innerhalb Kugelmasse

(Zentralsymmetrische Dichteverteilung)

Eine Kugelschale mit konstanter Dichte  $\rho$  übt auf eine Masse  $m$ , die sich innerhalb dieser Kugelschale befindet *keine* Gravitationskraft aus.

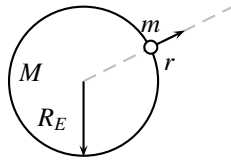


## Erde mit Kanal



$$a(t) = -\frac{4}{3}\pi \cdot G \cdot \rho \cdot x(t) \quad (5.57)$$

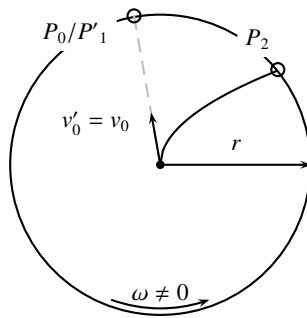
## Flucht von der Erde



$$a(r) = -g \cdot \frac{R_E^2}{r^2} \quad \text{mit} \quad g = \frac{G \cdot M}{R_E^2} \quad (5.58)$$

$$v_0 = \sqrt{2 \cdot g \cdot R_E} \quad (5.59)$$

## Coriolis-Kraft



$$b_c = 2 \cdot v'_0 \cdot \omega$$

$$F_c = m \cdot b_c$$

mit

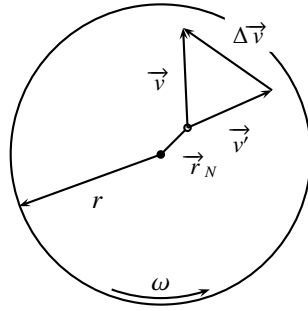
$b_c$  : Coriolis-Beschleunigung

$F_c$  : Coriolis-Kraft

$$\vec{F}_c = m \cdot \vec{b}_c = 2 \cdot m \cdot (\vec{v}' \times \vec{\omega})$$

$$\vec{b}_c = 2 \cdot \vec{v}' \times \vec{\omega}$$

## Geschwindigkeit im rot. System



$$\Delta \vec{v} = \vec{\omega} \times \vec{r}_N \quad (5.60)$$

$$\vec{v} = \vec{v}' + \vec{\omega} \times \vec{r}_N \quad (5.61)$$

$$\vec{v}' = \vec{v} - \vec{\omega} \times \vec{r}_N \quad (5.62)$$

## Beschleunigungen im rot. System

$$\vec{b}' = \vec{b} + 2\vec{v}' \times \vec{\omega} + \omega^2 \cdot \vec{r}_N \quad (5.63)$$

Alle "Strich"-Größen sind die des Plattenbewohners.

### 5.2.16 Arbeit $W$

$$W \left[ J = \frac{kg \cdot m^2}{s^2} = Nm = Ws \right] \quad (5.64)$$

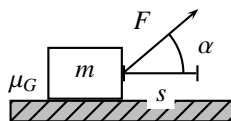
$$\Delta W = \Delta \vec{s} \circ \Delta \vec{F}_{(s)} = \|\Delta \vec{F}_{(s)}\| \cdot \|\Delta \vec{s}\| \cdot \cos(\alpha)$$

$$W = m \cdot v^2 \cdot \frac{1}{2}$$

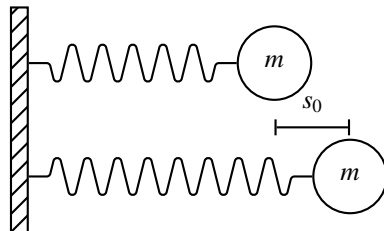
### Ziehen eines Schlittens

$$W = s \cdot \mu_G (m \cdot g - F \cdot \sin(\alpha))$$

$$F \cdot \cos(\alpha) = \mu_G (m \cdot g - F \cdot \sin(\alpha))$$



### Feder mit Federkonstante $k$



$$W = k \cdot \frac{s_0^2}{2} \quad (5.65)$$

### 5.2.17 Leistung $P$

$$P = \frac{\Delta W}{\Delta t} \quad [W] \quad 1PS = 746W \quad (5.66)$$

## 5.2.18 Energie $E$

Energie ist das Vermögen Arbeit zu leisten:  $E$  [J]

### Energieerhaltungssatz

$$E_{\text{vorher}} = E_{\text{nachher}} \quad (5.67)$$

### Potentielle Energie

$$E_L = E_{Pot} = m \cdot g \cdot h \quad (5.68)$$

### Reversible Deformationsenergie

$$E_D = \frac{1}{2} \cdot k \cdot s_0^2 \quad (5.69)$$

(potentielle Energie)

### Kinetische Energie

$$E_K = E_{Kin} = \frac{1}{2} \cdot m \cdot v^2 \quad (5.70)$$

### Wärme-Energie

$$E_{reib} = \mu_G \cdot N \cdot s \quad (5.71)$$

(kann weder direkt noch vollständig zurückgewonnen werden)

### Energie der Masse (Einstein)

$$E = m \cdot c^2 \quad \text{mit } c = 3 \cdot 10^8 \left[ \frac{m}{s} \right] \quad (5.72)$$

$$m_{(v)} = \frac{m_0}{\sqrt{1 - \frac{v^2}{c^2}}} \quad \text{mit } m_0 : \text{ Ruhemasse} \quad (5.73)$$

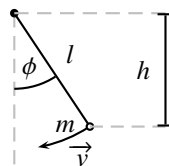
### Rotationsenergie

$$E_{K,R} = \frac{1}{2} \cdot I \cdot \omega^2 \quad (5.74)$$

$$I = \sum r_{Ni}^2 \cdot \Delta m_i \quad r_{Ni} \text{ ist normal zu ausgezeichneten Achse} \quad (5.75)$$

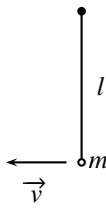
$I$	
Kugel	$\frac{2}{5} \cdot m \cdot r^2$
Stab (Drehachse in der Mitte der Längsachse)	$\frac{1}{12} \cdot m \cdot l^2$
Stab (Drehachse an einem Ende)	$\frac{1}{3} \cdot m \cdot l^2$
Vollzylinder (Drehachse in Längsachse)	$\frac{1}{2} \cdot m \cdot R^2$
Hohlzylinder (Drehachse in Längsachse)	$m \cdot R^2$

## 5.2.19 Mathematisches Pendel



Annahme:  $\phi \ll \frac{\pi}{2}$  so dass  $\sin(\phi) \approx \phi \implies \alpha = -\frac{g}{l} \cdot \phi$  (harmonischer Oszillator)

$$\omega^2 + \frac{g}{l} \cdot \phi^2 = \frac{2 \cdot E}{l^2 \cdot m} \quad \text{mit } \phi \ll \frac{\pi}{2} \quad (5.76)$$



$$\phi(t) = \phi_{max} \cdot \sin(\Omega t)$$

$$\omega(t) = \Omega \cdot \phi_{max} \cdot \cos(\Omega t)$$

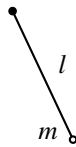
mit

$$\Omega = \sqrt{\frac{g}{l}}$$

### Bemerkung

$$\ddot{y} = -\lambda \cdot y \quad \text{z.B. Feder: } \lambda = \frac{k}{m} \quad (5.77)$$

### Pendeluhr



$$T^{-1} = \nu = \frac{\Omega}{2\pi} = \frac{\sqrt{\frac{g}{l}}}{2\pi} \quad (5.78)$$

$$T = \frac{2\pi}{\sqrt{\frac{g}{l}}} = 2\pi \sqrt{\frac{l}{g}} \quad (5.79)$$

Lösung der Bewegungsgleichung mit Anfangsbedingung:

$$\phi(0) = \phi_{max} \quad \omega(0) = 0$$

$$\phi(t) = \phi_{max} \cdot \cos(\Omega t)$$

$$\omega(t) = -\Omega \cdot \phi_{max} \cdot \sin(\Omega t)$$

$$\alpha(t) = -\Omega^2 \cdot \phi_{max} \cdot \cos(\Omega t) \quad \text{wobei } \Omega = \sqrt{\frac{g}{l}}$$

## 5.2.20 System von Massepunkten

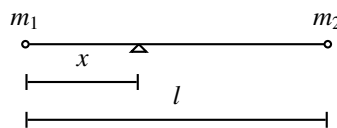
### Gleichgewicht

$$\sum \vec{F}_{\text{äussere}} = 0 \quad (5.80)$$

### Drehmoment

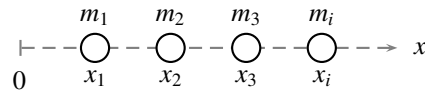
$$\vec{T} = \vec{r} \times \vec{F} \quad \text{Drehmoment bezüglich eines bel. Punktes} \quad (5.81)$$

$$\sum \vec{T}_i = \sum (\vec{r}_i \times \vec{F}_i) = 0 \quad \text{2. Bedingung für Gleichgewicht} \quad (5.82)$$

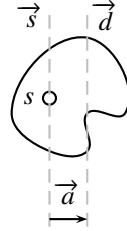


$$x = \frac{l \cdot m_2}{m_1 + m_2} \quad \Rightarrow \quad \text{System im Gleichgewicht}$$

## Schwerpunkt


$$M \cdot x_s = \sum_{i=1}^N m_i \cdot x_i \quad M = \sum_{i=1}^N m_i \quad (5.83)$$

## Satz von Steiner



$I_s$  : Trägheitsmoment bezüglich  $\vec{s}$

$I_d$  : Trägheitsmoment bezüglich  $\vec{d}$

$$I_d = I_s + M \cdot a^2 \quad (5.84)$$

## Schwerpunktsatz

Der Schwerpunkt in einem System von Massepunkten bewegt sich als ob in ihm die ganz Massenkonzentration wäre, und sämtliche äusseren Kräfte an ihm angreifen würden.

### 5.2.21 Impuls

#### Definition

$$\vec{p} = m \cdot \vec{v} \quad \left[ \frac{\text{kg} \cdot \text{m}}{\text{s}} \right] \quad (5.85)$$

#### Zusammenhang mit $E_{Kin}$

$$E_{Kin} = \frac{1}{2} \cdot m \cdot \vec{v} = \frac{p^2}{2 \cdot m} \quad (5.86)$$

#### Zusammenhang mit 2. Newton'schen Gesetz

$$\lim_{\Delta t \rightarrow 0} \frac{\Delta \vec{p}}{\Delta t} = \frac{\partial \vec{p}}{\partial t} = \vec{F} \quad (5.87)$$

### 5.2.22 Impulserhaltung

#### Für 2 Massepunkte

$$\vec{p}_1 + \vec{p}_2 = \text{konstant} \quad (5.88)$$

$$\vec{p}_{total} = \sum \vec{p}_i \quad (5.89)$$

#### Für $n$ Massepunkte

$$\frac{\partial \vec{p}_{total}}{\partial t} = \vec{F}_{total} \quad (5.90)$$

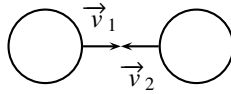
$$\frac{\partial}{\partial t} \sum_i \vec{p}_i = \sum_j \vec{F}_j \quad (5.91)$$

$\vec{F}_{total}$  und  $\vec{F}_i$  als äussere Kräfte.

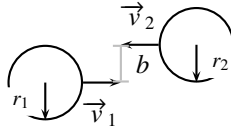
## Arten von Impulserhaltung

1. *Unelastisch*: Körper sind zusammen
2. *Inelastisch*: Körper sind deformiert, Oszillation
3. *Elastisch*: Kein Energieverlust, **existiert nicht!**

## Stossparameter $b$



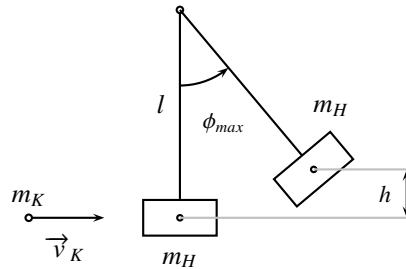
gerader zentraler Stoss  $b = 0$



gerader nicht zentraler Stoss  $b > 0$

$$\begin{aligned} r_1 + r_2 < b &\rightarrow \text{kein Stoss} \\ r_1 + r_2 \geq b &\rightarrow \text{Stoss der Art 1...3} \end{aligned}$$

## 5.2.23 Ballistisches Pendel

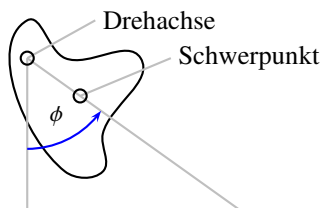


$$\text{Impulserhaltung: } m_K \cdot v_K = v_H(m_K + m_H)$$

$$\text{Energieerhaltung: } \frac{1}{2}(m_K + m_H) \cdot v_H^2 = g \cdot h \cdot (m_K + m_H)$$

$$\Rightarrow v_K = \frac{m_K + m_H}{m_K} \cdot \sqrt{2 \cdot l \cdot g \cdot (1 - \cos(\phi_{max}))} \quad (5.92)$$

## 5.2.24 Physikalisches Pendel



$$I_{K,D} = I_{K,S} + l^2 \cdot m$$

$$-l \cdot m \cdot g \cdot \sin(\phi) = I_{K,D} \cdot \ddot{\phi} \quad (5.93)$$



Für kleine Ausschläge:  $\sin(\phi) = \phi$

$$\Rightarrow f = -\frac{l \cdot m \cdot g}{I_{K,S} + m \cdot l^2} \cdot \phi$$

$$\phi_{(t)} = \phi_0 \cdot \cos(\omega t) \quad \text{mit} \quad \omega = \sqrt{\frac{l \cdot m \cdot g}{I_{K,S} + m \cdot l^2}}$$

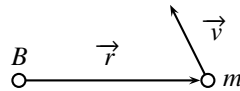
$$T = \tau = 2\pi \sqrt{\frac{I_{K,S} + m \cdot l^2}{l \cdot m \cdot g}}$$

## 5.2.25 Drehimpuls / Drall

### Definition

Mit fixer Drehachse:

$$\vec{L}_{\parallel} = I \cdot \vec{\omega} \quad \text{Drehachse parallel zu } \vec{L}_{\parallel} \quad (5.94)$$



$$\vec{L} = \vec{r} \times \vec{p} \quad \text{mit} \quad \vec{p} = m \cdot \vec{v} \quad (5.95)$$

$$\vec{L} = \sum_i \vec{r}_i \times \vec{p}_i = \sum_i \vec{L}_i \quad (5.96)$$

### Drehimpulserhaltung

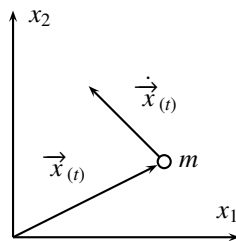
Analog zu  $\frac{\partial \vec{p}}{\partial t} = \vec{F}$

$$\frac{\partial \vec{L}}{\partial t} = \vec{T} \quad (5.97)$$

$$\vec{L} = \vec{r} \times \vec{p}$$

$$\vec{T} = \vec{r} \times \vec{F}$$

### Zentralproblem



$$m \cdot \ddot{\vec{x}} = \frac{\vec{x}}{\|\vec{x}\|} \cdot f(\|\vec{x}\|) \quad (5.98)$$

$f < 0 \rightarrow$  Anziehung

$f > 0 \rightarrow$  Abstossung



## **Kapitel 6**

# **Hydromechanik**

## 6.1 Definitionen

### 6.1.1 Hydrostatik

Lehre vom Kräftegleichgewicht in ruhenden Flüssigkeiten.

### 6.1.2 Hydrodynamik

Lehre vom Strömungsgesetzen in bewegten Flüssigkeiten.

### 6.1.3 Dichte $\rho$

$$\rho = \frac{\text{Masse}}{\text{Volumen}} = \frac{\partial M}{\partial V} \left[ \frac{\text{kg}}{\text{m}^3} \right] \quad (6.1)$$

### 6.1.4 Spezifisches Gewicht $\gamma$

$$\gamma = \frac{\text{Gewicht}}{\text{Volumen}} = \frac{\partial G}{\partial V} = \frac{\partial m \cdot g}{\partial V} \left[ \frac{\text{N}}{\text{m}^3} \right] \quad (6.2)$$

$$\gamma = g \cdot \rho \quad (6.3)$$

### 6.1.5 Druck $p$

$$p = \frac{\text{Kraft}}{\text{Fläche}} = \frac{\partial F_N}{\partial A} \quad (6.4)$$

#### Einheiten des Druckes

$$1 \text{ Pa} = 1 \frac{\text{N}}{\text{m}^2} \quad (\text{Pascal})$$

$$1 \text{ bar} = 10^5 \text{ Pa}$$

$$1 \text{ atm} = 1.01325 \text{ bar} \quad (\text{Normaldruck auf Meereshöhe})$$
$$= 760 \text{ mmHg}$$

$$1 \text{ torr} = 1 \text{ mmHg} \quad (0^\circ \text{C})$$

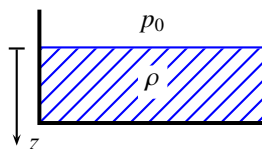
$$= 1.3332 \cdot 10^2 \text{ Pa}$$

$$1 \text{ at} = 10 \text{ mH}_2\text{O} \quad (\text{bei } 4^\circ \text{C})$$

$$= \frac{\text{kp}}{\text{cm}^2}$$

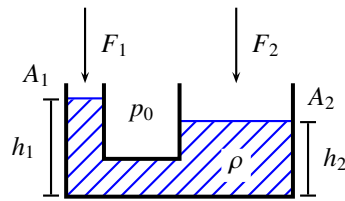
## 6.2 Druck

### 6.2.1 Schweredruck



$$p(z) = \frac{\partial F}{\partial A} = p_0 + \rho \cdot g \cdot z \quad (6.5)$$

## 6.2.2 Hydrostatische Übersetzung



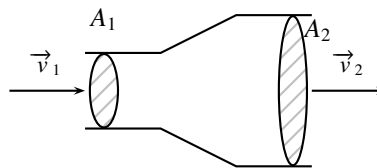
$$\frac{A_2}{A_1} = \frac{F_2}{F_1} + \frac{A_2}{A_1} \cdot \rho \cdot g \cdot (h_2 - h_1) \quad (6.6)$$

## 6.2.3 Auftrieb $F_A$ (Archimedes)

Der Auftrieb  $F_A$  ist dem Betrag nach gleich dem Gewicht der verdrängten Flüssigkeit. Die Luft kann eigentlich vernachlässigt werden.

- $\vec{F}_A$  ist parallel zum vorhandenen Beschleunigungsfeld (im Allgemeinen  $\vec{g}$ ).
- Angriffspunkt von  $F_A$  ist der Schwerpunkt der **verdrängten Flüssigkeit**.

## 6.2.4 Bernoulli



$$v_1 \cdot A_1 = v_2 \cdot A_2 \quad \Leftrightarrow \quad \frac{v_1}{v_2} = \frac{A_2}{A_1} \quad (6.7)$$

$$p_1 + \frac{1}{2} \cdot \rho \cdot v_1^2 + \rho \cdot h_1 \cdot g = p_2 + \frac{1}{2} \cdot \rho \cdot v_2^2 + \rho \cdot h_2 \cdot g \quad (6.8)$$

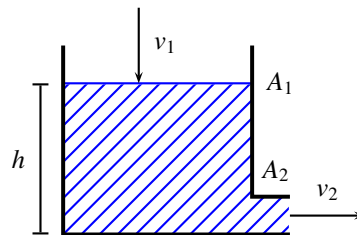
Gilt nur für eine Stromlinie einer inkompressiblen Flüssigkeit.

Erklärung:

$$\underbrace{p_1}_{\text{Betriebsdruck}} + \underbrace{\frac{1}{2} \cdot \rho \cdot v^2}_{\text{dyn. Druck, Staudruck}} + \underbrace{\rho \cdot h \cdot g}_{\text{Schweredruck}}$$

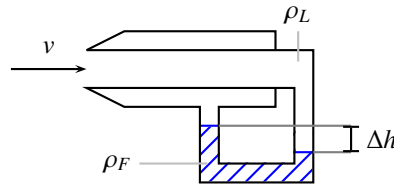
wobei: *Betriebsdruck*+*Schweredruck*=*Statischer Druck*

## 6.2.5 Ausflussgeschwindigkeit



$$\frac{A_1}{A_2} \gg 1 \quad \text{das heisst} \quad v_1 \rightarrow 0 \quad \Rightarrow \quad v_2 = \sqrt{2 \cdot g \cdot h} \quad (6.9)$$

## 6.2.6 Pitot-Rohr



$$v = \sqrt{\frac{2 \cdot g \cdot \rho_F \cdot \Delta h}{\rho_L}} \quad (6.10)$$

## 6.3 Widerstand

### 6.3.1 Reibungswiderstand

Der Reibungswiderstand ist proportional zur Geschwindigkeit.

$$F_r = 6 \cdot \pi \cdot r \cdot v \cdot \eta \quad (6.11)$$

$$\eta \left[ \frac{N \cdot s}{m} = \frac{kg}{m \cdot s} \right] : \text{Viskosität}$$

$$\eta_{\text{Luft}} = 1.8 \cdot 10^{-5} \left[ \frac{kg}{m \cdot s} \right]$$

#### Beispiel: Regentropfen

$v_0$  : stationäre Fallgeschwindigkeit

$$v_0 = \frac{2 \cdot r^2 \cdot g \cdot (\rho_{\text{Wasser}} - \rho_{\text{Luft}})}{9 \cdot \eta_{\text{Luft}}}$$

### 6.3.2 Druckwiderstand

Dominant bei turbulenter Strömung

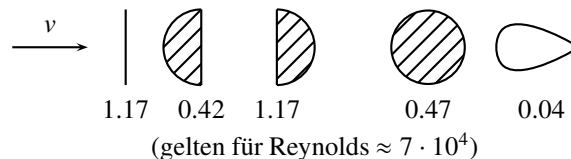
$$F_D = c_D \cdot A \cdot \frac{1}{2} \cdot \rho \cdot v^2 \quad (6.12)$$

$A$  : Querschnitt bezüglich Bewegungsrichtung  
 $c_D$  : Druckwiderstandsbeiwert, Formfaktor  
 $\rho$  : Dichte des Mediums

### 6.3.3 Gesamtwiderstand

$$F_W = F_r + F_D \quad \Rightarrow \quad F_W = c_W \cdot A \cdot \frac{1}{2} \cdot \rho \cdot v^2 \quad (6.13)$$

$c_W$  : Widerstandsbeiwert, Abhängig von der Geschwindigkeit. Konstant wenn  $F_r \ll F_D$



### 6.3.4 Reynold'sche Zahl

$$Re = \frac{\hat{l} \cdot \rho \cdot v}{\eta} \quad (6.14)$$

mit

$$\hat{l} = \frac{4 \cdot A}{u} \quad : \text{ charakteristische Grösse, hydrodynamischer Durchmesser}$$

$u$  : Umfang

$$Re_{kritisch} \approx 2300$$





## **Kapitel 7**

# **Wärmelehre**

## 7.1 Definitionen

### 7.1.1 Wärmemenge $Q$

$$\dot{Q} = P \quad \Delta Q = P \cdot \Delta t \quad (7.1)$$

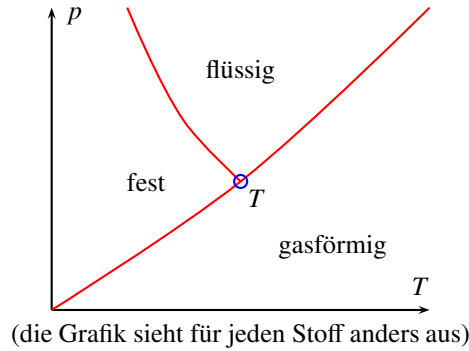
Bremswärme:

$$\Delta Q = F_R \cdot s = m \cdot g \cdot \mu_G \cdot s = \frac{1}{2} \cdot m \cdot v^2$$

### 7.1.2 Tripelpunkt

Tripelpunkt von  $H_2O$ :  $273.16K$ ,  $0.0076^\circ C$  und  $4.6mmHg$

Im Tripelpunkt herrscht Koexistenz von festem, flüssigem und gasförmigem Zustand.



### 7.1.3 Spezifische Wärme

$$\Delta Q' = c \cdot m \cdot \Delta T \quad (7.2)$$

$$c = \frac{1}{m} \cdot \frac{\partial Q'}{\partial t} \quad \left[ \frac{J}{kg \cdot K} \right] : \text{spezifische Wärme}$$

$\Delta Q'$  [J] : dem System zugeführte Wärmeenergie  
 $\Delta T$  [K] : Temperaturänderung

Stoff	c
Wasser	4182
Eis	2100
Eisen	465
Aluminium	896

### 7.1.4 Kalorie

1cal : Wärmemenge um 1ml Wasser von  $14.5^\circ C$  auf  $15.5^\circ C$  zu erwärmen.

1kcal = 4185.5J

### 7.1.5 Mischen

$$T_0 = \frac{c_1 \cdot m_1 \cdot T_1 + c_2 \cdot m_2 \cdot T_2}{c_1 \cdot m_1 + c_2 \cdot m_2} \quad (7.3)$$

$c_i$  : spezifische Wärme

$m_i$  : Masse

$T_i$  : abs. Temperatur (in K)

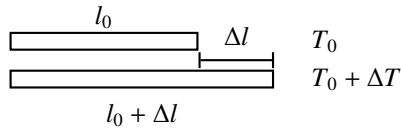
## 7.1.6 Spezifische Wärme für Gase

$$c_p = \frac{1}{m} \cdot \frac{\partial Q}{\partial T} \quad \text{für } p = \text{konstant} \quad (7.4)$$

$$c_v = \frac{1}{m} \cdot \frac{\partial Q}{\partial T} \quad \text{für } V = \text{konstant} \quad (7.5)$$

$$c_p > c_v \quad (7.6)$$

## 7.1.7 Längenausdehnung



$$\Delta l = \alpha \cdot l_0 \cdot \Delta T \quad (7.7)$$

$$l = l_0 \cdot (1 + \alpha \cdot \Delta T) \quad (7.8)$$

## 7.1.8 Volumenausdehnung

$$V = V_0 \cdot (1 + \gamma \cdot \Delta T) \quad \text{mit } \gamma \approx 3 \cdot \alpha \quad (7.9)$$

$$V = l^3 = l_0^3 (1 + \alpha \cdot \Delta T)^3 \quad \text{Annahme: } \alpha \cdot \Delta T \ll 1 \quad \implies \quad V = V_0 (1 + 3\alpha \cdot \Delta T) \quad (7.10)$$

## 7.1.9 Ideales Gas

**Isobar:**  $p$  konstant (Gay Lussac)

$$\frac{V_1}{V_2} = \frac{T_1}{T_2} \quad (7.11)$$

**Isochor:**  $V$  konstant (Amonton)

$$\frac{p_1}{p_2} = \frac{T_1}{T_2} \quad (7.12)$$

**Isotherm:**  $T$  konstant (Boyle Mariotte)

$$\frac{p_1}{p_2} = \frac{V_1}{V_2} \quad (7.13)$$

$$\frac{p_1}{\rho_1} = \frac{p_2}{\rho_2} \quad (7.14)$$

**Verkettung**

$$\frac{V_1 \cdot p_1}{T_1} = \text{konstant} \quad (7.15)$$

## 7.1.10 Stoffmenge in $kmol$

Die Lochmidt'sche Zahl  $L$  ist gleich der Anzahl der Atome in  $12kgC_6^{12}$  (6 Protonen, 6 Neutronen, 6 Elektronen, Bindungsenergie):

$$L = 6.023 \cdot 10^{26}$$

$$m = n \cdot M$$

$m$  : Masse

$n$  : Anzahl  $kmol$

$M$  : Masse eines  $kmol$

Molekül	$M$
$C_6^{12}$	12
$H^1$	1
$^1He$	4
$H_2O$	18
Luft ( $N_2, O_2$ )	29

### 7.1.11 Zustandsgleichung

$$p \cdot V = n \cdot R_M \cdot T \quad (7.16)$$

$T$  : absolute Temperatur

$V$  : Volumen

$n$  : Anzahl  $kmol$

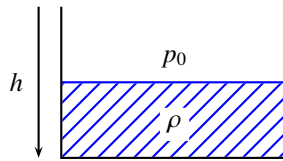
$p$  : Druck

$$R_M : \text{molare Gaskonstante} = 8.314 \cdot 10^3 \left[ \frac{J}{kmol \cdot K} \right]$$

$R_M$  ist Gasartunabhängig

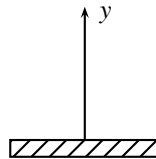
$$p = \rho \cdot R \cdot T \quad \text{und} \quad p \cdot V = m \cdot R \cdot T \quad \text{mit} \quad R = \frac{R_M}{M}$$

### 7.1.12 Luftdruckabnahme in Atmosphäre



$$p_{(h)} = \rho \cdot g \cdot h + p_0 \quad (7.17)$$

$$dp = \rho \cdot g \cdot dh \quad \text{auch gültig wenn } \rho_{(h)} \quad (7.18)$$



$$dp = -\rho_{(y)} \cdot g \cdot dy \quad (7.19)$$

$$\frac{dp}{dy} = -\frac{p}{R \cdot T} \cdot g \quad (7.20)$$

$$p_{(y)} = p_0 \cdot e^{-\frac{g}{RT} \cdot y} \quad T \text{ konstant für alle } y \text{ (gute Näherung)} \quad (7.21)$$

$$p_{(y)} = \rho_0 \cdot R \cdot T_0 \cdot e^{-\frac{\rho_0 \cdot g \cdot y}{p_0}} \quad (7.22)$$

## 7.2 Kinetische Gastheorie

### 7.2.1 Gas aus $n$ Molekülen (Punktmassen)

Kinetische Energie eines Teilchens:

$$E_i = \frac{\mu_i}{2} \cdot v_i^2$$

mit  $\mu_i$  als Masse eines Teilchens.

$$p_i = \frac{\mu \cdot \|\vec{v}_i\|^2}{V} \quad (7.23)$$

$N = n \cdot L$  für  $n$  kmol eines Gases

$$p_{total} = \frac{N \cdot \mu}{3 \cdot V} \cdot \overline{v^2} \quad (7.24)$$

Mittlere kinetische Energie eines Teilchens:

$$E = \frac{3}{2} \cdot k_B \cdot T \quad \text{mit} \quad k_B = \frac{R_M}{L} \quad (7.25)$$

$k_B$  : Boltzmann'sche Konstante

$$k_B = 1.38 \cdot 10^{-23} \quad \left[ \frac{J}{K} \right]$$

## 7.2.2 Mehratomige Moleküle

Jeder zusätzliche Freiheitsgrad liefert  $\frac{1}{2}k_B T$  kinetische Energie = *Aquipartitionsgesetz*

$$E_{kin} = \frac{f}{2} \cdot k_B \cdot T = \frac{f}{2} \cdot \frac{R_M}{L} \cdot T \quad (7.26)$$

$f$ : Freiheitsgrade	Anzahl Atome
3	1
5	2
6	> 2

## 7.2.3 Innere Energie $U$ eines Gases

$$U = n \cdot L \cdot E_{kin} \quad (7.27)$$

$$= n \cdot L \cdot \frac{f}{2} \cdot k_B \cdot T \quad (7.28)$$

$$= n \cdot R_M \cdot \frac{f}{2} \cdot T \quad (7.29)$$

$$= \frac{f}{2} \cdot p \cdot V \quad (7.30)$$

## 7.2.4 Gasgemische

$$M = \frac{n_1 \cdot M_1 + n_2 \cdot M_2}{n_1 + n_2} \quad (7.31)$$

## 7.2.5 Gesetz von Dalton

Der Druck eines Gasgemisches ist gleich der Summe der Partialdrücke:

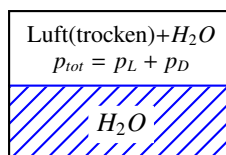
$$p = (\rho_1 \cdot R_1 + \rho_2 \cdot R_2) \cdot T \quad (7.32)$$

$$p = (\rho_1 + \rho_2) \cdot \bar{R} \cdot T \quad (7.33)$$

mit

$$\bar{R} = \frac{R_M}{\bar{M}} \quad \text{und} \quad \bar{M} = \frac{n_1 \cdot M_1 + n_2 \cdot M_2}{n_1 + n_2} = \frac{\sum_i n_i \cdot M_i}{\sum_i n_i}$$

## 7.2.6 Relative Feuchtigkeit $\phi$



$p_L$  : Druck trockener Luft

$p_D$  : Dampfdruck

Nach Dalton:  $p_f = p_L + p_D$  ( $p_f$  : feuchte Luft)

Relative Feuchtigkeit  $\phi(T)$ :

$$0 \leq \phi(T) = \frac{p_D}{p_s(T)} \leq 1 \quad (7.34)$$

$p_s$  : Sättigungsdruck,  $H_2O$ :

$$p_s(0^\circ) = 611 Pa$$

$$p_s(20^\circ) = 2357 Pa$$

$$p_s(100^\circ) = 1.01325 \cdot 10^5 Pa = 1 atm$$

## 7.3 Thermodynamik

### 7.3.1 1. Hauptsatz

$Q^\nearrow$  : die vom System an die Umgebung abgegebene Wärme

$Q^\swarrow$  : die vom System von der Umgebung aufgenommene Wärme

$$\Rightarrow Q^\nearrow = -Q^\swarrow \quad (7.35)$$

dito für  $W$ :  $W^\nearrow = -W^\swarrow$

$$\Delta U = Q^\swarrow + W^\swarrow$$

Die vom System aufgenommene Wärme  $Q^\swarrow$  und Arbeit  $W^\swarrow$  erhöht die innere Energie  $U$  des Systems um  $\Delta U$ .

#### Isochor

$$C_V = \frac{1}{2} f \cdot R_M$$

- Gasart unabhängig
- Atomgewichtsunabhängig

#### Isobar

$$\begin{aligned} C_p &= \frac{f}{2} \cdot R_M + R_M \\ &= R_M \left( 1 + \frac{f}{2} \right) \\ &= C_V + R_M \\ f &= \{3, 5, 6\} \end{aligned}$$

$$\begin{aligned} C_p &> C_V \\ \Delta U &= n \cdot C_V \cdot \Delta T & \Delta U &\neq n \cdot C_p \cdot \Delta T \\ c_p &= \frac{C_p}{M} & c_V &= \frac{C_V}{M} \\ C_p &= C_V + R_M & c_p &= c_V + R \end{aligned}$$

### 7.3.2 Adiabatische (isentropische) Prozesse

Dies sind Zustandsänderungen mit  $\Delta Q = 0$ . Es gilt immer noch:  $pV = nR_M T$

$$\chi = \frac{c_p}{c_V} = \frac{C_p}{C_V} = \frac{C_V + R_M}{C_V} = 1 + \frac{R_M}{C_V} \quad \text{mit} \quad C_V = \frac{f}{2} \cdot R_M \quad (7.36)$$

$$\chi = 1 + \frac{2}{f} \quad (7.37)$$

$$T_1 \cdot V_1^{\chi-1} = T_2 \cdot V_2^{\chi-1} \quad \text{dabei} \quad T \cdot V^{\chi-1} = \text{konstant}$$

$$p_1 \rightarrow p_2 \quad : \text{Berechnung mit } pV = nR_M T$$

$$T \cdot p^{\frac{1-\chi}{\chi}} = \text{konstant} \quad (V_1 = V_2)$$

$$p \cdot V^\chi = \text{konstant} \quad (T_1 = T_2)$$

## Bemerkungen

- Streng adiabatische Wände gibt es nicht.
- Grosse Systeme  $\rightarrow$  kleine Oberflächen ( $\Rightarrow$  adiabatisch)
- Schnelle Zustandsänderungen (Beispiel: Kolbenmotor)
- Schallgeschwindigkeit:

$$c_{Gas} = \sqrt{\chi \cdot R \cdot T}$$

Die Abhängigkeit ist für  $\bar{V}_{Gas}^2$  und  $C_{Gas}^2$  die Gleiche.

## 7.3.3 Kreisprozesse

Rechtsläufiger Kreisprozess gibt Arbeit an Umwelt ab.

$$W^\nearrow = \oint p dV = \oint dW > 0 Q_{zykl.}^\leftarrow = W_{zykl.}^\nearrow \quad (7.38)$$

## 7.3.4 2. Hauptsatz

Ohne Aufwendung von äusserer Arbeit strömt Wärme niemals von einem kälteren zu einem wärmeren Niveau.

## 7.3.5 Carnot-Zyklus

Dies ist ein idealer, reversibler Zyklus.

## 7.3.6 Wärme-Kraft-Maschine

Die Fläche unter  $\oint$  ist positiv. Rechtsläufiger Kreisprozess.  $Q$  fliesst von Warm nach Kalt.

## 7.3.7 Thermodynamischer Wirkungsgrad

$$\eta_{th} = \frac{Q_3^\leftarrow - Q_1^\rightarrow}{Q_3^\leftarrow} = 1 - \frac{Q_1^\rightarrow}{Q_3^\leftarrow} \quad (7.39)$$

Für nur reversible Prozesse gilt zusätzlich:

$$\eta_c = \eta_{ideal} = \eta_{rev.} = 1 - \frac{T_1}{T_2} \quad (7.40)$$

## 7.3.8 Arbeitsmaschine, Wärmepumpe

Linksläufiger Kreisprozess. Fläche unter  $\oint$  ist positiv.  $Q$  fliesst von Kalt nach Warm unter Zuführung von äusserer Arbeit.

## 7.3.9 Leistungszahl COP

(COP = coefficient of performance)

$$\epsilon_W = \frac{Q_3^\rightarrow}{Q_3^\rightarrow - Q_1^\leftarrow} = \frac{1}{1 - \frac{Q_1^\leftarrow}{Q_3^\rightarrow}} = \frac{1}{\eta_{th}} \quad (7.41)$$

Für reversible Prozesse gilt zusätzlich:

$$\epsilon_W = \frac{1}{\eta_c} = \frac{T_3}{T_3 - T_1} \quad (7.42)$$

## 7.4 Wärmeleitung

$\lambda$  : Wärmeleitfähigkeit

Wärmeleitungsgleichung nach Fourier:

$$\frac{dQ}{dt} = -\lambda \cdot A \cdot \frac{dT}{dx} \quad \lambda \quad \left[ \frac{W}{m \cdot K} \right] \quad (7.43)$$

$A$  : Querschnitt

$T$  : absolute Temperatur

### 7.4.1 Wärmestromdichte

$$\rho_Q \cdot v = -\lambda \frac{dT}{dx} \quad J = -\lambda \frac{dT}{dx} = \rho_Q \cdot v \quad (7.44)$$

$v$  : Propagation der Wärmedichte

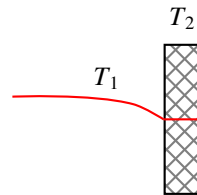
Verallgemeinerung

$$\vec{J} = -\lambda \cdot \text{grad}(T_{(x,y,z)}) \quad (7.45)$$

### 7.4.2 Wärmeübergang

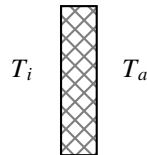
$\alpha$  : Wärmeübergangszahl

$$J = \frac{dQ}{dt \cdot A} = \alpha \cdot \Delta T \quad \text{mit} \quad \Delta T = T_1 - T_2 \quad (7.46)$$



Material	$\lambda$
Diamant	600
Kupfer	384
Beton	1
Luft	0.026
Eisen	74

$k$  : Wärmedurchgangszahl

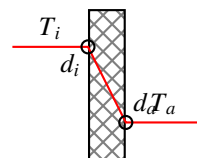


$$T_i > T_a \quad \Delta T = T_i - T_a$$

$$J = \frac{dQ}{dt \cdot A} = k \cdot \Delta T = k \cdot (T_i - T_a) \quad (7.47)$$

zweifaches Isolierglas:  $k = 3.0$

Wärmedämmglas:  $k = 1.3$



$$\frac{1}{k} = \frac{1}{\alpha_i} + \frac{d}{\lambda} + \frac{1}{\alpha_a} \quad (7.48)$$



## **Kapitel 8**

# **Wellenlehre**

## 8.1 Schwingung

Endlich grosse Störung eines Systems aus der Ruhelage. Sie propagiert **nicht!**

### Spezialfall: harmonische Schwingung

$$y(t) = A \cdot \cos(\omega t + \delta)$$

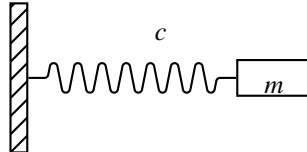
$$\omega = 2 \cdot \pi \cdot \nu$$

$$T_p = \nu^{-1}$$

$\delta$  = Nullphasenwinkel, Anphasenwinkel

$A$  = Amplitude

### 8.1.1 Erzwungene und gedämpfte Schwingung



$$m \cdot \ddot{y}(t) = F_{Feder} + F_{Reib} + F_{Erzwingen} \quad (8.1)$$

$$F_{Feder} = -c \cdot y(t)$$

$$F_{Erzwingen} = F_0 \cdot \cos(\omega_E \cdot t)$$

$$F_{Reib} = -a \cdot \frac{\dot{y}}{|\dot{y}|} \quad \text{Gleitreibung}$$

$$= -b \cdot \dot{y} \quad \text{Viskosereibung}$$

$$= -\tilde{b} \cdot (\dot{y})^2 \cdot \frac{\dot{y}}{|\dot{y}|} \quad \text{Druckwiderstand, z.B. Luft} \approx -v^2$$

bei  $F_{Reib} = -b\dot{y}$ :

$$m\ddot{y} = -cy - b\dot{y} + F_0 \cdot \cos(\omega_E \cdot t) \quad \omega_0^2 = \frac{c}{m} \quad D = \frac{b}{2 \cdot \omega_0 \cdot m} \quad (8.2)$$

$\omega_0$  : Schwingungsfrequenz des freien Oszillators

$D$  : Dämpfungsgrad

$$\ddot{y} = -\omega_0^2 \cdot y - w\omega_0 \cdot D \cdot \dot{y} + \frac{F_0}{m} \cos(\omega_E \cdot t)$$

freier Oszillator:  $D = F_0 = 0$

$$\ddot{y} = -\omega_0^2 \cdot y \quad (\text{homogene Differentialgleichung})$$

$$\implies y(t) = C \cdot \cos(\omega t + \phi)$$

$$\implies y(t) = A \cdot \cos(\omega t) + B \cdot \sin(\omega t)$$

$C, \phi$  bzw.  $A, B$  sind Anfangsbedingungen.

**Anfangsbedingung:**  $F_E \neq 0, D = 0$

$$y(t) = \frac{F_0}{\omega_0^2 - \omega_E^2} \cos(\omega_E t) + C \cdot \cos(\omega_0 t + \delta) \quad (8.3)$$

**Anfangsbedingung:**  $F_E \neq 0, D \neq 0$

$$y(t) = \frac{\frac{F_0}{m}}{\sqrt{(\omega_0^2 - \omega_E^2)^2 + (2 \cdot D \cdot \omega_0 \cdot \omega_E)^2}} \cos(\omega_E t + \delta) \quad (8.4)$$

## 8.2 Wellen

Ausbreitung

$$\begin{aligned}x' &= x - vt \\x &= x' + vt \\ \implies y_{(x,t)} &= y_0 \cdot (x - vt)\end{aligned}\tag{8.5}$$

$\frac{dx}{dt} = v$  : Propagationsgeschwindigkeit der Störung

$$y_{t(x)} = y_{(x,t)} = y_0 \cdot (x \mp vt)$$

In 2 und 3 Dimensionen gibt es eine Raumdämpfung:

$$\frac{1}{v^2} \cdot \frac{\partial^2 y_{(x,t)}}{\partial t^2} = \frac{\partial^2 y_{(x,t)}}{\partial x^2}\tag{8.6}$$

$$\frac{1}{v^2} \cdot \frac{\partial^2 y_{(x_1, x_2, x_3, t)}}{\partial t^2} = \frac{\partial^2 y}{\partial x_1^2} + \frac{\partial^2 y}{\partial x_2^2} + \frac{\partial^2 y}{\partial x_3^2}\tag{8.7}$$

### 8.2.1 Harmonische Welle

$$y_{(x,t)} = A \cdot \cos(k \cdot (x - vt))\tag{8.8}$$

In 3 Dimensionen werden  $x$  und  $k$  zu den Vektoren  $\vec{x}$  und  $\vec{k}$ .  $\vec{k}$  ist der Wellenvektor, zeigt in Richtung der Wellenausbreitung.

$$T = \frac{2\pi}{k \cdot v} \quad \frac{1}{T} = v = \frac{\omega}{2\pi} = \frac{k \cdot v}{2\pi} \implies \omega = k \cdot v\tag{8.9}$$

$$v \cdot \lambda = v\tag{8.10}$$

### 8.2.2 Ausbreitungsgeschwindigkeit

Transversalwellen

Seilwelle

$$v = \sqrt{\frac{z}{\mu}} = \sqrt{\frac{\sigma}{\rho}}\tag{8.11}$$

$z$  : Zugkraft

$\mu = \frac{m}{l}$  : "Längen-Massen-Dichte"

$\rho$  : Dichte

$\sigma = \frac{z}{A}$  : Zugspannung

$A$  : Querschnitt

Wasserwellen  $h \ll \lambda$

$$v = \sqrt{g \cdot h} \quad h : \text{Tiefe}\tag{8.12}$$

Elektromagnetische Wellen

$$\lambda \cdot v = c = 3 \cdot 10^8 \left[ \frac{m}{s} \right]\tag{8.13}$$

Sie ist immer Transversal falls keine Randbedingungen.

Longitudinalwellen

Schallwellen im Gas

$$v = \sqrt{\chi \cdot R \cdot T} \quad R = \frac{R_M}{M} \quad \chi = \frac{c_p}{c_v}\tag{8.14}$$

## Schallwellen im Stab

$$v = \sqrt{\frac{E}{\rho}} \quad E : \text{Elastizitätsmodul} \quad (8.15)$$

$$\sigma = E \cdot \frac{\Delta l}{l} \quad (8.16)$$

### 8.2.3 Dopplereffekt

#### Stehende Quelle, Bewegter Beobachter

$$v' = v \left( 1 \mp \frac{u}{v} \right) \quad \left\{ \begin{array}{l} - \text{ weg von Quelle} \\ + \text{ zu Quelle} \end{array} \right. \quad (8.17)$$

$$\frac{\Delta v}{v} = \mp \frac{u}{v} \quad (8.18)$$

$u$  : Geschwindigkeit Beobachter

$v$  : Wellenausbreitungsgeschwindigkeit

#### Bewegte Quelle, Stehender Beobachter

$$v' = v \frac{1}{1 \pm \frac{u}{v}} \quad \left\{ \begin{array}{l} - \text{ weg von Beobachter} \\ + \text{ zu Beobachter} \end{array} \right. \quad (8.19)$$

$$\frac{\Delta v}{v} = \frac{\pm \frac{u}{v}}{1 \pm \frac{u}{v}} \quad (8.20)$$

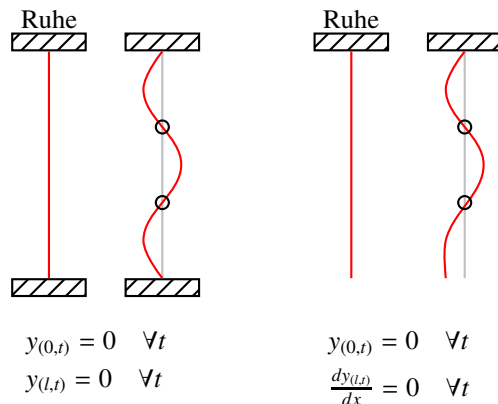
#### Dopplereffekt für el. magn. Wellen

$$v' = v \frac{\sqrt{1 \mp \frac{u}{v}}}{1 \pm \frac{u}{v}} \quad \left\{ \begin{array}{l} \text{weg: Zeichen oben} \\ \text{zu: Zeichen unten} \end{array} \right. \quad (8.21)$$

Für  $u \ll c \implies \frac{\Delta v}{v} \approx \pm \frac{u}{v}$

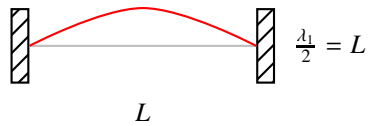
### 8.2.4 Stehende Wellen

Verschiedene Randbedingungen können zu stehender Welle führen:



Stehende Welle = Schwingung

### 8.2.5 Stehende Welle auf Saite



$$n \cdot \frac{\lambda_n}{2} = L \tag{8.22}$$

- $n = 1$  : Grundschiwingung, 1. Harmonische
- $n = 2$  : 1. Oberschiwingung, 2. Harmonische
- $n = 3$  : 2. Oberschiwingung, 3. Harmonische

Bedingung für  $v_n = \frac{v}{\lambda_n} = \frac{n \cdot v}{2 \cdot L}$

### 8.2.6 Anregfrequenzen für Eigenschwingungen

$$v_n = \frac{n}{2L} \sqrt{\frac{z}{\mu}} \quad \mu = \rho \cdot A \quad z : \text{Zugkraft} \tag{8.23}$$

### 8.2.7 Stehende Welle in Luftsäule

Geschlossene Pfeife

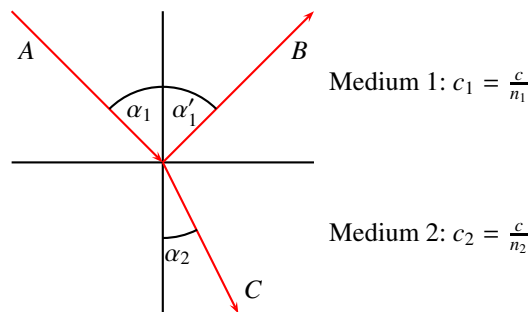
$$L = \frac{\lambda}{4} + n \cdot \frac{\lambda}{2} \quad f_i \text{ mit } i = 1, 3, 5, 7, \dots \tag{8.24}$$

Offene Pfeife

$$L = n \cdot \frac{\lambda}{2} \quad f_i \text{ mit } i = 1, 2, 3, 4, \dots \tag{8.25}$$

## 8.3 Reflexion und Brechungsgesetz

### 8.3.1 Allgemein



$n_1 < n_2$  : Brechungsindices

- A : einfallender Strahl
- B : reflektierter Strahl
- C : gebrochener Strahl

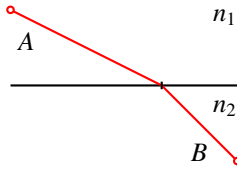
$$\alpha_1 = \alpha'_1$$

$$\frac{\sin(\alpha_1)}{\sin(\alpha_2)} = \underbrace{\frac{n_2}{n_1}}_{\text{nur für Licht}} = \underbrace{\frac{c_1}{c_2}}_{\text{allgemein gültig}} \quad (8.26)$$

Totalreflexion wenn:  $\alpha_1 = \frac{\pi}{2}$

$$\Rightarrow \sin(\alpha_2) = \frac{n_1}{n_2} = \frac{c_1}{c_2}$$

### 8.3.2 Prinzip von Fermat



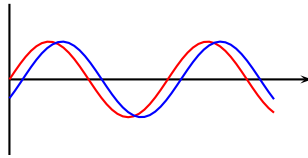
Der Strahl von A nach B wählt den schnellsten Weg.

## 8.4 Interferenz

### 8.4.1 Kohärenz

Kohärenz ist wenn zwei Bedingungen gelten:

- gleiche Frequenz
- konstante Phasenverschiebung

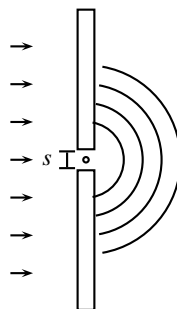


$$y = y_1(x,t) + y_2(x,t) \quad (8.27)$$

- Vollständige Verstärkung:  $\Delta = n \cdot \lambda$
- Vollständige Auslöschung:  $\Delta = \frac{\lambda}{2} + n \cdot \lambda$

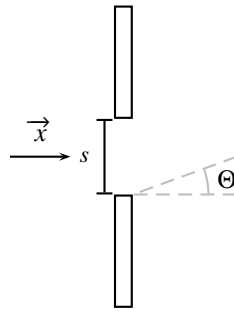
$\Delta$  = Gangunterschied

### 8.4.2 Beugung am Spalt



es gilt:  $s \ll \lambda$

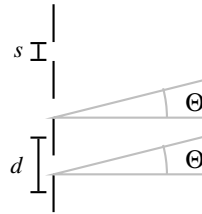
Jeder Punkt der virtuellen Grenzfläche dient als Ursprung einer sekundären Kugelwelle. Gesamterregung  $\rightarrow$  Superposition.



es gilt:  $\lambda < s$

$$\frac{A}{s} \cdot \frac{\lambda}{2\pi \sin(\Theta)} \cdot 2 \sin\left(\frac{\pi \cdot s \cdot \sin(\Theta)}{\lambda}\right) \cdot \cos\left(\phi_{(t)} + \frac{\pi \cdot s \cdot \sin(\Theta)}{\lambda}\right) \quad (8.28)$$

### 8.4.3 Beugung am Gitter



Richtung von max. Verstärkungen:

$$\sin(\Theta) = \frac{n \cdot \lambda}{d} \quad \text{für } \pm n = 0, 1, 2, \dots \quad (8.29)$$

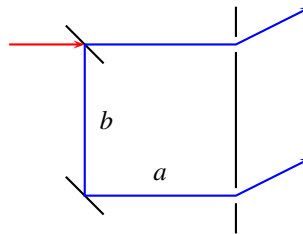
Richtung von Auslöschungen:

$$\sin(\Theta) = \frac{n \cdot \lambda}{d \cdot N} \quad \text{für } n \neq iN \quad i = 0, 1, 2, \dots \quad (n \bmod N \neq 0) \quad (8.30)$$

## 8.5 Ergänzungen

### 8.5.1 Koinzidenz

Koinzidenz wenn: Wellenzug > Gangdifferenz (Gangdifferenz  $\Delta = b + c$ )



### 8.5.2 Addition

Definition Intensität:

$$I_{(t)} = y^2 \quad y_1 = A_1 \cdot \sin(\omega t) \quad (8.31)$$

$$\bar{I} = \frac{1}{T} \int_0^T I_{(t)} dt \quad y_2 = A_2 \cdot \sin(\omega t) \quad (8.32)$$

#### Kohärente Addition

$$\bar{I}_{koh.} = \frac{1}{2} (A_1 + A_2)^2 \quad (8.33)$$

#### Inkohärente Addition

$$\bar{I}_{inkoh.} = \frac{1}{2} A_1^2 + \frac{1}{2} A_2^2 \quad (8.34)$$





# **Kapitel 9**

# **Elektro**

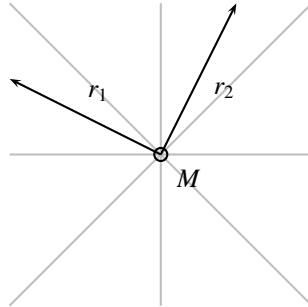
# 9.1 Felder

## 9.1.1 Gravitationsfeld

$$\vec{g}(\vec{r}) = -\frac{G \cdot M \cdot \vec{r}}{r^3} \quad \text{Zentralsymmetrischer Fall} \quad (9.1)$$

$$G = 6.67 \cdot 10^{-11} \left[ \frac{N \cdot m}{kg^2} \right]$$

$$\vec{F} = \frac{G \cdot M \cdot m \cdot (\vec{r}_M - \vec{r})}{\|\vec{r}_M - \vec{r}\|^2} \quad \text{Allgemeiner Fall} \quad (9.2)$$



$$\|\vec{g}(\vec{r}_2)\| = \|\vec{g}(\vec{r}_1)\| \cdot \frac{r_1^2}{r_2^2} \quad (9.3)$$

### Verallgemeinerung

$$\vec{g}(\vec{r}) = G \cdot \sum_{i=1}^N M_i \cdot \frac{\vec{r}_i - \vec{r}}{\|\vec{r}_i - \vec{r}\|^3} \quad \text{Zentralproblem} \quad (9.4)$$

$$\vec{g}(\vec{r}) = G \cdot \int \frac{\rho(\vec{x}) \cdot (\vec{x} - \vec{r})}{\|\vec{x} - \vec{r}\|^3} dV \quad (9.5)$$

## 9.1.2 Feldfluss

$$\text{Feldfluss } \vec{F}(\vec{r}) = \rho(\vec{r}) \cdot \vec{v}(\vec{r}) \quad (9.6)$$

### Definition durch orientierte Fläche

$$\partial\phi_{d\vec{a}} = \vec{F}(\vec{r}) \cdot d\vec{a} \quad (9.7)$$

$$\partial\phi_{d\vec{a}} = \vec{F}(\vec{r}) \cdot \underbrace{\hat{n}}_{\text{normierter Normalenvektor}} \cdot da \quad (9.8)$$

$$\phi = \hat{n} \cdot \vec{v} \cdot A \quad (9.9)$$

### Verallgemeinerung

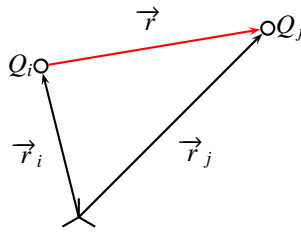
$$\phi_A = \int_{\underbrace{\partial A}_{\text{Rand der Fläche}}} \vec{F}(\vec{r}) d\vec{a} \quad (9.10)$$

## 9.1.3 Definitionen

### Elektrische Ladung

$$\epsilon_0 = 8.85 \cdot 10^{-12} \left[ \frac{C^2}{N \cdot m^2} \right] \quad (9.11)$$

Ladung eines Elektrons:  $1.6 \cdot 10^{-19}$  [C]



$$\vec{F}_{ij} = \frac{1}{4\pi \cdot \epsilon_0} \cdot \frac{Q_i \cdot Q_j \cdot (\vec{r}_j - \vec{r}_i)}{\|\vec{r}_j - \vec{r}_i\|^3} \quad (9.12)$$

## Elektrisches Feld

$$\vec{F}_{ij} = Q_j \cdot \vec{E}_i \quad (9.13)$$

$$\vec{E}_{i(\vec{r})} = \frac{Q_i \cdot \vec{r}}{4\pi \cdot \epsilon_0 \cdot r^3} \quad (9.14)$$

*Feldrichtung* : Richtung von  $\vec{E}$  ist die Richtung der Kraft die eine positive Probeladung erfährt.

### 9.1.4 Satz von Gauss

$$\phi_{Kugel} = \int_{\partial Kugel} \vec{E} \cdot d\vec{a} = \frac{Q}{\epsilon_0} \quad (\text{Radiusunabhängig!}) \quad (9.15)$$

$$\vec{E}_{(\vec{r})} = \int_V \frac{\rho_e(\vec{x}) \cdot (\vec{r} - \vec{x})}{4\pi \cdot \epsilon_0 \cdot \|\vec{r} - \vec{x}\|^3} dV \quad (9.16)$$

### Gauss in Integralform

$$\phi_{\partial V} = \int_{\partial V} \vec{E} \cdot d\vec{a} = \frac{Q_{innen}}{\epsilon_0} \quad (9.17)$$

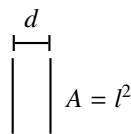
$$Q_{innen} = \int_V \rho_e(\vec{x}) dV \quad (9.18)$$

### Gauss in Differentialform

$$\left(\vec{E}\right)' = \frac{\partial E}{\partial x} + \frac{\partial E}{\partial y} + \frac{\partial E}{\partial z} \quad \epsilon_0 \cdot \left(\vec{E}\right)' = \rho_e \quad (9.19)$$

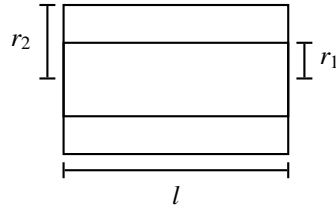
### 9.1.5 Elektrische Ladung: Beispiele

#### Plattenkondensator



$$E = \frac{Q}{A \cdot \epsilon_0} \quad (9.20)$$

## Zylinderkondensator



$$\vec{E} = \frac{-\lambda_e \cdot \hat{r}}{2\pi \cdot \epsilon_0 \cdot r} \quad \text{mit} \quad \lambda_e = \frac{|Q|}{l} \quad E \sim \frac{1}{r^{n-1}} \quad (9.21)$$

## 9.2 Elektrische Spannung

$$U_{AB} = \frac{W_{AB}}{Q_{Proto}^+} = \int_A^B \vec{E} \cdot d\vec{s} \quad (9.22)$$

$$U_{(r)} = \int_r^\infty \vec{E} \cdot d\vec{s} = \underbrace{\frac{Q_{erz}^+}{4\pi \cdot \epsilon_0}}_{\text{Kugelsymmetrie}} \cdot \underbrace{\frac{1}{r}}_{\text{Allgemein}} \quad (9.23)$$

$$\text{grad}(U_{(r)}) = -\vec{E} \quad (9.24)$$

Bemerkungen

- $\int \vec{E} \cdot d\vec{s}$  ist Wegunabhängig
- $U_{AB} = -U_{BA}$
- $U_{AC} = U_{AB} + U_{BC}$

## 9.3 Elektrostatik

### 9.3.1 Berechnung $E$ aus $U$

Zentralsymmetrisches Feld

$$\vec{E} = \frac{Q}{4\pi \cdot \epsilon_0} \cdot \frac{\vec{r}}{r^3} \quad (9.25)$$

Dipolfeld

$$\vec{p}_d = Q^+ \cdot \vec{d} \quad \left( \vec{d} \text{ zeigt von } Q^- \text{ nach } Q^+ \right) \quad (9.26)$$

### 9.3.2 Dielektrika

Der Abstand zwischen dem Atomkern und dem Elektron ist die *Separationsdistanz*  $\delta < \infty$

$$N \cdot Q \cdot \vec{\delta} = \vec{P} \quad (9.27)$$

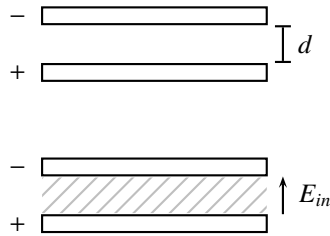
$N$  : Anzahl Atome pro Volumen

$Q$  : Ladung

$\delta$  : Separationsdistanz

$P$  : Polarisationsdichte (-vektor)

## Plattenkondensator



$$C = \frac{\epsilon_0 \cdot A}{d} \quad (9.28)$$

$$N \cdot Q \cdot \delta = \frac{Q_{\text{oberfl.}}}{A} = P = \sigma_{\text{pol.}} \quad (9.29)$$

$$P = \chi \cdot \epsilon_0 \cdot E_{\text{in}} \quad E : \text{elektrische Suszeptibilität} \quad (9.30)$$

$$E_{\text{in}} = \frac{\sigma_{\text{free}}}{\epsilon_0 \cdot (1 + \chi)} \quad (9.31)$$

$$\Rightarrow c = \frac{A \cdot \epsilon_0}{d} (1 + \chi) \quad (9.32)$$

$$\epsilon_r = 1 + \chi = \epsilon \quad E_{\text{in}} = \frac{E_v \cdot \epsilon}{\epsilon} \quad (9.33)$$

### 9.3.3 Bewegung von Ladung im $E$ -Feld

$$1\text{eV} = 1.6 \cdot 10^{-19} \quad [\text{J}] \quad (9.34)$$

$$\Delta E_{\text{kin}} = Q^+ \cdot \Delta U = \frac{mv^2}{2} - \frac{mv_0^2}{2} \quad (9.35)$$

$$\text{Masse Elektron: } 9.1 \cdot 10^{-31} \quad [\text{kg}] \quad (9.36)$$

### 9.3.4 Mobilität

$$\vec{v}_{\text{end}} = \mu \cdot \vec{E} \quad \left[ \frac{\text{m}^2}{\text{s} \cdot \text{V}} \right] \quad (9.37)$$

$$\mu_{O_2^+} \approx 1 \quad \left[ \frac{\text{cm}^2}{\text{s} \cdot \text{V}} \right] \quad (9.38)$$

### 9.3.5 Energieim Kondensator

$$W = \frac{Q^2}{2 \cdot C} = \frac{C}{2} \cdot U^2 \quad (9.39)$$

### 9.3.6 Energiedichte $\nu$

$$\nu = \frac{\epsilon_0}{2} \cdot E_v^2 \quad : \text{Energiedichte im Vakuum} \quad (9.40)$$

$$\nu = \frac{\epsilon_0 \cdot \epsilon_r}{2} \cdot E_{\text{diel}}^2 \quad : \text{Energiedichte im Dielektrikum} \quad (9.41)$$

$$\nu = \frac{1}{2} \cdot \frac{\epsilon_0}{\epsilon_r} \cdot E_v^2 \quad (9.42)$$

### 9.3.7 Anziehung zweier Platten

$$F = \nu \cdot A \quad A : \text{Fläche der Platten} \quad (9.43)$$

## 9.4 Stromstärke

$$I = \frac{\partial Q}{\partial t} = \dot{Q} \quad \left[ A = \frac{C}{s} \right] \quad (9.44)$$

$$\vec{j} = \rho \cdot \vec{v} \quad : \text{Ladungsfluss, Stromdichte} \quad (9.45)$$

## 9.5 Ohm'sches Gesetz

$$U = R \cdot I \quad [V = \Omega \cdot A] \quad (9.46)$$

$$\vec{j} = \sigma \cdot \vec{E} \quad (9.47)$$

$$U = i \cdot \frac{l}{A \cdot \sigma} \quad R = \frac{l}{A \cdot \sigma} = \frac{\rho \cdot l}{A} \quad (9.48)$$

$$\sigma^{-1} = \rho \quad (9.49)$$

$$\rho = \frac{A \cdot R}{l} \quad (9.50)$$

$$\sigma = \mu \cdot \rho_e \quad (9.51)$$

$l$  : Leiterlänge

$A$  : Leiterquerschnitt

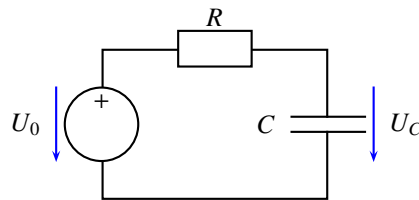
$\sigma$  : spezifische Leitfähigkeit

$\rho$  : spezifischer Widerstand

## 9.6 Zeitkonstante $\tau$

$$\tau = R \cdot C \quad [s] \quad (9.52)$$

### 9.6.1 Laden und Entladen eines Kondensators



$$U_C = U_0 \left( 1 - e^{-\frac{t}{RC}} \right) \quad (9.53)$$

$$Q(t) = Q_{max} \cdot e^{-\frac{t}{RC}} \quad (9.54)$$

## 9.7 Kirchhoff

### 9.7.1 Knotenpunktsatz

$$\sum i = 0 \quad (9.55)$$

### 9.7.2 Maschenpotentialsatz

$$\sum u = 0 \quad (9.56)$$

## **Kapitel 10**

# **Magnetismus**

## 10.1 Ausdrücke

$\vec{B}$ -Feld Magnetisches Induktionsfeld, verursacht durch Ströme (Gleichförmig bewegte Ladung)

**Lorentzkraft** Kraft auf bewegte Ladung, bewirkt durch das  $\vec{B}$ -Feld.

**Induktion** Erzeugung einer elektrischen Spannung durch zeitlich veränderliches  $\vec{B}$ -Feld.

## 10.2 Lorentzkraft

Bewegte Ladung erfährt eine Kraft, die *Lorentzkraft*:

$$\vec{F} = Q \cdot \vec{v} \times \vec{B} \quad (10.1)$$

mit

$$B \left[ \frac{Ns}{Cm} = \frac{N}{Am} = \frac{Vs}{m^2} = Tesla \right] \quad \text{und} \quad 1Gauss = 10^{-4} \quad [T]$$

## 10.3 Gesetz von Biot-Savart

$$d\vec{B} = \frac{\mu_0}{4\pi} \cdot I \cdot \frac{d\vec{s} \times \vec{r}}{|\vec{r}|^3} \quad (10.2)$$

Induktionskonstante:  $\mu_0 = 4\pi \cdot 10^{-7} = 1.256 \cdot 10^{-6} \quad \left[ \frac{Tm}{A} \right]$

$$dB \sim I \quad dB \sim \frac{1}{r^2}$$

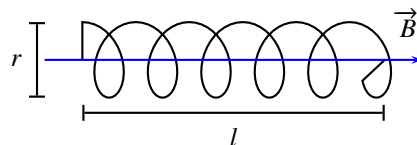
## 10.4 Gesetz von Ampère



$$\oint_C \vec{B} d\vec{s} = \mu_0 \cdot I_{total} \quad \text{mit} \quad I_{total} = \sum_i I_i \quad (10.3)$$

$$B_{Erde} = 0.2Gauss$$

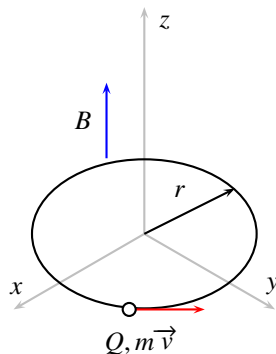
### 10.4.1 Beispiel: Spule



$$B = \frac{\mu_0 \cdot I}{2\pi r} \quad B_{innen} = \mu_0 \cdot n \cdot I \quad \text{mit} \quad n = \frac{N}{l} \text{ Windungen} \quad (10.4)$$



## 10.5 Bahnkurve eines geladenen Teilchens

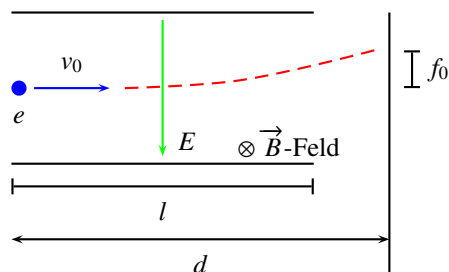


$$m \cdot \omega = Q \cdot B \quad \text{mit } v_{0z} = 0 \quad \omega \neq f(r) \quad r \sim v_0 \quad (10.5)$$

Zyklotron:

$$\omega = \frac{Q \cdot B}{m} = 2\pi \cdot \gamma = \frac{2\pi}{T} \quad (10.6)$$

## 10.6 Spezifische Ladung $\frac{e}{m}$ des Elektrons



für  $B = 0$ :

$$f_0 = \frac{E \cdot e \cdot l}{2 \cdot m \cdot v_0^2} (2d - l) \quad (10.7)$$

$$v_0^2 = \frac{E \cdot e \cdot l}{2 \cdot m \cdot f_0} (2d - l) \quad (10.8)$$

für  $B \neq 0$   $f = 0$ :

$$\frac{e}{m} = \frac{2 \cdot E \cdot f_0}{B^2 \cdot l \cdot (2d - l)} \quad (10.9)$$

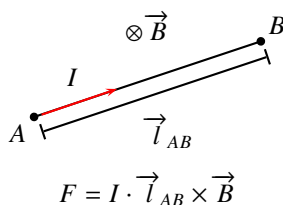
## 10.7 Kraft im hom. Magnetfeld

### 10.7.1 Auf Leiter

$$d\vec{F} = dq \cdot \vec{v} \times \vec{B} \quad (10.10)$$

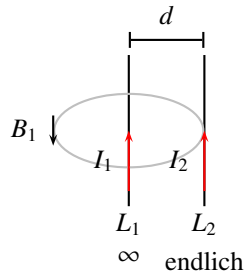
$$d\vec{F} = I \cdot d\vec{s} \times \vec{B} \quad (10.11)$$

Spezialfall: Leiter Geradlinig:



$$F = I \cdot \vec{l}_{AB} \times \vec{B} \quad (10.12)$$

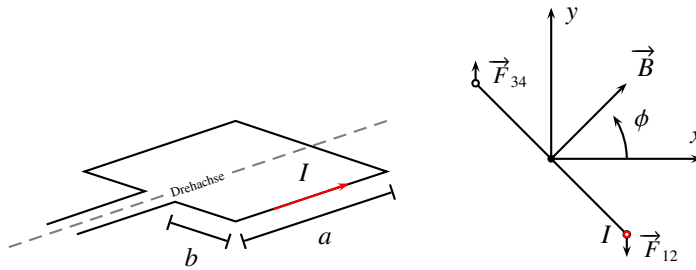
### 10.7.2 Zwischen zwei geraden, parallelen Strömen



$$B_1 = B_{ind} = \frac{\mu_0 \cdot I_1}{2\pi \cdot d}$$

$$\frac{F_{12}}{l_2} = \frac{I_1 \cdot I_2 \cdot \mu_0}{2\pi \cdot d}$$

### 10.7.3 Gleichstrommotor



$$T_z = -a \cdot b \cdot I \cdot B \cdot \sin(\phi) \tag{10.13}$$

Für  $N$  Windungen:

$$T_z = -A \cdot N \cdot I \cdot B \cdot \sin(\phi) \quad \text{mit } A = a \cdot b$$

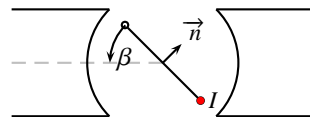
$$\Theta \cdot \ddot{\phi} = T_z = -A \cdot N \cdot I \cdot B \cdot \phi$$

*Harmonischer Oszillator*

$$T = I_{(t)} \cdot N \cdot A \cdot B \cdot \sin(\phi_{(t)})$$

$$U_{ind} = -\omega \cdot N \cdot A \cdot B \cdot \sin(\phi)$$

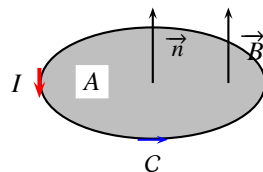
### 10.7.4 Galvanometer



$$\beta = \frac{A \cdot N \cdot I \cdot B}{D} \quad D : \text{Spiralfederkonstante} \tag{10.14}$$

Ausschlag proportional zu  $I$

### 10.7.5 Drehmoment auf ebene Leiterschleife



$\vec{B}$	homogenes Feld
$C$	ebene, geschlossene Kurve
$A$	Fläche von $C$ umschlossen
$I$	Strom durch $C$
$\vec{n}$	rechtwinklig auf $A$

**Definition: Magnetisches Moment**

$$\vec{m} = I \cdot A \cdot \vec{n} \quad (10.15)$$

**Drehmoment um beliebigen Punkt  $P$**

$$\vec{T} = \vec{m} \times \vec{B} \quad (10.16)$$

Für  $N$  Windungen:

$$\|\vec{T}\| = I \cdot A \cdot N \cdot B \cdot \sin(\phi) \quad (10.17)$$

## 10.8 Induktivität

### 10.8.1 Induktionsgesetz von Faraday

Magnetischer Fluss  $\phi$  des  $\vec{B}$ -Feldes:

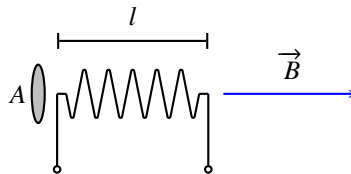
$$\phi_A = \int_A \vec{B} \cdot \vec{da} = \int_A \vec{B} \cdot \vec{n} \, da \quad [\text{Weber} = \text{Tm}^2 = \text{Vs}] \quad (10.18)$$

$$U_{ind} = -\dot{\phi} \quad (10.19)$$

**Lenz'sche Regel** Die induzierte Spannung erzeugt ein Induktionsstrom, der so gerichtet ist, dass er dem ihn erzeugenden Vorgang zu hemmen versucht.

### 10.8.2 Selbstinduktion

Spule im äusseren Feld:



$$U_{ind} = -N \cdot A \cdot \dot{B}_{(t)} \quad (10.20)$$

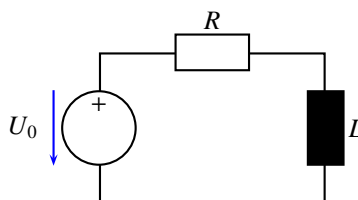
Spule im eigenen Feld, bewirkt durch  $I$

$$U_{ind} = -\mu_0 \cdot \frac{N^2 \cdot A}{l} \cdot \dot{I}_{(t)} \quad (10.21)$$

Allgemein:  $U_{ind} = -L \cdot \dot{I}_{(t)}$

$$L = \frac{N^2 \cdot A \cdot \mu_0}{l} \quad [\text{Henry} = \text{H}] \quad (10.22)$$

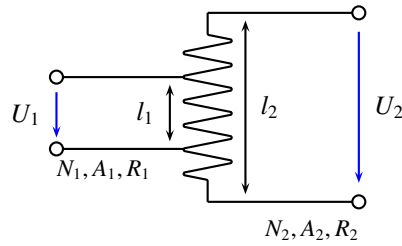
### 10.8.3 Schalten eines Stromes in einer Spule



$$I(t) = \frac{U_0}{R} (1 - e^{-\frac{R}{L}t}) \quad (10.23)$$

$$I_{max} = \frac{U_0}{R} \quad (10.24)$$

## 10.8.4 Transformator



$$L_{11} = \frac{\mu_0 \cdot A_1 \cdot N_1^2}{l_1}$$

$$L_{22} = \frac{\mu_0 \cdot A_2 \cdot N_2^2}{l_2}$$

Induktion  $U_{11} = -L_{11} \cdot \dot{I}_1$  und  $U_{12} = -L_{12} \cdot \dot{I}_1$  mit

$$L_{12} = \frac{\mu_0 \cdot A_2 \cdot N_1 \cdot N_2}{l_1}$$

$$L_{21} = \frac{\mu_0 \cdot A_1 \cdot N_1 \cdot N_2}{l_2}$$

$$L_{12}^2 = L_{21}^2 = L_{11} \cdot L_{22}$$

$$\frac{U_1}{U_2} = -\frac{N_2}{N_1}$$

## 10.8.5 Energie des magnetischen Feldes

Aus der induzierten Spannung einer Spule

$$W_{magn} = - \int_0^T u_{ind} \cdot I dt$$

$$W_{magn} = \frac{1}{2} \cdot \frac{B^2}{\mu_0} \cdot l \cdot A$$

$$W_{magn} = \frac{1}{2} \cdot \frac{B_{mat}^2}{\mu_0 \cdot \mu_r} \cdot l \cdot A$$

mit

$\mu_r$ : Permabilität

$\mu_0$ : Induktionskoeffizient

Energiedichte:

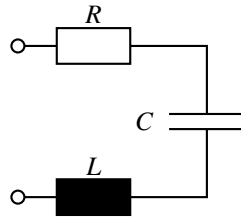
$$v_{magn} = \frac{1}{2} \frac{B_{vac}^2}{\mu_0} \cdot \mu_r$$

oder

$$v_{magn} = \frac{1}{2} \cdot \frac{B_{mat}^2}{\mu_0 \cdot \mu_r}$$

## 10.9 RCL-Kreis

$$\dot{U}(t) = L \cdot \ddot{I} + R \cdot \dot{I} + I \cdot \frac{1}{C} \quad (10.25)$$



allgemeine Lösung:  $I = I_h + I_{ih}$

**homogene Lösung:**

$$\ddot{I} + \frac{1}{LC}I = 0 \quad \text{mit } R = 0 \quad (10.26)$$

$$L \cdot \ddot{I} + R \cdot \dot{I} + \frac{1}{C} \cdot I = 0 \quad \text{mit } R \neq 0 \quad (10.27)$$

$$R^2 > \frac{4L}{C} \quad \Rightarrow \quad \text{grosse Dämpfung: } \lambda_{1,2} = -\frac{R}{2L} \pm \frac{1}{2} \sqrt{\frac{R^2}{L^2} - \frac{4}{LC}}$$

$$R^2 = \frac{4L}{C} \quad \Rightarrow \quad \text{kritisch: } \lambda_{1,2} = -\frac{R}{2L}$$

$$R^2 < \frac{4L}{C} \quad \Rightarrow \quad \text{kleine Dämpfung: } \lambda_{1,2} = -\frac{R}{2L} \pm \frac{j}{2} \sqrt{-\frac{R^2}{L^2} + \frac{4}{LC}}$$

**partikuläre Lösung:**

$$\underline{I} = I_0 \cdot e^{j(\omega t - \phi)} \quad (10.28)$$

$$I_0 = \frac{U_0}{\sqrt{R^2 - \left(\omega L - \frac{1}{\omega C}\right)^2}} \quad (10.29)$$

**Achtung:** der Lösungsstrick mit dem Rechnen mit komplexen Zahlen funktioniert *nur* im linearen Fall, d.h.:

$$I(\omega, t) = \underline{z}^{-1}(\omega) \cdot \underline{u}(\omega, t) \quad \text{mit } \underline{z} \text{ nicht Abhängig von } u$$

sonst werden sich andere Frequenzen zeigen:

$$\underline{I} = a_0 + a_1 \cdot I_1 + a_2 \cdot I_2^2$$

$$I_i = u_i \cdot e^{j(\omega_i t - \phi_i)} + u_2 \cdot e^{j(\omega_2 t - \phi_2)}$$



# **Kapitel 11**

# **Relativität**

## 11.1 Lichtgeschwindigkeit $c$

Die absolute Lichtgeschwindigkeit  $c \approx 3 \cdot 10^8 \left[ \frac{m}{s} \right]$

## 11.2 Galilei-Transformation (GT)

$$\begin{aligned}x' &= x - vt & y' &= y & z' &= z & t' &= t \\x &= x' + vt & y &= y' & z &= z' & t &= t'\end{aligned}$$

## 11.3 Lorentz-Transformation

Einstein's (1905) spezielle Relativitätstheorie basiert auf drei Postulaten:

1. Konstanz und Endlichkeit der Lichtgeschwindigkeit  $c$
2. Der Raum ist homogen und isotrop.
3. Alle Inertialsysteme sind Gleichwertig.

### 11.3.1 Hintransformation

$$x' = \frac{x - vt}{\sqrt{1 - \frac{v^2}{c^2}}} \quad y' = y \quad z' = z \quad t' = \frac{t - \frac{v}{c^2}x}{\sqrt{1 - \frac{v^2}{c^2}}} \quad (11.1)$$

### 11.3.2 Rücktransformation

$$\begin{aligned}x' &\leftrightarrow x & y' &\leftrightarrow y & z' &\leftrightarrow z & t' &\leftrightarrow t \\x &= \frac{x' + vt'}{\sqrt{1 - \frac{v^2}{c^2}}} & y &= y' & z &= z' & t &= \frac{t' + \frac{v}{c^2}x'}{\sqrt{1 - \frac{v^2}{c^2}}}\end{aligned} \quad (11.2)$$

### 11.3.3 Notation

$$\beta \equiv \frac{v}{c} \quad \gamma = \frac{1}{\sqrt{1 - \frac{v^2}{c^2}}} \quad \beta = \frac{\partial x^1}{\partial x^0} \quad \text{für } \beta \rightarrow 1 \quad (11.3)$$

$$\underline{x} = \begin{pmatrix} x^0 \\ x^1 \\ x^2 \\ x^3 \end{pmatrix} \hat{=} \begin{pmatrix} c \cdot t \\ x \\ y \\ z \end{pmatrix} \quad (11.4)$$

### 11.3.4 Transformationen, die 2.

Hintransformation:

$$\begin{aligned}x^{0'} &= \gamma(x^0 - \beta x^1) \\x^{1'} &= \gamma(x^1 - \beta x^0) \\x^{2'} &= x^2 \\x^{3'} &= x^3\end{aligned}$$



Rücktransformation:

$$\begin{aligned}x^0 &= \gamma(x^{0'} - \beta x^{1'}) \\x^1 &= \gamma(x^{1'} + \beta x^{0'}) \\x^2 &= x^{2'} \\x^3 &= x^{3'}\end{aligned}$$

mit

$\underline{x}$  : Ereignis, Ereignispunkt

## 11.4 Geschwindigkeitsaddition

### 11.4.1 Longitudinal

$$v_1' = \frac{v_1 - v}{1 - \frac{v_1 \cdot v}{c^2}} \quad v_1 = \frac{v_1' + v}{1 + \frac{v_1' \cdot v}{c^2}} \quad (11.5)$$

### 11.4.2 Allgemein

(auch transversal)

$$v_1 = \frac{v_1' + v}{1 + \frac{v \cdot v_1'}{c^2}} \quad v_2 = v_2' \cdot \frac{\sqrt{1 - \frac{v^2}{c^2}}}{1 + \frac{v \cdot v_1'}{c^2}} \quad (11.6)$$

Transversalfal:  $v_1' = 0$

$$\Rightarrow \quad v_1 = v \quad v_2 = v_2' \cdot \sqrt{1 - \frac{v^2}{c^2}}$$

## 11.5 Dopplereffekt

### 11.5.1 Longitudinal

Sich nähernd:

$$v = v' \sqrt{\frac{1 - \beta}{1 + \beta}} \quad \Delta t = \Delta t' \sqrt{\frac{1 + \beta}{1 - \beta}} \quad (11.7)$$

Sich entfernend:

$$v = v' \sqrt{\frac{1 + \beta}{1 - \beta}} \quad \Delta t = \Delta t' \sqrt{\frac{1 - \beta}{1 + \beta}} \quad (11.8)$$

### 11.5.2 Transversal

$$v = v' \sqrt{1 - \beta^2} \quad (\text{für hin und zurück}) \quad \Delta t = \gamma \cdot \Delta t' \quad (11.9)$$

## 11.6 Längenkontraktion

$$l = l' \sqrt{1 - \beta^2} \quad (11.10)$$

Die vorbeifliegende Rakete scheint verkürzt:  $l < l' = l_{Ruhe} = \text{Eigenlänge}$

## 11.7 Zeitdilatation

$$T = t_2 - t_1 = \delta_t \cdot t = \gamma(t_2' - t_1') = \gamma \cdot T' \quad \text{mit } T > T' = \text{Eigenzeit} \quad (11.11)$$

## 11.8 $\mu$ -Meson

Kosmische Strahlung in der Höhe 10..20km generieren  $\mu$ -Mesonen, welche auf der Oberfläche beobachtet wurden.

Eigenlebensdauer:  $2.2 \cdot 10^{-6}$  [s]

**Teil III**

**Elektrotechnik**



## 11.9 Konstanten

### 11.9.1 Elementarladung

$$e_0 = 1.6 \cdot 10^{-19} \quad [As] \quad (11.12)$$

### 11.9.2 Dielektrizitätskonstante

$$\epsilon_0 = 8.854 \cdot 10^{-12} \quad \left[ \frac{As}{Vm} \right] \quad (11.13)$$

$\epsilon_r$	umgebendes Material
$\approx 1$	Luft
$= 1$	Vakuum
81	Wasser

### 11.9.3 Spezifischer Widerstand

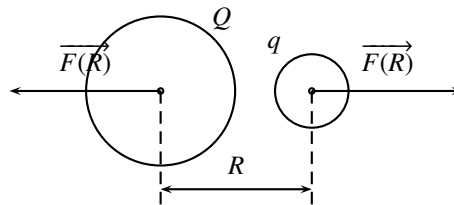
Material	$\rho$	$\left[ \frac{\Omega \text{mm}^2}{m} \right]$	$\rho$	$[\Omega m]$
Kupfer	$\approx 1.8 \cdot 10^{-2}$		$1.8 \cdot 10^{-8}$	
Eisen	$\approx 0.2$			
Chromnickel	$\approx 1.15$		$1.15 \cdot 10^{-6}$	
Widerstandsdraht	$\approx 0.4$			
Glas	$\approx 5 \cdot 10^{13}$		$5 \cdot 10^7$	
Porzellan	$\approx 10^{16}$			

### 11.9.4 Temperatur-Koeffizient

Material	$\alpha$	$\left[ \frac{1}{C} \right]$	$\beta$	$\left[ \frac{1}{C^2} \right]$
Kupfer	$0.393 \cdot 10^{-2}$		$0.6 \cdot 10^{-6}$	
Konstantan	$2 \cdot 10^{-6}$		0	
Mangemin	$6 \cdot 10^{-6}$		0	
Kohlenstoff	$-5 \cdot 10^{-4}$			

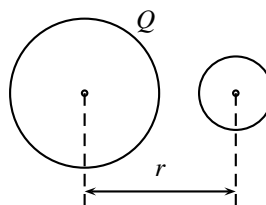
## 11.10 Grundlagen

### 11.10.1 Coulombsche Kraft



$$F(R) = \frac{Q \cdot q}{4\pi \cdot \epsilon_r \cdot \epsilon_0} \cdot \frac{1}{R^2} \quad [N] \quad (11.14)$$

### 11.10.2 Elektrische Feldstärke



$$E(r) = \frac{Q}{4\pi \cdot \epsilon_0 \cdot \epsilon_r \cdot r^2} \cdot \frac{1}{r^2} \quad (11.15)$$

$$\vec{E}(r) = E(r) \cdot \frac{\vec{r}}{\|\vec{r}\|} \quad (11.16)$$

$$Q = n \cdot e \quad (11.17)$$

### 11.10.3 Kraftwirkung im elektrischen Feld

$$\vec{F} = \vec{E} \cdot q \quad [N] \quad (11.18)$$

### 11.10.4 Strom $I, i$

$$i = \frac{\partial q}{\partial t} \quad [A] \quad (11.19)$$

$$i = \frac{n \cdot e^- \cdot v \cdot A \cdot \partial t}{\partial t} = n \cdot e^- \cdot v \cdot A \quad (11.20)$$

mit

$A$  : Leiterquerschnitt

$v$  : Geschwindigkeit

$n$  : Dichte der Elektronen  $[m^{-3}]$

$b$  : Beweglichkeit  $\left[ \frac{m^2}{v \cdot s} \right]$

$$I = q \cdot n \cdot A \cdot b \cdot E \quad (11.21)$$

### 11.10.5 Stromdichte $J, j$

$$j = \frac{i}{A} \quad J = \frac{I}{A} \quad \left[ \frac{A}{m^2} \right] \quad (11.22)$$

### 11.10.6 Spannung $U, u$

$$U = \underbrace{\frac{W}{q}}_{\text{Arbeitsvermögen pro Ladung}} = \underbrace{E \cdot l}_{\text{Feldstärke mal Länge}} \quad [V] \quad (11.23)$$

### 11.10.7 Ohmsches Gesetz

$$U = R \cdot I = \rho \frac{l}{A} \quad [V] \quad (11.24)$$

$$I = \delta \frac{A}{l} \cdot U \quad [I] \quad (11.25)$$

$$R = \frac{U}{I} \quad [\Omega] \quad (11.26)$$

$R$  : Widerstand  $[\Omega]$

$G$  : Gleitwert  $[S]$

$\delta$  : spez. Leitfähigkeit  $= n \cdot e_0 \cdot b$

$\rho$  : spez. Widerstand  $= \frac{1}{\delta}$

$l$  : Länge des Drahtes

$A$  : Querschnitt

## 11.10.8 Leistung $P$

$$p(t) = u(t) \cdot i(t) \quad [W] \quad (11.27)$$

mit

$$u(t) = \hat{u} \cdot \cos(\omega t) \quad \text{und} \quad i(t) = \hat{i} \cdot \cos(\omega t) \quad (11.28)$$

$$P = U \cdot I \quad [W] \quad (11.29)$$

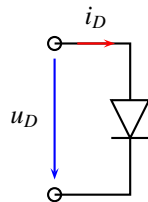
## 11.10.9 Widerstand $R$

$$R = \frac{U}{I} \quad [\Omega] \quad (11.30)$$

$$R_{(20C+\Delta\theta)} = R_{20} \left( 1 + \alpha \cdot \Delta\theta + \beta \cdot (\Delta\theta)^2 + \dots \right) \quad [\Omega] \quad (11.31)$$

## 11.11 Halbleiter

### 11.11.1 Diode



$$i_D = I_s \left( e^{\frac{k_0 u_D}{k \cdot T}} - 1 \right) = I_s \left( e^{\frac{u_D}{u_s}} - 1 \right) \quad (11.32)$$

$I_s$  : Sperrstromkonstante [A]

$\epsilon_0$   $1.6 \cdot 10^{-19}$  [As]

$k$  : Boltzman-Konstante =  $1.38 \cdot 10^{-23}$   $\left[ \frac{J}{K} \right]$

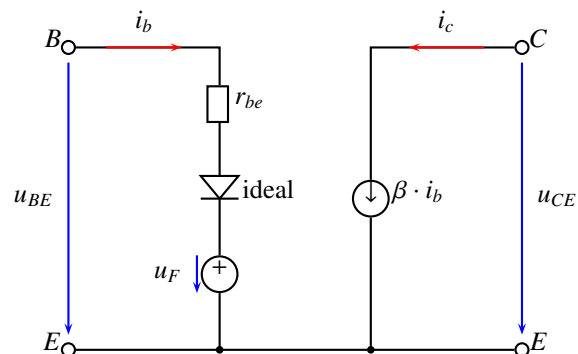
$T$  : absolute Temperatur [K]

### Flussspannung-Übersicht

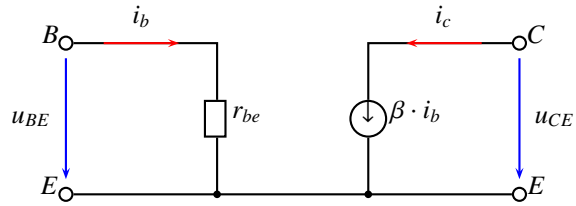
Silizium	$\approx 0.7 \dots 0.8$	[V]
Germanium	$\approx 0.3$	[V]
Schottky	$\approx 0.4$	[V]

### 11.11.2 Transistor

#### Grosses Ersatzschaltbild (NPN)



## Kleines Ersatzschaltbild (NPN)



## Hybridparameter

$$\begin{bmatrix} h_{ie} & h_{re} \\ h_{fe} & h_{oe} \end{bmatrix} \cdot \begin{bmatrix} i_b \\ u_{ce} \end{bmatrix} = \begin{bmatrix} u_{be} \\ i_c \end{bmatrix} \quad (11.33)$$

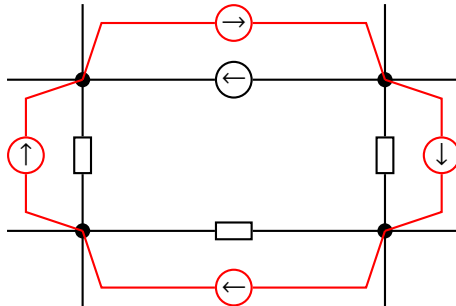
$e$  : Emitterschaltung

siehe Datenblatt:

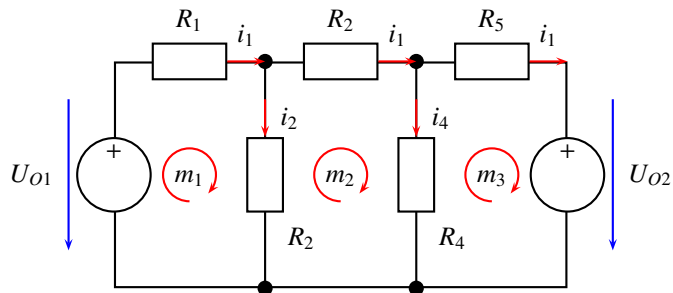
$$\begin{aligned} h_{ie} &= r_{be} \\ h_{re} &= \alpha \\ h_{fe} &= \beta \\ h_{oe} &= G_{oe} = \frac{1}{r_{oe}} \end{aligned}$$

## 11.12 Netzwerke

### 11.12.1 Manipulation mit idealen Quellen



### 11.12.2 Maschenstromverfahren



1. Vorbereitung des Netzwerkes: Stromquellen wegschaffen
2. Wahl der geeigneten Maschen



## Widerstandsmatrix

$$W = \begin{pmatrix} R_1 + R_2 & -R_2 & 0 \\ R_2 & R_2 + R_3 + R_4 & -R_4 \\ 0 & -R_4 & R_4 + R_5 \end{pmatrix} \quad (11.34)$$

Direktes Aufstellen von  $W$ :

1. Diagonalelemente ( $i = k$ ): Summe der Widerstände, durch die der betreffende Maschenstrom fließt.
2. Übrige Elemente ( $i \neq k$ ): Summe der Widerstände, durch die der Maschenstrom  $i$  und  $k$  fließt. Das Vorzeichen ist negativ falls die Maschenströme unterschiedliche Richtungen haben.

## Quellvektor

$$\underline{u}_0 = \begin{pmatrix} +U_{01} \\ 0 \\ -U_{02} \end{pmatrix} \quad (11.35)$$

Direktes Aufstellen von  $u_0$ : Summe der einzelnen Quellspannungen in jeder Masche. Das Vorzeichen ist positiv wenn sich ein positiver Maschenstrom ergeben würde.

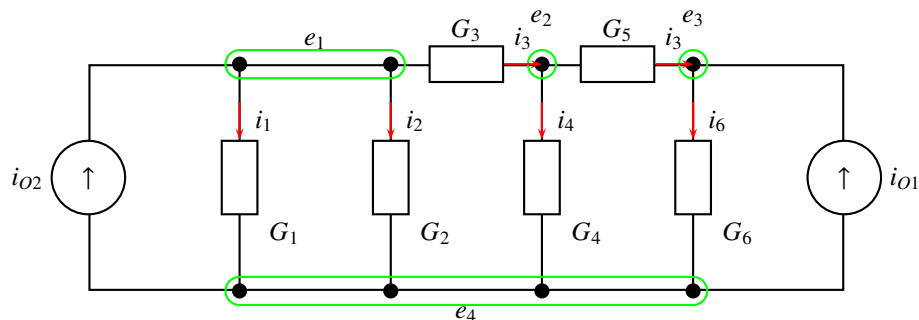
## Maschenstromvektor

$$\underline{m} = \begin{pmatrix} m_1 \\ m_2 \\ m_3 \end{pmatrix} \quad (11.36)$$

## Lösung

$$W \cdot \underline{m} = \underline{u}_0 \quad (11.37)$$

### 11.12.3 Knotenspannungsverfahren



1. Vorbereitung des Netzwerkes:
  - Alles in Leitwert umrechnen
  - Spannungsquellen beseitigen
2. Einführung der Knotenspannungen:
  - Wahl eines geeigneten Bezugsknotens

## Leitwertmatrix

$$L = \begin{pmatrix} G_1 + G_2 + G_3 & -G_3 & 0 \\ -G_3 & G_3 + G_4 + G_5 & -G_5 \\ 0 & -G_5 & G_5 + G_6 \end{pmatrix} \quad (11.38)$$

Direktes Aufstellen von  $L$ :

1. Diagonalelemente ( $i = k$ ): Summe aller Leitwerte des betreffenden Knotens
2. Übrige Elemente ( $i \neq k$ ): Summe der Leitwerte, die die betroffenen Knoten miteinander verbindet. Das Vorzeichen ist immer negativ.

## Quellvektor

$$\underline{i}_0 = \begin{pmatrix} i_{02} \\ 0 \\ i_{01} \end{pmatrix} \quad (11.39)$$

Direktes Aufstellen von  $i_0$ : Summe aller Stromquellen, die Strom zu betrachteten Knoten liefern. Das Vorzeichen ist positiv wenn der Strom zum Knoten fließt.

## Knotenspannungsvektoren

$$\underline{e} = \begin{pmatrix} e_1 \\ e_2 \\ e_3 \end{pmatrix} \quad (11.40)$$

## Lösung

$$L \cdot \underline{e} = \underline{i}_0 \quad (11.41)$$

## 11.13 Messtechnik

### 11.13.1 Linearer Mittelwert (Average)

$$\bar{u}(t) = \frac{1}{T} \int_0^T u \, dt \quad (11.42)$$

### 11.13.2 Betragsmittelwert

$$|\bar{u}(t)| = \frac{1}{T} \int_0^T |u| \, dt \quad (11.43)$$

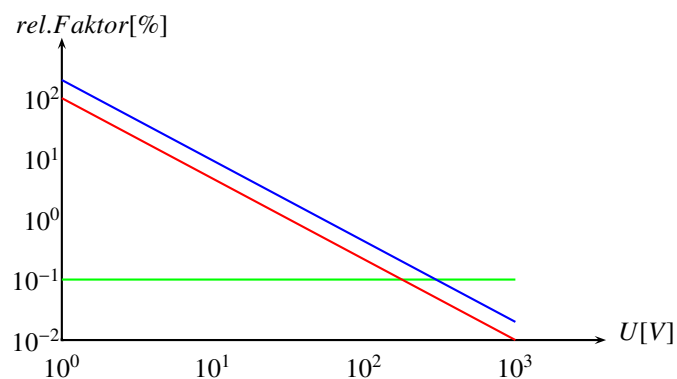
### 11.13.3 Quadratischer Mittelwert, Effektivwert

$$\bar{u}^2 = \frac{1}{T} \int_0^T u^2 \, dt \quad (11.44)$$

$$u_{eff} = \sqrt{\frac{1}{T} \int_0^T u^2 \, dt} \quad (11.45)$$

### 11.13.4 Fehler von digitalen VA Multimetern

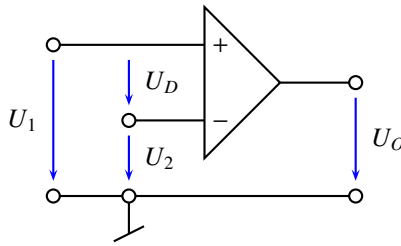
Fehler =  $\pm(0.1\%$  der Ablesung  $+0.2\%$  des Messbereichs  $+1$  Digit  $+ \text{spez. Fehler})$ .



### 11.13.5 Crest-Faktor (Scheitelfaktor)

$$CF = \frac{\hat{U}}{U_{eff}} \quad \text{Sinus: } CF = \sqrt{2} \quad (11.46)$$

### 11.13.6 Differenzbetrieb beim KO



Ideal:  $u_o = v_D \cdot (u_1 - u_2)$

Real:  $u_o = v_D \cdot (u_1 - u_2) \pm v_c \cdot \left(\frac{u_1 + u_2}{2}\right)$

$v_D$  : Differenzverstärkung

$v_c$  : Commonmodeverstärkung

$u_D$  : Commonmodespannung

CMMR : Commonmode Rejection Ratio

(Gleichtakt-Unterdrückungs-Verstärkung)

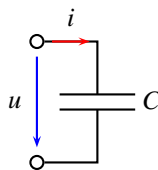
$$u_o = v_D \cdot u_D \cdot \left(1 \pm \frac{1}{\text{CMMR}} \cdot \frac{v_c}{v_D}\right) \quad \text{mit} \quad \frac{1}{\text{CMMR}} = \frac{v_c}{v_D}$$

Verstärkung in  $dB = 20 \cdot \log(v)$ . Es gilt auch:

$$10 \leq \text{CMMR} \leq 10^4$$

$$20dB \leq \text{CMMR} \leq 80dB$$

## 11.14 Kapazität



$$i = C \cdot \frac{\partial u}{\partial t} \quad (11.47)$$

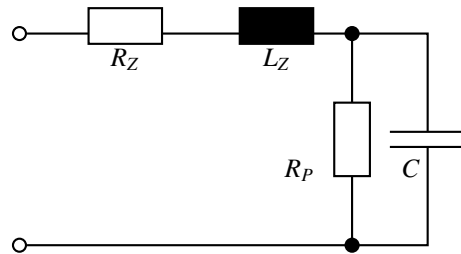
$$u = \frac{1}{C} \cdot \int_{t_0}^{t_1} i(\tau) d\tau + u_c(t=0) \quad (11.48)$$

### 11.14.1 Dirac-Stoss

$$i(t) = C \cdot u_o \cdot \delta(t) \quad \text{mit} \quad \delta(t) : \text{Dirac-Stoss} \quad (11.49)$$

Fläche:  $C \cdot u_o$

### 11.14.2 Ersatzschaltbild



$C$  : Kapazität  
 $R_p$  : Isolationswiderstand  
 $R_z$  : Zuleitungswiderstand  
 $L_z$  : Zuleitungsinduktivität

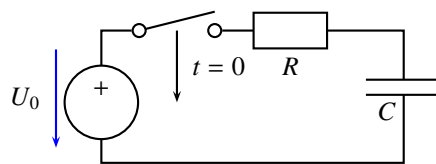
### 11.14.3 Parallelschaltung

$$C_{total} = \sum_{i=1}^n C_i \quad (11.50)$$

### 11.14.4 Serieschaltung

$$\frac{1}{C_{total}} = \sum_{i=1}^n \frac{1}{C_i} \quad (11.51)$$

### 11.14.5 $U$ und $I$ in $RC$ -Netzwerken



$$u_o = R \cdot C \cdot \frac{\partial u}{\partial t} + u_c(t) \quad (11.52)$$

$$u_c(t) = u_o \left(1 - e^{-\frac{t}{RC}}\right) \quad (11.53)$$

$$i_c(t) = u_o \cdot \frac{1}{R} \cdot e^{-\frac{t}{RC}} \quad (11.54)$$

$$p_c(t) = \frac{u_o^2}{R} \left(1 - e^{-\frac{t}{RC}}\right) \cdot e^{-\frac{t}{RC}} \quad (11.55)$$

### 11.14.6 Kondensator als Energiespeicher

$$W = \frac{U_o^2 \cdot C}{2} = \frac{Q \cdot U_o}{2} \quad (11.56)$$

### 11.14.7 $U$ und $I$ bei Wechselstrom

$$u_c(t) = \hat{u} \cdot \cos(\omega t) \quad (11.57)$$

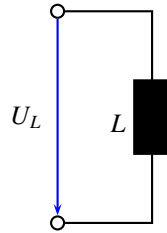
$$i_c(t) = -\omega \cdot C \hat{u} \cdot \sin(\omega t) \quad (11.58)$$

$$i_c(t) = \omega \cdot C \cdot \hat{u} \cdot \cos\left(\omega t + \frac{\pi}{2}\right) \quad (11.59)$$

Blindwiderstand:

$$\frac{\hat{u}}{\hat{i}} = \frac{\hat{u}_c}{\omega C \hat{u}_c} = \frac{1}{\omega C} = X_c \quad [\Omega] \quad (11.60)$$

## 11.15 Induktivität



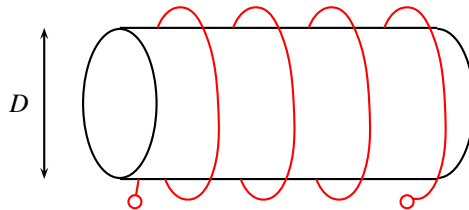
$$u_L(t) = L \frac{\partial i}{\partial t} \quad (11.61)$$

$$i_L(t) = \frac{1}{L} \int_{t_0}^{t_1} u_L(\tau) d\tau + i_L(0) \quad (11.62)$$

$L$  : Induktivität [H]

Hat die Eigenschaft, dass der Strom niemals springt!

### 11.15.1 Zylinderspule



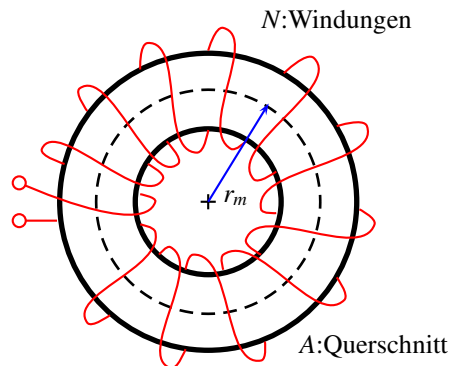
$$L = \mu_0 \cdot \mu_r \cdot \frac{D^2 \cdot \pi}{4} \cdot N^2 \quad (11.63)$$

mit

$$\mu_0 = 1.256 \cdot 10^{-6} \left[ \frac{Vs}{Am} \right]$$

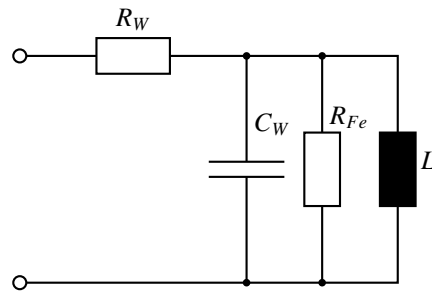
$$\mu_r : \text{Luft} = 1, \text{Eisen} = 10^3$$

### 11.15.2 Ringkern



$$L = \mu_0 \cdot \mu_r \cdot \frac{A}{2\pi \cdot r_m} \cdot N^2 \quad (11.64)$$

### 11.15.3 Ersatzschaltbild



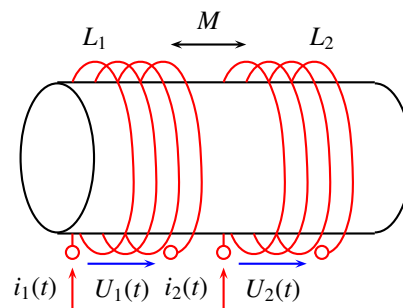
$R_\omega$  : Wicklungswiderstand

$L$  : Induktivitätswert

$C_w$  : Wicklungskapazität

$R_{Fe}$  : Kernverluste

### 11.15.4 Gekoppelte Spulen



$L_1$  : Induktivität der Spule 1

$L_2$  : Induktivität der Spule 2

$M$  : Gegeninduktivität (Kopplung)

ohne Streufluss:

$$u_1(t) = L_1 \frac{\partial i_1}{\partial t} + M \frac{\partial i_2}{\partial t} \quad (11.65)$$

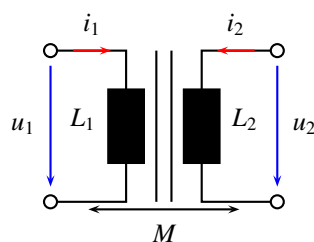
$$u_2(t) = L_2 \frac{\partial i_2}{\partial t} + M \frac{\partial i_1}{\partial t} \quad (11.66)$$

$$(11.67)$$

**Kopplungsfaktor**

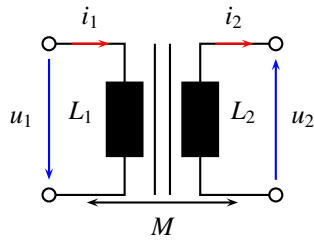
$$k = \frac{M}{\sqrt{L_1 \cdot L_2}} \quad \text{mit } 0 < k \leq 1 \quad (11.68)$$

Keinen Streufluss:  $k = 1$



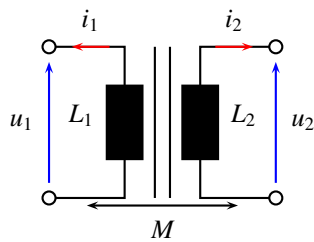
$$u_1 = L_1 \frac{\partial i_1}{\partial t} + M \frac{\partial i_2}{\partial t}$$

$$u_2 = L_2 \frac{\partial i_2}{\partial t} + M \frac{\partial i_1}{\partial t}$$



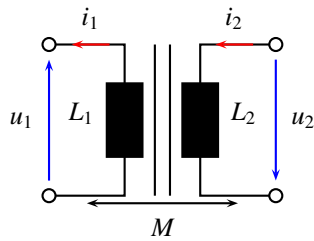
$$u_1 = L_1 \frac{\partial i_1}{\partial t} - M \frac{\partial i_2}{\partial t}$$

$$u_2 = L_2 \frac{\partial i_2}{\partial t} - M \frac{\partial i_1}{\partial t}$$



$$u_1 = L_1 \frac{\partial i_1}{\partial t} + M \frac{\partial i_2}{\partial t}$$

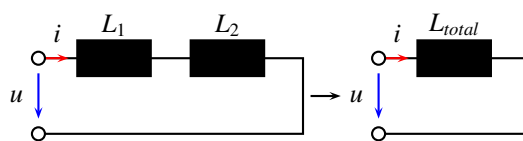
$$u_2 = L_2 \frac{\partial i_2}{\partial t} + M \frac{\partial i_1}{\partial t}$$



$$u_1 = L_1 \frac{\partial i_1}{\partial t} - M \frac{\partial i_2}{\partial t}$$

$$u_2 = L_2 \frac{\partial i_2}{\partial t} - M \frac{\partial i_1}{\partial t}$$

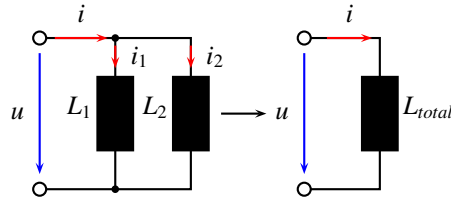
### 11.15.5 Serieschaltung nichtgekoppelter Spulen



$$L_{total} = \sum_{i=1}^n L_i$$

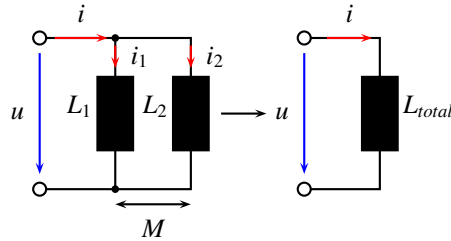
(11.69)

### 11.15.6 Parallelschaltung nichtgekoppelter Spulen



$$\frac{1}{L_{total}} = \sum_{i=1}^n \frac{1}{L_i} \quad (11.70)$$

### 11.15.7 Parallelschaltung gekoppelter Spulen



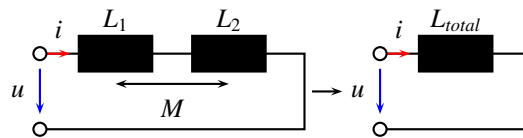
für die gezeigte Schaltung:

$$L_{total} = \frac{L_1 \cdot L_2 - M^2}{L_1 + L_2 + 2M} \quad (11.71)$$

Achtung: Orientierung beachten (siehe obige 4 Fälle)

⇒ Gleichung ändert bei anderem Fall

### 11.15.8 Serieschaltung gekoppelter Spulen

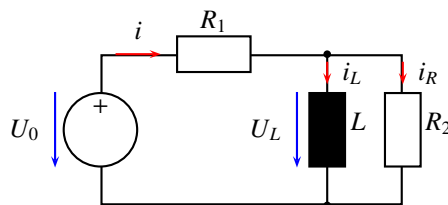


$$L_{total} = L_1 + L_2 + 2M \quad (11.72)$$

### 11.15.9 Blindwiderstand

$$L \cdot \omega = X_L \quad [\Omega] \quad (11.73)$$

### 11.15.10 RL-Schaltung



$$i_L(t) = \frac{U_o}{R_1} \cdot e^{-\frac{R_2}{L} \cdot t} \quad (11.74)$$

$$u_L(t) = -\frac{R_2}{R_1} \cdot U_o \cdot e^{-\frac{R_2}{L} \cdot t} \quad (11.75)$$

$$p_L(t) = -\left(\frac{U_o}{R_1}\right)^2 \cdot R_2 \cdot e^{-2\frac{R_2}{L} \cdot t} \quad (11.76)$$



$$\tau = \frac{L}{R}$$

## 11.16 Wechselstromtheorie

### 11.16.1 Kennwerte und Kenngrößen

- Amplitude, Spitzenwert, Scheitelwert:  $\hat{u}, \hat{i}$
- Kreisfrequenz:  $\omega = 2\pi f = \frac{2\pi}{T}$   $\left[\frac{\text{rad}}{\text{s}}\right]$
- Frequenz:  $f = \frac{1}{T}$   $[\text{Hz}]$
- Periodenzeit, Periodendauer:  $T = \frac{1}{f}$   $[\text{s}]$
- Nullphasenwinkel:  $\phi_i, \phi_u$
- Momentanwert:  $i(t), u(t)$

### 11.16.2 Linearer Mittelwert

Arithmetischer Mittelwert:

$$\bar{u}(t) = \frac{1}{T} \int_0^T \hat{u} \cdot \cos(\omega t + \phi_u) dt \quad (11.77)$$

### 11.16.3 Betragsmittelwert

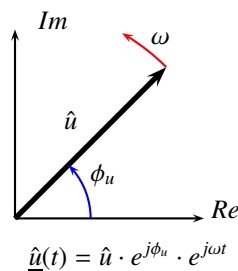
$$|\hat{u}| = \frac{1}{T} \int_0^T \hat{u} \cdot |\cos(\omega t)| dt \quad (11.78)$$

### 11.16.4 Effektivwert

Geometrischer Mittelwert:

$$U = U_{eff} = \sqrt{\frac{1}{T} \int_0^T u^2 dt} \quad (11.79)$$

### 11.16.5 Zeigerdarstellung



$$\begin{aligned} \underline{\hat{u}}(t) &= \hat{u} \cdot e^{j\phi_u} \cdot e^{j\omega t} & (11.80) \\ \hat{u} \cdot e^{j\phi_u} \cdot e^{j\omega t} &= \underline{\hat{u}} \cdot e^{j\omega t} \\ &= \hat{u} [\cos(\phi_u) + j \sin(\phi_u)] \cdot e^{j\omega t} \\ &= \underline{\hat{u}} [\cos(\omega t) + j \sin(\omega t)] \end{aligned}$$

### 11.16.6 Bezeichnungen und Konventionen

- $\hat{u}$  : Länge des Zeigers
- $\omega$  : Winkelgeschwindigkeit
- $\phi_u$  : Nullphasenlage

$$\underline{\hat{u}}(t) = \hat{u} \cdot e^{j(\omega t + \phi_u)}$$

### Komplexer Momentanwert

$$\hat{u}(t) = \hat{u} \cdot e^{j\omega t} \quad (11.81)$$

### Komplexer Scheitelwert

$$\underline{\hat{u}} = \hat{u} \cdot e^{j\phi_u} \quad (11.82)$$

### Reeller Momentanwert

$$u(t) = \text{Re}[\underline{\hat{u}}(t)] = \hat{u} \cdot \cos(\omega t + \phi_u) \quad (11.83)$$

### Imaginärer Momentanwert

$$u(t) = \text{Im}[\underline{\hat{u}}(t)] = \hat{u} \cdot \sin(\omega t + \phi_u) \quad (11.84)$$

### Komplexer Effektivwert

$$\underline{u} = u_{eff} = \frac{\hat{u}}{\sqrt{2}} = \frac{\hat{u}}{\sqrt{2}} \cdot e^{j\phi_u} \quad (11.85)$$

## 11.16.7 Impedanz und Admittanz

$$\underline{Z} = \frac{\hat{u}(t)}{\hat{i}(t)} = \frac{\hat{u}}{\hat{i}} = R + jX \quad (11.86)$$

$$\underline{Y} = \frac{1}{\underline{Z}} = \frac{\hat{i}(t)}{\hat{u}(t)} = G + jB \quad (11.87)$$

$Z$  : Scheinwiderstand, Impedanz

$Y$  : Scheinleitwert, Admittanz

$R$  : Wirkwiderstand, Resistanz

$X$  : Blindwiderstand, Reaktanz

$G$  : Wirkleitwert, Konduktanz

$B$  : Blindleitwert, Suszeptanz

## 11.16.8 Bodediagramm

Zahlentafel:

$\frac{\omega}{\omega_v}$	$v$ [dB]	$\phi_z = \arctan\left(\frac{\text{Im}[v]}{\text{Re}[v]}\right)$
0.01	0.000434	0.5729
0.10	0.0432	5.771
1.00	3.0103	45
10.00	20.043	84.289
100.00	40.004	89.43

## 11.16.9 Wechselstromleistung

Wirkleistung  $P$  [W]

$$P = \overline{p}(t) = \frac{\hat{u} \cdot \hat{i}}{2} \cdot \cos(\phi_u - \phi_i) \quad (11.88)$$

$$= u_{eff} \cdot i_{eff} \cdot \cos(\phi_u - \phi_i) \quad (11.89)$$

Blindleistung  $Q$  [VAR]

$$Q = \frac{\hat{u} \cdot \hat{i}}{2} \cdot \sin(\phi_u - \phi_i) \quad (11.90)$$

$$= u_{eff} \cdot i_{eff} \cdot \sin(\phi_u - \phi_i) \quad (11.91)$$

Scheinleistung  $S$  [VA]

$$S = u_{eff} \cdot i_{eff} \quad (11.92)$$

Leistungsfaktor

$$\cos(\phi) = \cos(\phi_u - \phi_i) = \frac{P}{S} \quad (11.93)$$

### 11.16.10 Netzwerk im Wechselstrom

Funktioniert gleich wie bei Gleichstrom mit der Unterscheidung:

- mit magnetischer Kopplung: Knotenspannungsmethode *nicht* geeignet.
- ohne magnetischer Kopplung: Knotenspannungs- sowie Maschenstrommethode geeignet.

Mit magnetischer Kopplung:

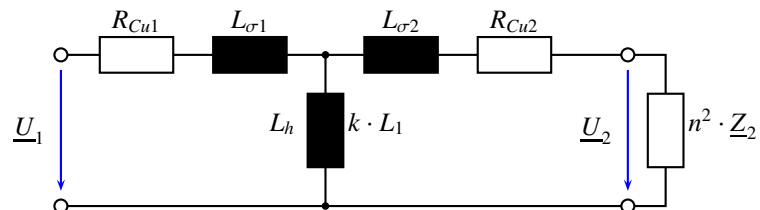
$$\left[ \begin{pmatrix} \cdots \\ \vdots \\ \cdots \end{pmatrix} + K \right] \cdot \begin{bmatrix} m_1 \\ \vdots \\ m_n \end{bmatrix} = \underline{u} \quad (11.94)$$

$K$  : Kopplungsmatrix

**Achtung:** Orientierung der Spulen beachten! Machen möglichst nicht wo Kopplungen sind!

## 11.17 Transformator

### 11.17.1 Ersatzschaltbild



$$k = \frac{M}{\sqrt{L_1 \cdot L_2}} \quad \text{Kopplungsfaktor}$$

### 11.17.2 Frequenzabhängigkeit

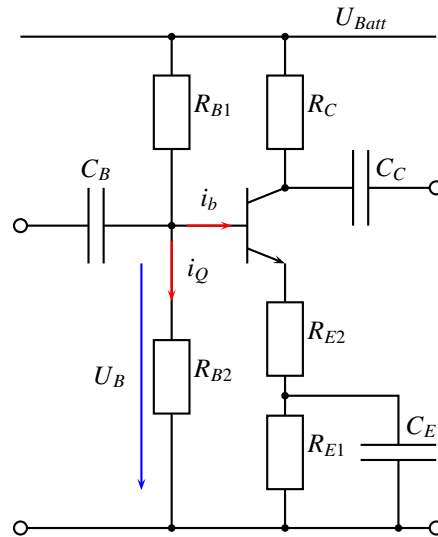
$$\underline{H}(\omega) = \frac{n \cdot \underline{u}_2(\omega)}{\underline{u}_1(\omega)} \quad (11.95)$$

$$\text{Hochpass: } \underline{H}(\omega) = \frac{j\omega T(\omega)}{1 + j\omega T(\omega)}$$

$$\text{Tiefpass: } \underline{H}(\omega) = \frac{1}{1 + j\omega T(0)}$$

## 11.18 Verstärkertechnik

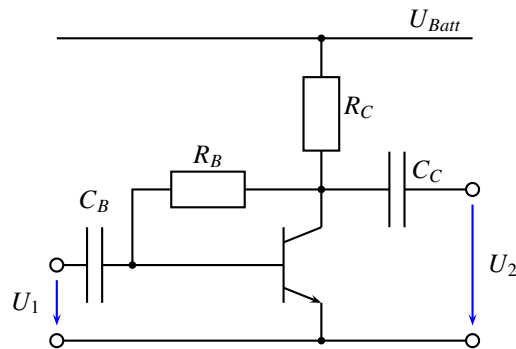
### 11.18.1 Gleichstromgegenkopplung



Regel:  $i_Q \approx (5 \dots 10) \cdot i_b$

$$u_B \approx \frac{U_{Batt}}{R_{B1} + R_{B2}} \cdot R_{B2}$$

### 11.18.2 Gleichspannungsgegenkopplung



### 11.18.3 Einseitiger Transistorverstärker

